



## รายงานฉบับสมบูรณ์

การสังเคราะห์ และศึกษาลักษณะถ่านพุน และวิธีการใบพุนจากไม้  
ยางพารา

Synthesis and Characterizations of Porous Charcoal and Porous Silicon  
Carbide from Rubber Wood

คณบัญชีดำเนินการวิจัย

ผศ.ดร.สุธรรม นิยมวาส

ผศ.ดร.นภิสพร มีมงคล

ดร.เจษฎา วรรณสินธุ

30 มิถุนายน 2552

## กิตติกรรมประกาศ

งานวิจัยนี้จะไม่สำเร็จได้ ถ้าหากคณบัญชีไม่ได้รับทุนอุดหนุนการวิจัย จากเงินงบประมาณแผ่นดิน โดยผ่านทางสำนักงานคณะกรรมการวิจัยแห่งชาติ คณบัญชีขอกราบขอบพระคุณ คณบัญชีบริหารสำนักงานคณะกรรมการวิจัยแห่งชาติในการอนุมัติทุนวิจัยนี้

คณบัญชีขอกราบขอบพระคุณคณบัญชีวิศวกรรมศาสตร์ มหาวิทยาลัยสงขลานครินทร์ สำหรับความเชื่อเพื่อสถานที่และเครื่องมืออุปกรณ์ ที่จำเป็นต้องใช้ในการวิจัยจากภาควิชา วิศวกรรมเครื่องกล และภาควิชาวิศวกรรมเหมืองแร่และวัสดุ มา ณ ที่นี้ด้วย

## บทคัดย่อ

โครงการวิจัยนี้มีวัตถุประสงค์เพื่อศึกษาการสังเคราะห์ใบโอมอร์ฟิกซิลิกอนคาร์บไบด์ (SiC) จากถ่านไม้ธรรมชาติ งานวิจัยนี้ทำการศึกษาไม้สองชนิดคือไม้ยางพาราและไม้สะเดาช้าง ซึ่งเป็นไม้ท้องถิ่นภาคใต้ เพื่อเป็นการเพิ่มมูลค่าของวัตถุดินภายในประเทศ และเป็นอีกทางหนึ่งในการลดการนำเข้า SiC จากต่างประเทศ โดยโครงการวิจัยนี้แบ่งการศึกษาออกเป็นสามส่วนด้วยกัน ส่วนแรกทำการศึกษา สภาวะที่เหมาะสมในการผลิตถ่านไม้พรุน จากการศึกษาพบว่าสามารถสังเคราะห์ถ่านไม้พรุน ด้วยกระบวนการไฟโรแล็ชส์ ที่อุณหภูมิ  $800^{\circ}\text{C}$  เป็นระยะเวลา 1 ชม. ในบรรยากาศแก๊สราร์กอนเมื่อใช้อัตรา การเพิ่มอุณหภูมิอย่างช้าๆ จะทำให้ได้โครงสร้างถ่านไม้พรุนที่คงรูปเดิม และไม่เกิดรอยแตก โดยอัตรา การเพิ่มอุณหภูมิในการสังเคราะห์ถ่านไม้พรุนคืออัตรา  $10^{\circ}\text{C min}^{-1}$  ที่อุณหภูมิ  $25\text{-}70^{\circ}\text{C}$  ต่อตัวย  $3^{\circ}\text{C min}^{-1}$  จนถึงอุณหภูมิ  $500^{\circ}\text{C}$  และ  $5^{\circ}\text{C min}^{-1}$  จนถึงอุณหภูมิ  $800^{\circ}\text{C}$  สำหรับรูปแบบการแยกหักของไม้ทั้งสองชนิดมีความแตกต่างกัน ซึ่งไม้สะเดาช้าง มีการบีบแตกตามแนวเซลลูโลส แต่ในไม้ยางพารามีการ แยกหักแบบผ่าตามแนวเซลล์ และเกิดการบีบแตกกรุนแรงกว่าไม้สะเดาช้าง

ในส่วนที่สองทำการศึกษาระยะเวลาและจำนวนครั้งในการเคลือบถ่านไม้พรุนด้วยของสารละลายนโซลของ  $\text{SiO}_2$  พบร่วมกับ ปริมาณของ  $\text{SiO}_2$  ที่แทรกซึมภายในโครงสร้างถ่านไม้พรุน แปรผันตรง กับ ระยะเวลาการเคลือบ ในส่วนของการศึกษาเกี่ยวกับจำนวนครั้งการเคลือบพบว่า ถ่านไม้ยางพาราที่ เคลือบด้วย  $\text{SiO}_2$  มีน้ำหนักที่เปลี่ยนแปลงเพิ่มขึ้นในอัตราที่ลดลงและในถ่านไม้สะเดาช้างพบว่า น้ำหนัก ของผิวเคลือบมีอัตราเพิ่มขึ้นจนถึงการเคลือบครั้งที่ 4 และในการเคลือบครั้งที่ 5 และ 6 น้ำหนักของผิว เคลือบลดลง

ในส่วนที่สามทำการศึกษาผลกระทบของตัวแปรที่มีผลต่อการสังเคราะห์ใบโอมอร์ฟิกซิลิกอน คาร์บไบด์ โดยดูแปรที่ศึกษาคือ อัตราส่วนเชิงโมลของคาร์บอน (ถ่านไม้พรุน) ต่อ  $\text{SiO}_2$  (ผิวเคลือบ) ระยะเวลาในการเคลือบ อุณหภูมิในการสังเคราะห์ และระยะเวลาการบ่ม พบร่วม ถ่านไม้สะเดาช้างที่ จำนวนการเคลือบขั้นต่ำที่ 3 เป็นต้นไป มีอัตราส่วนเชิงโมลของคาร์บอน (ถ่านไม้พรุน) ต่อ  $\text{SiO}_2$  (ผิว เคลือบ) ต่ำกว่า 2 ส่งผลให้  $\text{SiO}_2$  เหลืออยู่ในโครงสร้างของใบโอมอร์ฟิกซิลิกอนคาร์บไบด์ ภายหลังการ เพาสังเคราะห์ โดยระยะเวลาที่ดีที่สุดสำหรับการอัดเคลือบสารละลายน SiC บนถ่านไม้ยางพารา และถ่าน ไม้สะเดาช้างคือ 60 นาที อุณหภูมิที่เหมาะสมที่ใช้ในการสังเคราะห์ใบโอมอร์ฟิกซิลิกอนคาร์บไบด์ คือ อุณหภูมิ  $1600^{\circ}\text{C}$  ซึ่งผลการทดลองดังกล่าวสอดคล้องกับการคำนวณทางอุณหพลศาสตร์ ส่วนระยะเวลา การบ่มเป็นปัจจัยสำคัญในการเกิดโครงสร้างของ  $\alpha$ - SiC และ  $\beta$ -SiC พบร่วมเมื่อระยะเวลาการบ่มเพิ่ม มากขึ้นทำให้เกิดปฏิกิริยาการเปลี่ยนโครงสร้างของ  $\beta$ -SiC เป็น  $\alpha$ -SiC มากขึ้น ซึ่งกระบวนการเปลี่ยน เพื่อของสารตั้งกล้าว อีกทั้งจากความแข็งแรงกด (Compressive Strength) ของใบโอมอร์ฟิกซิลิกอนคาร์ ไบด์เพิ่มขึ้นโดยแปรผันตรงกับระยะเวลาในการเผา

## Abstract

The purpose of this research project is to investigate the synthesis of biomorphic SiC from natural woods. Rubber woods and sadao-chang woods which are local woods of the Southern Thailand were used as raw materials. The experimental studies were divided into 3 parts. In first part, the methods of carbonizing woods for producing porous carbon preform were developed. The charcoal was heat-treated at heating rate of  $10^{\circ}\text{C min}^{-1}$  from room temperature to  $70^{\circ}\text{C}$ ,  $3^{\circ}\text{C min}^{-1}$  applied up to  $500^{\circ}\text{C}$  and  $5^{\circ}\text{C min}^{-1}$  applied up to  $800^{\circ}\text{C}$  then keep it for 1 hour at this temperature before cooling down to room temperature with flowing argon gas. The resulted porous carbon was in the original shape and had no crack. For different heating pattern the crack appeared on the resulted products. The cracking pattern of rubber wood was a separation of inter-cells that located from the edge to the middle of sample. On the contrary, the cracking pattern of sadao-chang wood was a separation of cells along the growth ring that located at the middle. In the second part, the effect of times and cycles of  $\text{SiO}_2$  sol infiltrated process were studied. The results showed that the longer time and more cycles of  $\text{SiO}_2$  sol infiltrating, the higher conversion of SiC was obtained. The  $\text{SiO}_2$  coat on rubber woods increased with cycle times of infiltrated process. In contrast, The  $\text{SiO}_2$  coat on sadao-chang woods were be increased only up until cycle 4. In the third part, the effects of pyrolyzed temperature and soaking time were studied. The results showed that the completed reactions of precursors to form SiC/C were synthesized at  $1600^{\circ}\text{C}$ . The longer times of pyrolysis provided better results on SiC transformation and also the transformation of  $\beta$ - SiC to  $\alpha$ - SiC phase. The compressive strength of the synthesized biomorphic SiC increased with the longer pyrolyzed soaking times.

## สารบัญเรื่อง (Table of Contents)

<b>กิตติกรรมประกาศ</b>	<b>iii</b>
<b>บทคัดย่อ</b>	<b>iv</b>
<b>Abstract</b>	<b>v</b>
<b>บทนำ</b>	<b>1</b>
<b>วัตถุประสงค์ของโครงการวิจัย</b>	<b>2</b>
<b>การทบทวนวรรณกรรม</b>	<b>3</b>
<b>ขอบเขตของการวิจัย</b>	<b>6</b>
<b>ทฤษฎี สมมติฐาน หรือกรอบแนวความคิดของโครงการวิจัย</b>	<b>7</b>
<b>ระเบียบวิธีวิจัย</b>	<b>11</b>
<b>แผนงานวิจัย</b>	<b>11</b>
<b>อุปกรณ์ที่ใช้ทำการวิจัย</b>	<b>12</b>
<b>ผลการวิจัย</b>	
<b>1. ผลกระทบของ อัตราการเพิ่มของอุณหภูมิภายในเตาเผา อุณหภูมิที่ใช้เผา และ เเวลาในการเผา ที่มีต่อ สภาพที่เหมาะสมในการผลิตถ่านพุนจากไม้ยางพารา</b>	
<b>1.1 ผลกระทบการเปลี่ยนแปลงน้ำหนักของไม้ยางพาราและเศษเดาซ้าง เมื่ออุณหภูมิเพิ่มขึ้น</b>	<b>15</b>
<b>1.2 ผลกระทบของระยะเวลาในการคายน้ำของไม้ที่อุณหภูมิ 70 °C</b>	<b>16</b>
<b>1.3 ผลกระทบของอุณหภูมิที่ใช้ในการควบคุมไฟฟ้าในกระบวนการผลิต ถ่านไม้พุน โดยควบคุมอัตราการเพิ่มของอุณหภูมิ 10 °C ต่อนาที</b>	<b>17</b>
<b>1.4 ผลกระทบของอัตราการเพิ่มอุณหภูมิที่มีผลต่อการสังเคราะห์ถ่านไม้พุน</b>	<b>18</b>
<b>1.5 ผลกระทบของการลดตัวของถ่านไม้ ภายนลังจากการสังเคราะห์ด้วย กระบวนการไฟฟ้าไลซิส</b>	<b>24</b>
<b>2. ศึกษาความสัมพันธ์ของอัตราส่วนเริงโมล C/SiO<sub>2</sub> ต่อจำนวนครั้งการเคลือบ ชิลของ SiO<sub>2</sub> บนถ่านพุนและผลกระทบที่มีต่อการสังเคราะห์ SiC พุน ที่ อุณหภูมิการสังเคราะห์ 1600 °C และใช้เวลาในการเผา 1 ชม.</b>	
<b>2.1 ศึกษาผลกระทบของระยะเวลาอัตสุญญาภาคด้วยเครื่อง vacuum chamber ต่ออัตราส่วนเริงโมล C/SiO<sub>2</sub></b>	<b>25</b>
<b>2.2 ศึกษาจำนวนครั้งการเคลือบที่มีผลกระทบต่ออัตราส่วนเริงโมล</b>	

C/SiO <sub>2</sub> ต่อจำนวน การเคลือบของ SiO <sub>2</sub> บนผิวถ่าน	26
2.3 ผลกระทบของเวลา และจำนวนครั้งการเคลือบต่อสมบัติของใบโอมอร์ฟิก SiC/C และปริมาณการสังเคราะห์ SiC ที่ผลิตได้	29
3. ผลกระทบของ อุณหภูมิการสังเคราะห์ และเวลาในการเผา ที่มีต่อการสังเคราะห์ SiC พ่น	34
4. กระบวนการไฟโรไลซิสในอากาศเพื่อถลายคาร์บอนในใบโอมอร์ฟิกSiC/C	39
5. การทดสอบสมบัติการต้านทานแรงกด (Compressive Strength)	40
สรุปผล	42
บรรณานุกรม	44
ภาคผนวก	46

## บทนำ

ชีลิกอนคาร์บีด (SiC) เป็นวัสดุที่จัดอยู่ในกลุ่มของ โลหะcarbide ที่สามารถทนความร้อนได้สูง และมีสมบัติเด่นหลายประการ เช่น มีความแข็งสูง ทนทานต่อการสึกหรอ มีการขยายตัวทางความร้อนต่ำ และยังสามารถนำความร้อนและไฟฟ้าได้ออกด้วย ดังนั้นการนำ SiC ไปประยุกต์ใช้งานในทางอุตสาหกรรม จึงทำได้อย่างกว้างขวาง ดังเช่น เครื่องมือตัดเยื่อ แผ่นเจียรนัย หินขัด ตลอดจนถึงชิ้นส่วนที่ประกอบอยู่ใน เทอร์บีน ชิ้นส่วนของยานยนต์ เครื่องกันกระสุน เฮมิคันตักเตอร์ ห้องรือชิ้นส่วนที่ทนต่อการสึกหรอและ กัดกร่อน และตัวแลกเปลี่ยนความร้อน เป็นต้น

จากข้อมูลสถิติการนำเข้าcarbide ของประเทศไทย (<http://www.customs.go.th/Statistic/StatisticIndex.jsp> วันที่ 22/9/05) (ดังแสดงในตารางที่ 1) ในระยะ 5 ปีพบว่ามีมูลค่าสูงขึ้นทุกปี และมี ความต้องแบบก้าวกระโดด ในปี 2548 (302 ล้านบาท) ซึ่งเป็นข้อมูลครึ่งปี แต่มีมูลค่าการนำเข้าสูงกว่า ปี 2547 (188 ล้านบาท) ถึง 38.6 %

การนำ SiC ไปใช้งาน สามารถผลิตให้อยู่ในรูปแบบต่างๆ เช่น ผง แท่ง หรือขี้นรูปเป็นชิ้นงานโดยมี โครงสร้างภายในเป็นเนื้อเดิม หรือเนื้อพูน โดยเฉพาะ SiC ที่มีโครงสร้างพูนแบบเซลลูลาร์ มีสมบัติ เพิ่มเติมที่โดดเด่น (P. Greil, 2001) ดังเช่น มีค่าความแข็งตึงจำเพาะที่ดี มีความแข็งแรงและการดูดซับ พลังงานจากการกระแทกได้ดี รวมทั้งลักษณะโครงสร้างที่มีลักษณะเป็นเซลล์เปิดของ SiC ก็มีประโยชน์ต่อ การนำไปใช้ในชิ้นส่วนอุปกรณ์ที่ต้องการความต่อเนื่องของพูน ดังเช่นตัวกรอง หรือตัวแลกเปลี่ยนความ ร้อน เป็นต้น ด้วยสมบัติตั้งกล่าวนี้ทำให้ SiC ที่มีโครงสร้างพูนแบบเซลลูลาร์ มีศักยภาพสูงในการนำไปใช้ ในงานอุตสาหกรรมหลายแขนง แต่การผลิต SiC ที่มีโครงสร้างพูนแบบเซลลูลาร์ มีความซับซ้อน สงสัยให้ ต้นทุนการผลิตสูง

ในปัจจุบันมีนักวิจัยหลายกลุ่ม ได้มีการศึกษาและนำเสนอแนวทางการสังเคราะห์ SiC ที่มี โครงสร้างพูนแบบเซลลูลาร์ใหม่ โดยอาศัยประโยชน์จากโครงสร้างพูนแบบเซลลูลาร์ที่มีอยู่ตามธรรมชาติ ในเนื้อไม้ ทำให้สามารถลดต้นทุนการผลิต SiC ที่มีโครงสร้างพูนแบบเซลลูลาร์ลงได้ และยังมีข้อดีเด่นอีก ประการคือ สามารถขึ้นรูปชิ้นงานในระหว่างขั้นตอนที่เป็นถ่านไม้พูน ก่อนที่จะนำไปผ่านกระบวนการผลิต ให้เป็น SiC ทำให้สามารถผลิตชิ้นส่วนได้ใกล้เคียงรูปร่างที่ต้องการ เป็นการช่วยลดขั้นตอนกระบวนการต่อ และ สูญเสียพลังงานน้อยกว่าเมื่อขึ้นรูปในขณะที่เป็นถ่านไม้

ตัวอย่างไม้ที่มีการศึกษาและทดลองให้เป็นโครงสร้างเริ่มต้นของการสังเคราะห์ SiC แล้ว เช่น ไม้ อิ๊ค ไม้สน และไม้ยูคาลิปตัส แต่ยังไม่มีการนำไม้ยางพาราไปศึกษาวิจัยเป็นโครงสร้างเริ่มต้นของการ สังเคราะห์ SiC หากจะมีการศึกษาจัดได้แล้วเห็นว่าสำหรับพื้นที่ภาคใต้ของประเทศไทยเป็นแหล่งปลูกยางพาราที่ สำคัญของประเทศไทย และมีการประกอบอุตสาหกรรมทางด้านไม้ยางพาราจำนวนมาก ซึ่งไม้ที่ได้จะถูก นำไปใช้ในอุตสาหกรรมเพื่อรับภาระในประเทศไทยถึงการส่งออกไม้ยางพาราไปยังต่างประเทศ ดังนั้น

ผลจากการวิจัยนี้ ก็จะสามารถเปิดช่องทางการเพิ่มมูลค่าให้กับไม้ย่างพาราและเป็นการสร้างองค์ความรู้ในการสังเคราะห์ SiC ที่มีโครงสร้างพูนแบบเซลลูลาร์ โดยใช้โครงสร้างเริ่มต้นของการผลิตจากไม้ย่างพารา และเป็นการทดสอบการนำเข้า SiC จากต่างประเทศได้อีกด้วย

#### ตารางที่ 1 ข้อมูลการนำเข้า ค่ารีบีด

ปี	มูลค่า(ล้านบาท)	เพิ่มขึ้น (%)
2544	120	-
2545	140	13.6
2546	171	17.7
2547	188	9.6
<b>2548*</b>	<b>306</b>	<b>38.6</b>

\*ข้อมูลเฉพาะเดือนกรกฎาคม

ที่มา <http://www.customs.go.th/Statistic/StatisticIndex.jsp> วันที่ 22/9/05

#### วัตถุประสงค์ของโครงการวิจัย

- ศึกษาความเป็นไปได้ในการใช้ไม้ย่างพาราเป็นวัตถุติดบินการสังเคราะห์ SiC พูน
- ศึกษาสภาวะที่เหมาะสมในการผลิตถ่านพูนจากไม้ย่างพาราเพื่อเป็นโครงสร้างเริ่มต้นของการสังเคราะห์ SiC
- ศึกษาสภาวะที่เหมาะสมในการสังเคราะห์ SiC พูน จากถ่านพูนของไม้ย่างพารา

## การทบทวนวรรณกรรม

A. Herzog et al. (2004) ทำการศึกษาไม้ส่องชนิดคือ ไม้บีชและไม้สน ซึ่งเป็นการเตรียมตัวอย่างตามแนวของเซลลูโลส ให้กระบวนการการโซล-เจล ในการอินฟิลเทอร์น โดยศึกษาอุณหภูมิที่เหมาะสมในการสังเคราะห์ SiC พบว่าที่อุณหภูมิ  $1400^{\circ}\text{C}$  เป็นอุณหภูมิที่เหมาะสมในการสังเคราะห์ กระบวนการสังเคราะห์ SiC จากไม้ธรรมชาติทำให้สามารถผลิตรูปทรงได้ง่าย และการเตรียมตัวอย่างตามแนวเซลลูโลส มีการลดตัวน้อย

C.E. Byrne และ D.C. Nagle (1997) ได้ศึกษากระบวนการการcarbinoในเชื้อ (Carbonization) หรือ การเผาถ่านไม้ ในบรรยายกาศของแก๊สในต่อจีน จนถึงอุณหภูมิ  $900^{\circ}\text{C}$  โดยมุ่งเน้นให้ถ่านไม้รักษาโครงสร้างเซลลูลาร์ ไม่มีรอยแตกบวม และไม่เปลี่ยนรูปทรง ไม่ตัวอย่างที่นำมาศึกษา 7 ชนิดคือ ไม้อัด ไม้เมเปิล ไม้แบบสูด ไม้สนไพร์ ไม้สนเดคูด ไม้ลิกนัม และไม้บลัชาร์ พบร่องรอยการเพิ่มความร้อนในเตาเพาเมผลต่อถ่านไม้ที่ได้ โดยถ่านไม้จะปรับแตก ตัวหากความเครียดจากการลดตัวที่ผิวไม้ เนื่องจากความคายหน้าและแตกตัวของเอมิเซลลูโลส และเซลลูโลส เร็วกว่าเนื้อไม้ภายใน ซึ่งจะมีอัตราที่แตกต่างกันในไม้แต่ละชนิด

C.R. Rambo et al. (2005) ทำการศึกษาการสังเคราะห์ในโอมอร์ฟิคคาร์บอน์ ในระบบของ MeC/C ( $\text{Me}=\text{Si}, \text{Ti}, \text{Zr}$ ) เป็นกระบวนการการอินฟิลเทอร์นในระบบสุญญากาศความหนืดต่ำ ภายหลังจากกระบวนการโซลิวาร์ของโซล-เจล หลังจากนั้นทำการเผาที่อุณหภูมิ  $1600^{\circ}\text{C}$  ในการสังเคราะห์ SiC ใช้ Tetraethoxysilane (TEOS) เป็น Sol โดยใช้อัตราส่วนในการสังเคราะห์  $\text{SiO}_2$  (TEOS:Ethanol:H<sub>2</sub>O = 1:1:3) พบร่องรอยการเผาที่อุณหภูมิ  $1600^{\circ}\text{C}$  มีปริมาณคาร์บอนเปลี่ยนเป็น SiC 92%

C. Vix-Guterl et al. (1997) ศึกษาการสังเคราะห์ SiC พรุน จากปฏิกิริยาของซิลิกา ( $\text{SiO}_2$ ) ซึ่งเคลื่อนผ่านไส้ใยcarbon แบบกราไฟฟ์ได้โดยวิธีโซล-เจล และเผาในบรรยายกาศของแก๊สออกซิเจนที่อุณหภูมิ  $1400 - 1650^{\circ}\text{C}$  พบร่องรอยการเผาที่กราไฟฟ์ การเปลี่ยนเฟสจาก  $\text{SiO}_2$  เป็น SiC มีแนวโน้มลดลงที่อุณหภูมิสูงขึ้นเมื่อเปรียบเทียบกับไส้ใยcarbonรวมทั้งมีการเกิดของ SiC วิสเคอร์

P. Greil et al. (1998) ได้ศึกษาการสังเคราะห์ SiC พรุน โดยการอินฟิลเทอร์น (infiltration) ซิลิกอนเหลว (liquid Si) เข้าไปในรูพรุนของถ่านไม้ชนิดต่างๆ (อิบีนี บีช อีดิค เมเปิล สนและบลัชาร์) ก่อนที่จะเผาสังเคราะห์ด้วยกระบวนการการcarbinoเทอร์มอล รีดักชันที่อุณหภูมิ  $1600^{\circ}\text{C}$  ในบรรยายกาศของแก๊สออกซิเจน มีพบร่องรอยการสร้างเซลลูลาร์ของไม้ต่างชนิดกันมีขนาดและรูปทรงของรูพรุนต่างกัน และถ่านไม้ที่มีขนาดรูพรุนที่ใหญ่กว่าจะไม่มี Si เหลือตกค้างหลังจากที่ คาร์บอนถูกนำไปในการทำปฏิกิริยากับ  $\text{SiO}_2$  เป็น SiC ทั้งหมดแล้ว

P. Greil (1999) ได้นำเสนอแนวทางการลดการลดการลดตัวของถ่านพรุน เพื่อเป้าหมายในการผลิต SiC พรุนที่มีขนาดใกล้เคียง ขั้นตอนที่ต้องการมากที่สุด ซึ่งจะช่วยลดต้นทุนในการตอบแทนได้มาก โดยการอินฟิลเตอร์น ซิลิกอนเหลว เข้าไปในรูพรุนของถ่านไม้ ด้วยการวางถ่านไม้ไว้บนซิลิกอนเหลวที่อุณหภูมิ  $1600^{\circ}\text{C}$  ในทิศทางที่รูพรุนโครงสร้างเซลลูลาร์ที่มีลักษณะเหมือนห้องนอนห้องเล็กจะดูซิลิกอนเหลวขึ้นมา

บรรจุอยู่เต็มช่องว่างรูพูนด้วยแรงแคบปิลารี และเกิดปฏิกิริยาระหว่าง ซิลิกอนกับคาร์บอนของถ่านไม้ได้ผล เป็น SiC ในเวลาเดียวกัน

J.M. Qian et al. (2003) ได้เตรียมถ่านไม้จาก ผงไม้แบบสูด (ขนาดเส้นผ่าศูนย์กลางเฉลี่ย 250 μm) ผสมกับเรซิน พีโนลิก (phenolic resin) แล้วนำไปเผาอยู่ในผงของ Si ที่มีขนาดเฉลี่ยประมาณ 2 mm ที่ อุณหภูมิ 1450 – 1600 °C เป็นเวลา 0.5 – 2 ชม. เพื่อให้เกิด การอินฟิลเทรชัน ของซิลิกอนเหลว พร้อมกับ ปฏิกิริยา ของ ซิลิกอนกับคาร์บอนเป็น SiC ในเวลาเดียวกัน ต่อจากนั้นจึงเพิ่มอุณหภูมิเป็น 1700 °C เพื่อ กำจัด Si ที่เหลือจากปฏิกิริยา

J.M. Qian et al. (2004) ทำการสังเคราะห์ SiC พูน โดยใช้วิธีโซล-เจล เคลือบสารละลายของ  $\text{SiO}_2$  บนผิวและภายในรูพูน ของถ่านไม้พูน (เตรียมจากการเผาไม้ที่ดี และไม่มีอิ๊ค ในสูญญากาศ ที่ 1200 °C เป็นเวลา 4 ชม.) แล้วนำไปเผาในบรรยากาศของแก๊สออกซิเจน ที่อุณหภูมิ 1600 °C เป็นเวลา 4 ชม. และได้ศึกษาผลกระทบของจำนวนครั้งการเคลือบ  $\text{SiO}_2$  ต่อผลการสังเคราะห์ พบว่า SiC พูนที่ได้มี ความหนาของผังผลลดลงเมื่อเพิ่มจำนวนการเคลือบ โดยการเคลือบ 5 ครั้งจะทำให้อัตราส่วนเชิงโมลของ C/ $\text{SiO}_2$  เท่ากับ 3 ซึ่งส่งผลให้สังเคราะห์ได้ SiC ดีที่สุด

J.M. Qian et al. (2005) ได้เตรียมถ่านไม้พูนจากไม้สน ที่เผาในสูญญากาศ ที่ 1200 °C เป็นเวลา 4 ชม. แล้วจึงใช้วิธี อินฟิลเทรชันด้วยสูญญากาศ อัดสารผสมของเรซิน พีโนลิกกับสารละลายของ  $\text{SiO}_2$  เข้าสู่ รูพูนของถ่านไม้ นำถ่านที่ได้ไปเผาในบรรยากาศของแก๊สออกซิเจน ที่อุณหภูมิ 1200-1600 °C เป็นเวลา 1-4 ชม. พบว่าอัตราการเปลี่ยนรูปของคาร์บอนเป็น SiC เมื่อมาจากการปฏิกิริยาที่เกิดขึ้น มีค่าเพิ่มขึ้น เมื่อ เวลาในการทำการปฏิกิริยามากขึ้น

E. Vogli (2002) ศึกษาการสังเคราะห์ SiC พูน จากการทำปฏิกิริยาของถ่านไม้พูน (เตรียมจาก ไม้สน) กับแก๊ส Si ซึ่งได้จากการระเหยของ Si เหลว ที่ 1600 °C ในเวลา 1-8 ชม. ภายใต้บรรยากาศของ แก๊สออกซิเจน พบว่าเวลาการทำปฏิกิริยา 4 ชม. ทำให้สามารถเปลี่ยน คาร์บอนไปเป็น SiC ได้ 92 % และที่ 8 ชม. สามารถเปลี่ยน คาร์บอนไปเป็น SiC ได้ 94%

L. Teresa et al. (2007) ทำการสังเคราะห์ไปโอมอร์ฟิก คอมโพชิส โดยประกอบด้วย  $\text{SiO}_2$  ที่มี ความบริสุทธิ์สูง เพื่อให้เกิด  $\beta$ -SiC Nanowires หลังจากนำไปเผาที่อุณหภูมิ 1200-1400 °C ซึ่งจาก งานวิจัยนี้พบว่าจะเกิด Nanowires ที่มีเส้นผ่าศูนย์กลาง 200-500 nm เมื่อสังเคราะห์ที่อุณหภูมิ 1400 °C เป็นระยะเวลา 10 ชั่วโมง และจากการทดลองนี้เองพบว่า Nanowires มักจะเกิดในบริเวณที่มีรูพูนขนาด ใหญ่ การเติบโตของ Nanowires แบ่งเป็น 2 ระยะ เป็นการเกิดจากเติบโตจากโลหะเจือปน ซึ่งทำให้ เกิดปฏิกิริยา Nucleation ณ บริเวณนั้น อีกสถานะหนึ่ง เป็นการเกิด Nanowires จากปฏิกิริยา vapor-liquid-solid (VLS)

จากการวิจัยที่ได้ทบทวนมาซึ่งต้นฉบับว่ามีแนวทางการสังเคราะห์ SiC พรุน จากถ่านไม้พุนอยู่ 3 แนวทาง คือ (ก) การทำปฏิกิริยา ของ Si เหลว กับคาร์บอน (โดยวิธีอินฟลเทรชัน Si เหลวเข้าไปในรูพุนของถ่านไม้) (ข) การทำปฏิกิริยา ของ  $\text{SiO}_2$  กับคาร์บอน (โดยใช้วิธีโซล-เจล เคลือบสารละลายของ  $\text{SiO}_2$  บนผิว และภายใต้รูพุนของถ่านไม้) และ (ค) การทำปฏิกิริยา ของแก๊ส Si กับคาร์บอน นอกจากนี้ยังพบว่า SiC พรุน ที่ได้จากการสังเคราะห์ขึ้นอยู่กับชนิดของไม้ วิธีการเตรียมถ่านไม้พุน อัตราส่วนเชิงโมลของ C/ $\text{SiO}_2$  อุณหภูมิที่ใช้ในการทำปฏิกิริยา และเวลาในการทำปฏิกิริยา

งานวิจัยนี้จะเลือกใช้แนวทาง (ข) ใน การสังเคราะห์ SiC พรุนเนื่องจากเป็นแนวทางที่สามารถควบคุมอัตราส่วนเชิงโมลของ C/ $\text{SiO}_2$  จากจำนวนครั้งการเคลือบ และใช้ถ่านไม้พุนที่เตรียมจากไม้ย่างพารา ซึ่งยังไม่เคยมีการศึกษาโดยนักวิจัยใดมาก่อน โดยจะศึกษาถึงสภาวะที่เหมาะสมในการเตรียมถ่านไม้พุน และการสังเคราะห์ SiC พรุน

## ขอบเขตของการวิจัย

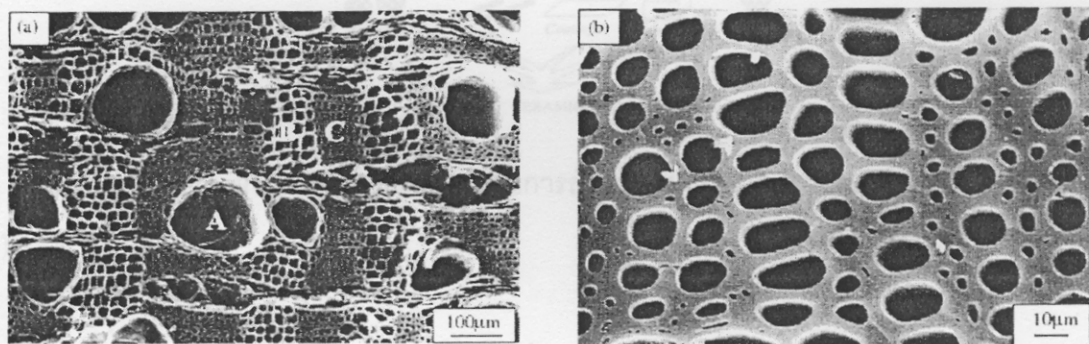
การวิจัยนี้มุ่งเน้นถึงการหาสภาวะที่เหมาะสมในการสังเคราะห์ SiC พูน จากไม้ยางพารา โดยมีขอบเขตการวิจัยดังนี้

1. วิเคราะห์คุณภาพ และโครงสร้างของวัตถุบิน (องค์ประกอบ ลักษณะพูน การกระจายขนาด ของพูน)
2. ออกแบบการทดลองโดยใช้หลักการทางอุณหพลศาสตร์ เพื่อกำหนดอัตราส่วนเชิงโมลของ คาร์บอนต่อซิลิกา และช่วงอุณหภูมิ ของการสังเคราะห์ SiC
3. ทำการทดลองตามสภาวะที่ได้ออกแบบไว้ในข้อ 2
4. วิเคราะห์ผลและเสนอแนวทางที่ดีที่สุดในการสังเคราะห์ SiC พูน จากไม้ยางพารา

## ทฤษฎี สมมุติฐาน หรือกรอบแนวความคิดของโครงการวิจัย

กลไกของการเปลี่ยนจากเนื้อไม้ ไปเป็นถ่านไม้พรุนหรือกระบวนการคราร์บอในเชื้ัน สามารถอธิบายตามช่วงอุณหภูมิที่เพิ่มขึ้นได้ดังนี้ (ก) กระบวนการครายน้ำจะเกิดขึ้นจนถึง  $150^{\circ}\text{C}$  (ข) ที่  $200\text{-}260^{\circ}\text{C}$  จะเกิดการแตกตัวของไฮเมิลูลูโลส (ค) ที่  $240\text{-}350^{\circ}\text{C}$  จะเกิดการแตกตัวของเซลลูโลส (ง) ที่  $280\text{-}500^{\circ}\text{C}$  จะเกิดการแตกตัวของลิกนิน (จ) ที่  $400\text{-}800^{\circ}\text{C}$  ปฏิกิริยาของสารระเหย (aromatic reaction) เกิดขึ้น ทำให้มีการดึงเอกสาร์บอนไปไว้ในปฏิกิริยา เกิดเป็นแวนเคนซ์ในโครงสร้าง และ(ธ) ที่สูงกว่า  $800^{\circ}\text{C}$  ปฏิกิริยาต่างๆ แบบสิ้นสุดหมด เหลือไว้แต่โครงสร้างถ่านไม้พรุน โดยยังมีการปลดปล่อยแก๊สไฮโดรเจนที่ตอกด้วย และคราร์บอนจัดเรียงตัวเป็นผลึกเพิ่มขึ้นที่อุณหภูมิสูงขึ้น

ตัวอย่างของถ่านพรุนที่ได้จากการเผาไม้โอลิคที่  $1200^{\circ}\text{C}$  เป็นเวลา 4 ชม. แสดงอยู่ในรูปที่ 1

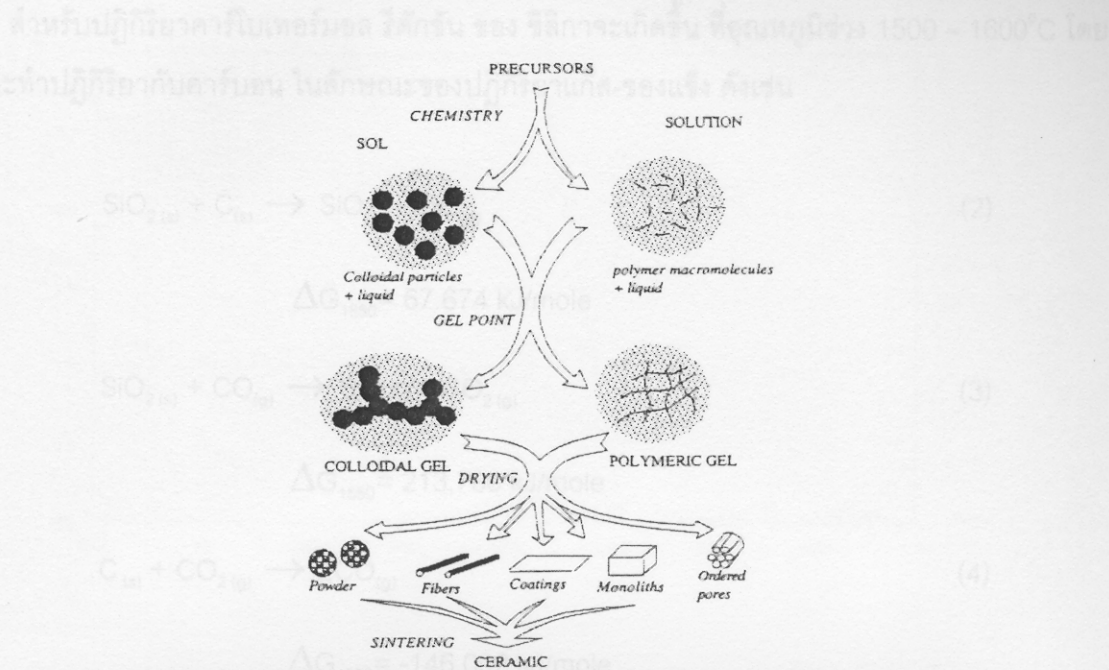


รูปที่ 1 แสดงภาพ SEM ของ ถ่านพรุนจากไม้โอลิค โดยมีขนาดเส้นผ่านศูนย์กลางเฉลี่ย

$d_A=100 \mu\text{m}$ ,  $d_B=25 \mu\text{m}$ ,  $d_C=6 \mu\text{m}$  (J. Qian, J. Wang and Z. Jin, 2004)

สำหรับกระบวนการโซล-เจลที่จะนำมาใช้เป็นวิธีการเคลือบ  $\text{SiO}_2$  เข้ากับพื้นผิวคราร์บอนของถ่านพรุน เป็นวิธีสำหรับการเตรียมของแข็ง จากสารละลาย ซึ่งกระบวนการโซล-เจล ประกอบไปด้วยหลายขั้นตอน ดังนี้ (ก) ปฏิกิริยาไฮโดรไลซิส (hydrolysis reaction) และการรวมตัวของโมกุลของสารตั้งต้น และการก่อรูปเป็นโซล (ข) เจเลชัน (gelation) (ค) การบ่ม (aging) และ(ง) การอบแห้ง (drying)





รูปที่ 2 แสดงภาพกระบวนการโซล-เจลเพื่อการสังเคราะห์เซรามิก (U. Schubert and N. Husing, 2005)

การเตรียมสารละลายโซลของ  $\text{SiO}_2$  ทำได้จากการไฮドโรไลซิส สารกลุ่มอีทอกไซด์ (ethoxide group) ด้วยน้ำกลั่นที่เกินความต้องการ และใช้ตัวเร่งปฏิกิริยาเข้าช่วย โดยสารกลุ่มอีทอกไซด์ที่มักนำมาใช้คือ เดตระอีทอกซิไซเลน (tetraethoxysilane : TEOS) ตัวเร่งปฏิกิริยาที่มีการนำมาใช้ เช่น กรดไฮโดรคลอริก (hydrochloric acid: HCl) กรดไนต์ริก (nitric acid:  $\text{HNO}_3$ ) เป็นต้น

ภายหลังจากที่ถ่านพูนได้ผ่านกระบวนการโซล-เจล ของสารละลายโซลของ  $\text{SiO}_2$  ทำให้ถ่านพูนมี  $\text{SiO}_2$  เคลือบอยู่ (เป็นวัสดุผสม C- $\text{SiO}_2$ ) และจึงนำไปเผาในบรรยากาศของแก๊สเชื้อย เช่น แก๊สออกซิเจน ซึ่งวัสดุผสม C- $\text{SiO}_2$  จะเกิดปฏิกิริยาการปฏิเสธอิเล็กทรอนิกส์ รีดักชันขึ้น ทำให้ได้ผลปฏิกิริยาเป็น ของแข็ง  $\text{SiC}$  และแก๊ส CO ดังสมการปฏิกิริยาข้างต้น



ปฏิกิริยาการปฏิเสธอิเล็กทรอนิกส์ รีดักชัน คือปฏิกิริยาที่อุณหภูมิสูง และใช้คาร์บอนเป็นตัวทำปฏิกิริยา ปฏิกิริยานี้ใช้ได้ผลดีกับการลดรูปโลหะออกไซด์หลายชนิดไปสู่โลหะบริสุทธิ์ และรวมถึงโลหะcarboปฏิเสธหรือออกซิ-carboปฏิเสธ โดยปกติปฏิกิริยาการปฏิเสธอิเล็กทรอนิกส์ รีดักชันจะถูกศึกษาในบรรยากาศของแก๊สเชื้อย ของออกซิเจน ( $\text{Ar}$ ) หรือไนโตรเจน ( $\text{N}_2$ ) เพื่อป้องกันการบ่อนทำปฏิกิริยา กับออกซิเจนในอากาศ

สำหรับปฏิกิริยาการปูเทอร์มอล รีดักชัน ของ ซิลิกาจะเกิดขึ้น ที่อุณหภูมิช่วง 1500 – 1600°C โดย ซิลิกา จะทำปฏิกิริยากับคาร์บอน ในลักษณะของปฏิกิริยาแก๊ส-ของแข็ง ดังนี้



$$\Delta G_{1550} = 67.674 \text{ kJ/mole}$$



$$\Delta G_{1550} = 213.766 \text{ kJ/mole}$$

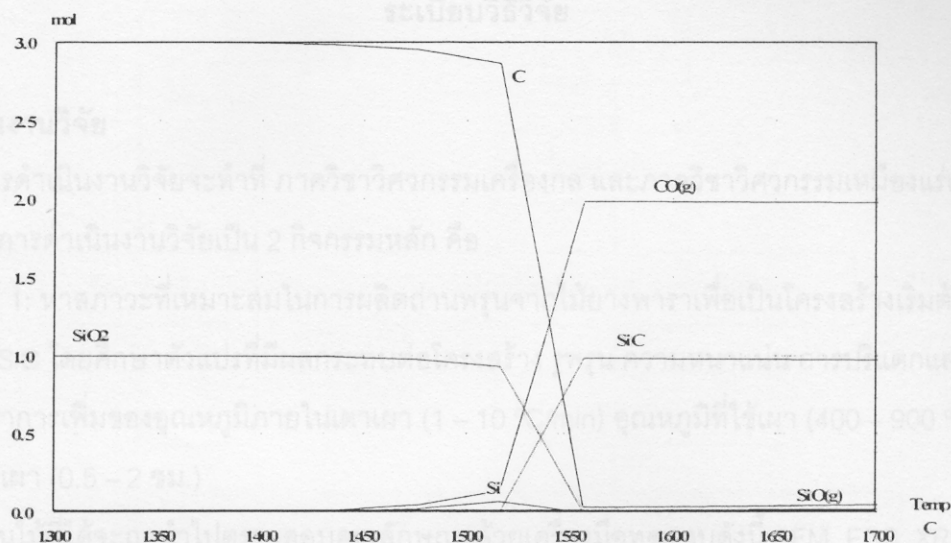


$$\Delta G_{1550} = -146.092 \text{ kJ/mole}$$

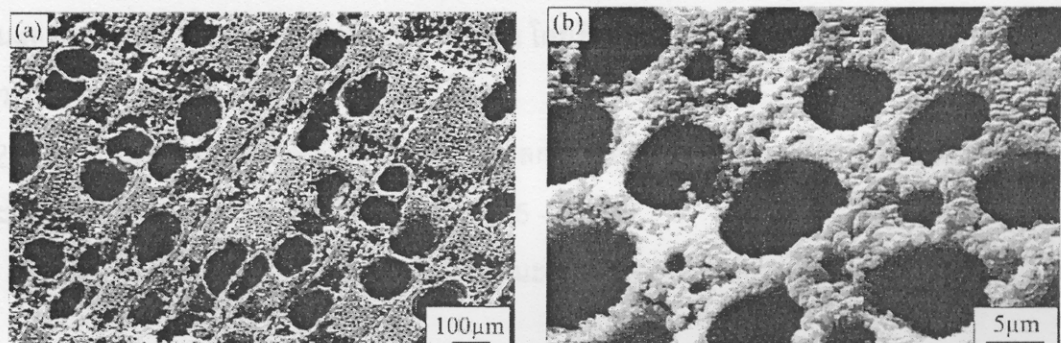


$$\Delta G_{1550} = 77.071 \text{ kJ/mole}$$

จากการวิเคราะห์ทางอุณหพลศาสตร์ โดยอาศัยหลักการของ พลังงานกิบส์ต่ำสุด (Gibbs energy minimization) จะมีความเสถียรทางอุณหพลศาสตร์สูงที่สุด นำไปคำนวณเปรียบเทียบปฏิกิริยาที่มีความเป็นไปได้ แล้วแสดงผลในรูปของกราฟความสมดุลของส่วนผสมในระบบที่อุณหภูมิต่างๆ ดังแสดงในรูปที่ 3 พบว่า ที่อุณหภูมิประมาณ >1500 °C SiO<sub>2</sub> ทำปฏิกิริยากับ คาร์บอน เป็น SiC แทนทั้งหมด ทำให้สามารถสังเคราะห์ SiC ที่ อุณหภูมิประมาณ 1500 - 1600 °C และเมื่อปล่อยให้เย็นตัวลงก็จะได้เซรามิก SiC ตามต้องการ เนื่องจาก SiC เป็นสารเสถียรไม่ทำปฏิกิริยาข้ออกลับในที่อุณหภูมิดังกล่าว และเนื่องจากคาร์บอนที่ใช้ในการทำปฏิกิริยา อยู่ในรูปของถ่านพรมแบบเซลลูลาร์ ดังนั้น SiC ที่เป็นผลลัพธ์จากปฏิกิริยาจึงมีโครงสร้างพรมแบบเซลลูลาร์ด้วย (แสดงตัวอย่าง SiC พรมในรูปที่ 4)



รูปที่ 3 กราฟความสมดุลของส่วนผสม ระบบ ( $\text{SiO}_2+3\text{C}$ ) ในบรรยากาศของแก๊สออกซิเจน ที่ อุณหภูมิต่างๆ



รูปที่ 4 แสดงภาพ SEM ของ SiC พรุนจากถ่านไม้อัด ที่เผาที่อุณหภูมิ (a)  $1600^{\circ}\text{C}$  4 ช.m. (b)  $1500^{\circ}\text{C}$  4 ช.m. (J. Qian, J. Wang and Z. Jin, 2004)

## ระเบียบวิธีวิจัย

### แผนงานวิจัย

การดำเนินงานวิจัยจะทำที่ ภาควิชาวิศวกรรมเครื่องกล และภาควิชาวิศวกรรมเหมืองแร่และวัสดุ โดยจะแบ่งการดำเนินงานวิจัยเป็น 2 กิจกรรมหลัก คือ

**กิจกรรมที่ 1:** นาสภาวะที่เหมาะสมในการผลิตด้านพรุนจากไม้ย่างพาราเพื่อเป็นโครงสร้างเริ่มต้นของการสังเคราะห์ SiC โดยศึกษาตัวแปรที่มีผลกระทบต่อโครงสร้าง รูปหุน ความหนาแน่น การปริเดกและการหดตัว คือ อัตราการเพิ่มของอุณหภูมิภายในเตาเผา ( $1 - 10 \text{ }^{\circ}\text{C}/\text{min}$ ) อุณหภูมิที่ใช้เผา ( $400 - 900 \text{ }^{\circ}\text{C}$ ) และเวลาในการเผา ( $0.5 - 2 \text{ ช.ม.}$ )

ถ่านไม้ที่ได้จะถูกนำมาไปตรวจสอบคุณลักษณะด้วยเครื่องมือทดสอบดังนี้ SEM EDS XRD TGA DSC

**กิจกรรมที่ 2:** นาสภาวะที่เหมาะสมในการสังเคราะห์ SiC พรุน จากถ่านพรุนของไม้ย่างพารา โดยภายใต้กิจกรรมนี้จะแบ่งการศึกษาออกเป็น 2 กรณี คือ

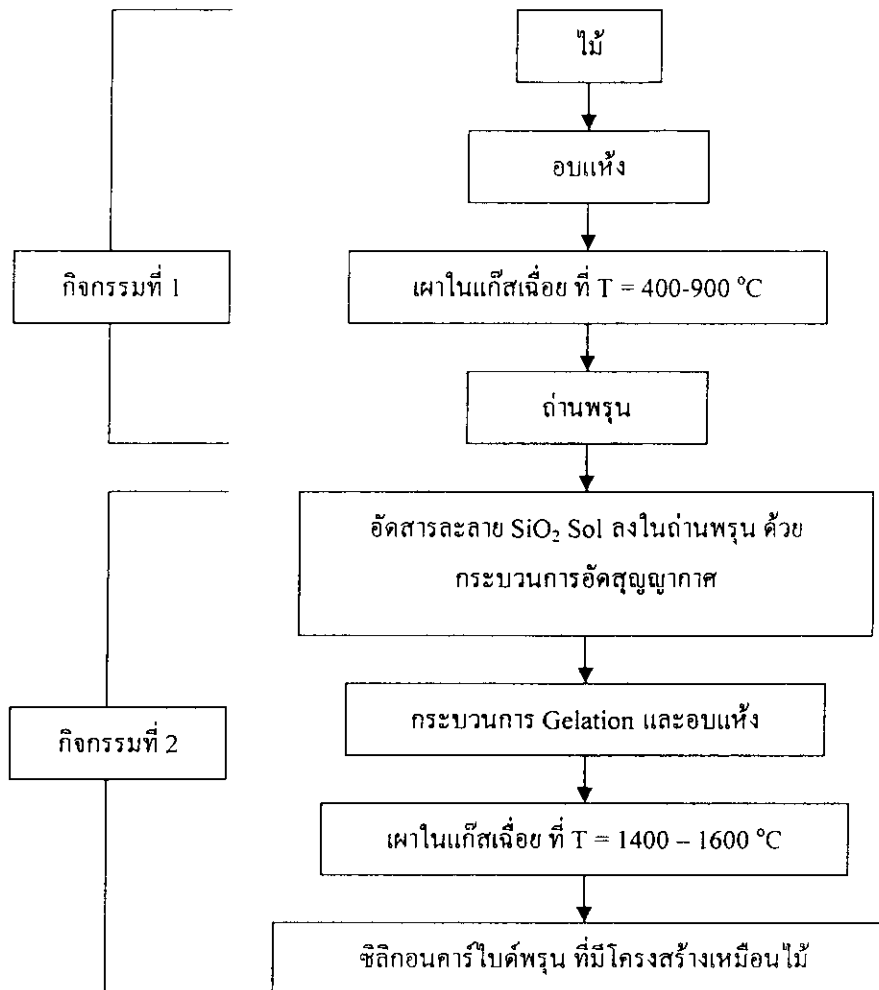
กรณีที่ 1 ศึกษาความสัมพันธ์ของอัตราส่วนเชิงโมล C/SiO<sub>2</sub> ต่อจำนวนครั้งการเคลือบ โซลฟ์ของ SiO<sub>2</sub> บนถ่านพรุนและผลกระทบที่มีต่อการสังเคราะห์ SiC พรุน โดยรักษาอุณหภูมิการสังเคราะห์ให้คงที่ ( $1600 \text{ }^{\circ}\text{C}$ ) และใช้เวลาในการเผา 1 ช.ม.

กรณีที่ 2 ศึกษาความสัมพันธ์ของตัวแปรการผลิตที่มีผลกระทบต่อการสังเคราะห์ SiC พรุน คือ อุณหภูมิการสังเคราะห์ ( $1400 - 1600 \text{ }^{\circ}\text{C}$ ) และเวลาในการเผา ( $0.5 - 3 \text{ ช.ม.}$ )

SiC พรุน ที่ได้จะถูกนำมาไปตรวจสอบคุณลักษณะด้วยเครื่องมือทดสอบดังนี้ SEM EDS XRD และ FTIR

### รายละเอียดวิธีวิจัย

วิธีวิจัยในทั้ง 2 กิจกรรมสามารถนำมาเขียนต่อเนื่องกันเป็นขั้นตอนของการสังเคราะห์ SiC พรุน จากไม้ย่างพาราได้ดังรูปที่ 5 โดยในขั้นตอนกระบวนการอัดด้วยสูญญากาศจะใช้อุปกรณ์การทดลองที่จะจัดสร้างขึ้น ดังแสดงในรูปที่ 6 ส่วนชุดการทดลองสำหรับขั้นตอนการเผาสังเคราะห์ SiC พรุนได้แสดงไว้ในรูปที่ 7

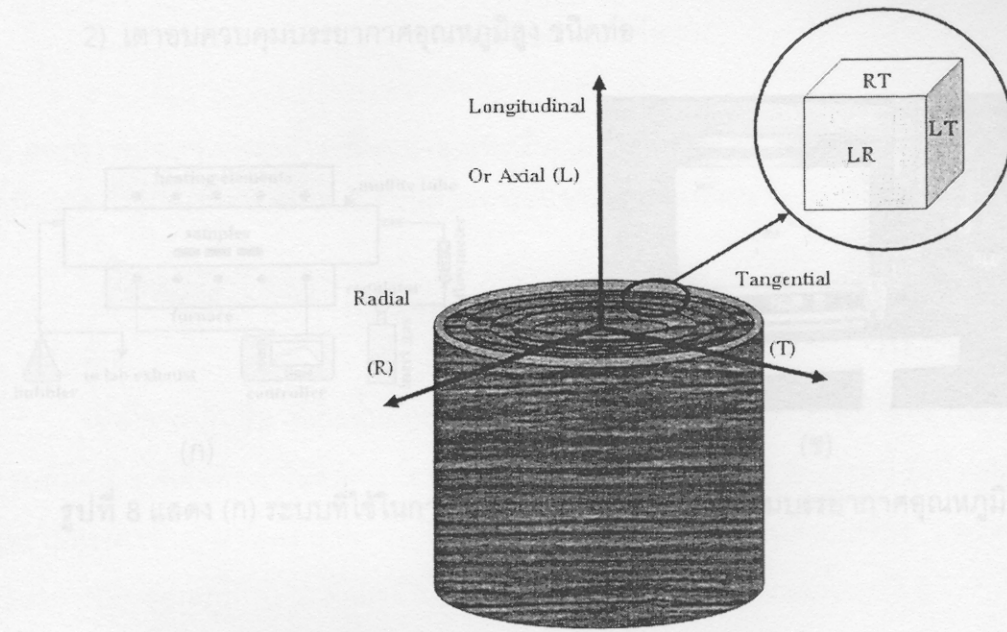


รูปที่ 5 แสดงขั้นตอนการผลิต ชิลิกอนการ์บีเดอร์พรุน และกิจกรรมการดำเนินงานวิจัย

### วัสดุและอุปกรณ์ที่ใช้ทำการวิจัย

#### วัสดุที่ใช้ทำการวิจัย

ในงานวิจัยครั้งนี้ได้นำวัสดุซึ่งเป็นไม้ในห้องถังภาคใต้ 2 ชนิดด้วยกัน คือไม้ย่างพาราและไม้สะเดาซาง เป็นวัสดุเริ่มต้นในการสังเคราะห์ถ่านไม้ (Charcoal) ซึ่งทำการเตรียมตัวอย่างขนาด 1 ลูกบาศก์เซนติเมตร ดังแสดงไว้ในรูปที่ 6

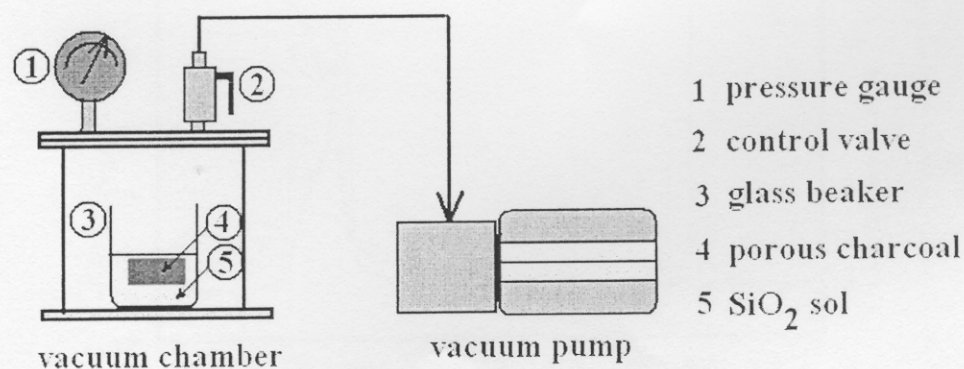


รูปที่ 6 แสดงขนาดและทิศทางของตัวอย่างที่นำมาวิจัย

สารเคมีที่ใช้ในงานวิจัยนี้คือ Tetraethoxysilane (TEOS;  $(\text{Si}(\text{OC}_2\text{H}_5)_4)$ ; Fluka  $\geq 98\%$  GC) Ethanol HCl สารเคมีดังกล่าวเป็นสารประกอบในกระบวนการเตรียมโซลเจลของซิลิกอนไดออกไซด์ ( $\text{SiO}_2$ )

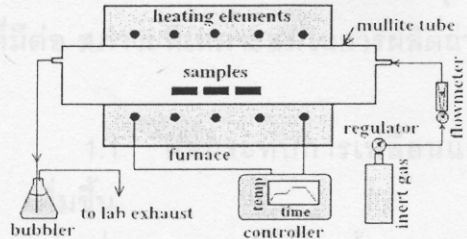
### อุปกรณ์ที่ใช้ทำการวิจัย

#### 1) อุปกรณ์กระบวนการอัดด้วยสูญญากาศ

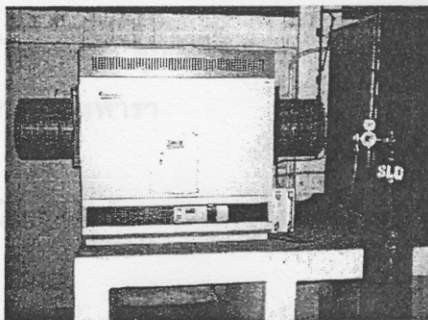


รูปที่ 7 แสดงอุปกรณ์กระบวนการอัดด้วยสูญญากาศ

2) เตาอบควบคุมบรรยายการศักดิ์สูญหภูมิสูง ชนิดท่อ



(ก)



(ข)

รูปที่ 8 แสดง (ก) ระบบที่ใช้ในการถังเคราะห์ (ข) เตาอบควบคุมบรรยายการศักดิ์สูญหภูมิสูงชนิดท่อ  
อุณหภูมิ 0 °C ที่นาฬิกาในระบบการตั้งเวลาได้ครบ 5 นาที

(ก)



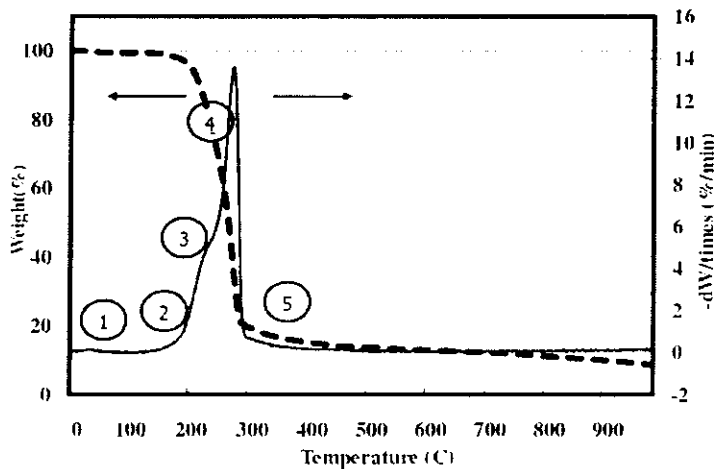
## ผลการวิจัย

1. ผลกระทบของ อัตราการเพิ่มของอุณหภูมิภายในเตาเผา อุณหภูมิที่ใช้เผา และเวลาในการเผา ที่มีต่อ สภาวะที่เหมาะสมในการผลิตถ่านพรุนจากไม้ย่างพารา

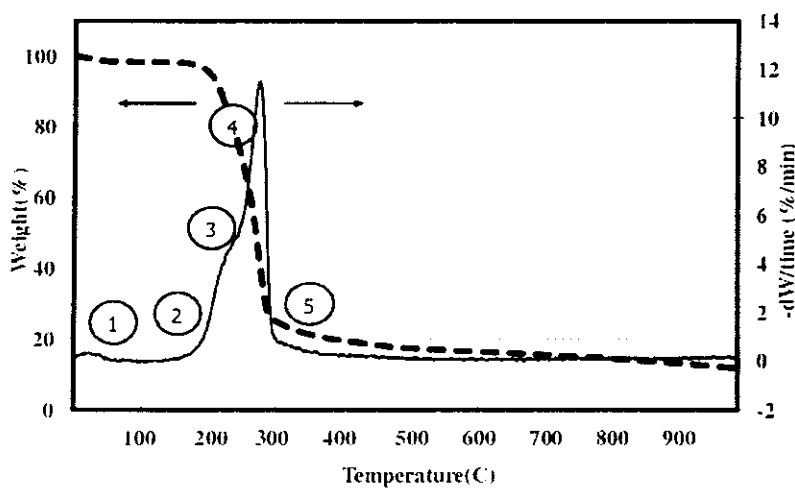
### 1.1 ผลกระทบการเปลี่ยนแปลงน้ำหนักของไม้ย่างพาราและสะเดาซ้างเมื่ออุณหภูมิเพิ่มขึ้น

เนื่องจากปฏิกิริยาที่เกิดขึ้นกับเซลล์ภายในเนื้อไม้ ในกระบวนการไฟโรไลซิส เพื่อสังเคราะห์ถ่านไม้พรุนที่มีคุณภาพดี เพื่อนำไปผลิตใบโอมอรฟิก SiC/C ในลำดับต่อไป ด้วยเหตุนี้ จึงนำไม้ดิน (ไม้ย่างพารา และไม้สะเดาซ้าง) มาวิเคราะห์การเปลี่ยนแปลงน้ำหนักต่อความร้อนด้วยเครื่อง PerkinElmer (TGA7) อัตราการเพิ่มอุณหภูมิ  $10^{\circ}\text{C}$  ต่อนาทีในบรรยากาศแก๊สในต่อเจน ดังแสดงในรูปที่ 9

(a)



(b)



รูปที่ 9 Thermogravimetric analysis (TGA) ของไม้เนื้อแข็ง (a) ไม้ย่างพารา (b) ไม้สะเดาซ้าง  
อัตราการเพิ่มอุณหภูมิ  $10^{\circ}\text{C}$  ต่อนาที ในบรรยากาศแก๊สในต่อเจน

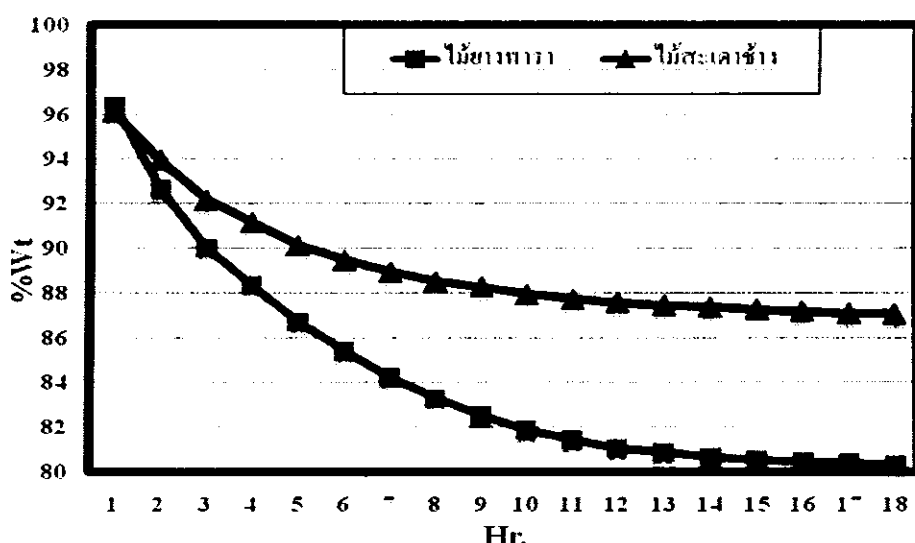
จากการวิเคราะห์ข้อมูลการเปลี่ยนแปลงน้ำหนักของไม้ยางพาราและไม้สัสดีซึ่งที่ผ่านการอบแห้ง ด้วยเครื่อง TGA โดยทำการเปรียบเทียบข้อมูลจากงานวิจัยที่เกี่ยวข้อง สามารถสรุปผลกระบวนการที่เกิดขึ้น ตามตัวเลขที่ปรากฏในรูปที่ 9 ดังนี้

- (1) เป็นกระบวนการคายน้ำ
- (2) เป็นการเริ่มของการสลายตัวของไฮเดรลลูโลส
- (3) เป็นช่วงที่ไฮเดรลลูโลสสลายตัวหมด เหลือโลสแล็ลิกนินเริ่มสลายตัว
- (4) เป็นช่วงของการสลายตัวอย่างรวดเร็วของไฮเดรลลูโลสและลิกนิน
- (5) ลิกนินเริ่มสลายตัวจนถึงอุณหภูมิประมาณ  $400^{\circ}\text{C}$

## 1.2 ผลกระทบของระยะเวลาในการคายน้ำของไม้ที่อุณหภูมิ $70^{\circ}\text{C}$

เนื่องจากในกระบวนการผลิตถ่านไม้พrun ไม่ดิบ (ไม้ยางพาราและไม้สัสดีซึ่ง) ต้องผ่านกระบวนการอบไليسความชื้น ก่อนที่จะนำไปสังเคราะห์ถ่านไม้พrun ด้วยกระบวนการไฟฟ้าอิเลคทริค ในลำดับต่อไป ทั้งนี้ทำการศึกษาเพื่อให้ทราบระยะเวลาในการอบไليسความชื้นที่เหมาะสม ดังแสดงในรูปที่ 10

จากการทดสอบส่วนตัวการเปลี่ยนแปลงไปของอัตราการคายน้ำที่อุณหภูมิ  $70^{\circ}\text{C}$  พบว่า เส้นกราฟมีความชันเข้าสู่เส้นตรงที่ระยะเวลาการอบ 16 ชั่วโมง แสดงถึงเปรียบเทียบการคายน้ำที่เปลี่ยนแปลงเพียงเล็กน้อย จากการทดลองจึงสรุปได้ว่า ที่อุณหภูมิการอบไليسความชื้น  $70^{\circ}\text{C}$  ระยะเวลา 16 ชั่วโมงเป็นระยะเวลาที่เหมาะสม



รูปที่ 10 แสดงกราฟความสัมพันธ์ของเบอร์เท็นต์ การคายน้ำของไม้ยางพาราและไม้สัสดีซึ่งต่อเวลาการอบที่อุณหภูมิ  $70^{\circ}\text{C}$

### 1.3 ผลกระทบของอุณหภูมิที่ใช้ในกระบวนการไฟโรไลซ์ในกระบวนการผลิตถ่านไม้พ噜น โดยควบคุมอัตราการเพิ่มของอุณหภูมิ $10^{\circ}\text{C}$ ต่อนาที

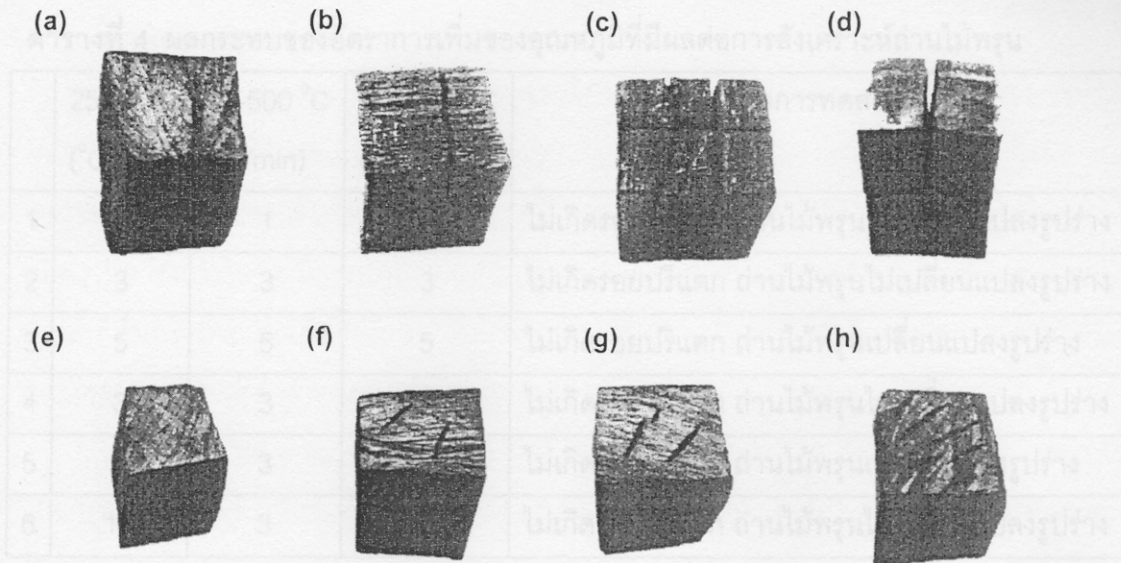
เนื่องจากการศึกษาข้อมูลในกระบวนการผลิตถ่านของโครงสร้างเซลลูโลสในกระบวนการไฟโรไลซ์ ในการสังเคราะห์ถ่านไม้พ噜น จากข้อมูลข้างต้นในตารางที่ 2 และจากการวิเคราะห์การเปลี่ยนแปลงน้ำหนักต่อความร้อนด้วยเครื่อง PerkinElmer (TGA7) อัตราการเพิ่มอุณหภูมิ  $10^{\circ}\text{C}$  ต่อนาทีในบรรยายกาศแก๊สในโตรเจน ด้วยเหตุนี้ทำการศึกษาอุณหภูมิไฟโรไลซ์  $800$   $850$  และ  $900^{\circ}\text{C}$  ด้วยอัตราการเพิ่มของอุณหภูมิ  $10^{\circ}\text{C}$  ต่อนาทีในบรรยายกาศแก๊สօาร์กอน ด้วยเตาเผา (อุณหภูมิสูงสุด  $1,200^{\circ}\text{C}$ )

ผลการวิเคราะห์ผลการทดลอง พบว่ามีลักษณะการแตกหักเพิ่มขึ้นตามอุณหภูมิที่เพิ่มขึ้น และมีการเปลี่ยนแปลงรูปร่างที่อุณหภูมิไฟโรไลซ์  $850$  และ  $900^{\circ}\text{C}$  ดังแสดงในรูปที่ 11 และสรุปผลการทดลองตามตารางที่ 3

จากการวิเคราะห์ผลการทดลอง พบว่ากระบวนการไฟโรไลซ์ ที่อุณหภูมิ  $800^{\circ}\text{C}$  อัตราการเพิ่มของอุณหภูมิ  $10^{\circ}\text{C}$  ต่อนาที เป็นอุณหภูมิที่เหมาะสม ในกระบวนการสังเคราะห์ถ่านไม้พ噜น เมื่อจากถ่านไม้ที่สังเคราะห์ได้นั้น เกิดรอยปริแตกเพียงเล็กน้อย ทั้งนี้สันนิษฐานในเบื้องต้นว่ารอยปริแตกดังกล่าวอาจจะเกิดจาก ผลกระทบของอัตราการเพิ่มอุณหภูมิ จึงเป็นที่มาของการศึกษาอัตราการเพิ่มของอุณหภูมิที่ผลต่อการสังเคราะห์ถ่านไม้พ噜น

ตารางที่ 2 ขั้นตอนการเกิดปฏิกิริยาที่เกิดขึ้นกับเซลลูโลสในเนื้อไม้ ในกระบวนการคาร์บอนไซรัฟฟ์ (ที่มา: C.E. Byrne and D.C. Nagle, 1997)

ช่วงอุณหภูมิ	ปฏิกิริยาที่เกิดขึ้น
$25$ - $150^{\circ}\text{C}$	กระบวนการคายน้ำ
$200$ - $260^{\circ}\text{C}$	การแตกตัวของเอมิเซลลูโลส
$240$ - $350^{\circ}\text{C}$	การแตกตัวของเซลลูโลส
$280$ - $350^{\circ}\text{C}$	การแตกตัวของลิกนิน
$400$ - $800^{\circ}\text{C}$	ปฏิกิริยาของสารระเหย (Aromatic reaction) เกิดการดึงเอากarbonมาให้ในปฏิกิริยา เกิดเป็นวานิลลินในโครงสร้าง
มากกว่า $800^{\circ}\text{C}$	ปฏิกิริยาทุกอย่างແแทรกส์หรือไว้แต่ถ่านไม้



รูปที่ 11 แสดงภาพถ่ายของถ่านไม้ย่างพารา (a-d) และไม้สะเดาซ้าง (e-g) ที่ผ่านกระบวนการเผาที่อุณหภูมิ  $800\text{ }^{\circ}\text{C}$  ((a) และ (e))  $850\text{ }^{\circ}\text{C}$  ((b) และ (f))  $900\text{ }^{\circ}\text{C}$  ((c) (d) (g) และ (e)) ตามลำดับ

ตารางที่ 3 ผลกระทบของอุณหภูมิต่อกระบวนการไฟโรไลซิสที่อัตราการเพิ่มอุณหภูมิ  $10\text{ }^{\circ}\text{C}$  ต่อนาที

อุณหภูมิไฟโรไลซิส	ผลการทดลอง
$800\text{ }^{\circ}\text{C}$	รอยบริแตกเด็กน้อย
$850\text{ }^{\circ}\text{C}$	เปลี่ยนแปลงรูปร่าง เกิดรอยบริแตก
$900\text{ }^{\circ}\text{C}$	เปลี่ยนแปลงรูปร่าง เกิดรอยบริแตก

#### 1.4 ผลกระทบของอัตราการเพิ่มอุณหภูมิที่มีผลต่อการสังเคราะห์ถ่านไม้พรุน

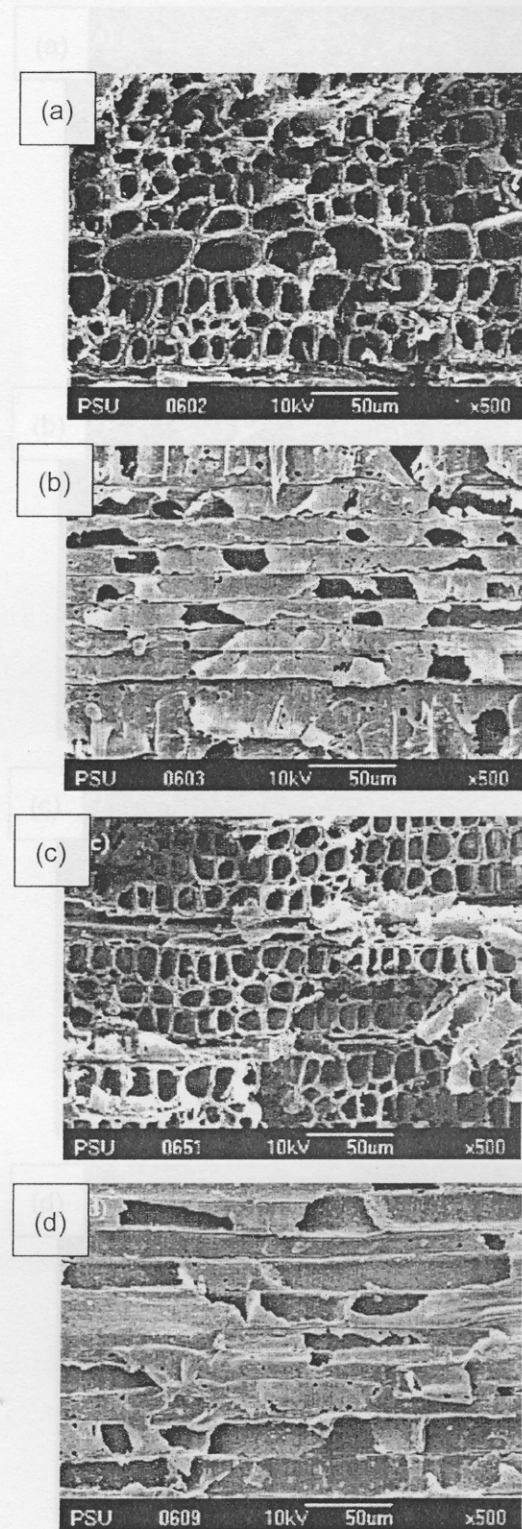
จากข้อมูลขั้นตอนปฏิกริยาที่เกิดขึ้นกับเซลลูไวนเน็คไม้ พบว่าอัตราการเพิ่มของอุณหภูมิในกระบวนการไฟโรไลซิส มีผลต่อคุณภาพของถ่านไม้ที่ผลิต ด้วยเหตุนี้ จึงเป็นแนวทางการทดลอง โดยทำการศึกษาอัตราการเพิ่มของอุณหภูมิ  $1\text{--}3\text{--}5$  และ  $10\text{ }^{\circ}\text{C}$  ต่อนาที ทั้งนี้แบ่งช่วงอุณหภูมิในการศึกษา เป็น 3 ช่วงด้วยกัน คือ ช่วงที่ 1 อุณหภูมิ  $25\text{--}70\text{ }^{\circ}\text{C}$  (กระบวนการคายน้ำ) ช่วงที่ 2 อุณหภูมิ  $70\text{--}500\text{ }^{\circ}\text{C}$  (เป็นช่วงการถลายน้ำของเยมิเซลลูโลส เซลลูโลส และลิกนิน) ช่วงที่ 3 อุณหภูมิ  $500\text{--}800\text{ }^{\circ}\text{C}$  (เป็นช่วงการถลายน้ำของสารระเหย) ผลการทดลองแสดงดังตารางที่ 4

ตารางที่ 4 ผลกระทบของอัตราการเพิ่มของอุณหภูมิที่มีผลต่อการสังเคราะห์ถ่านไม้พrun

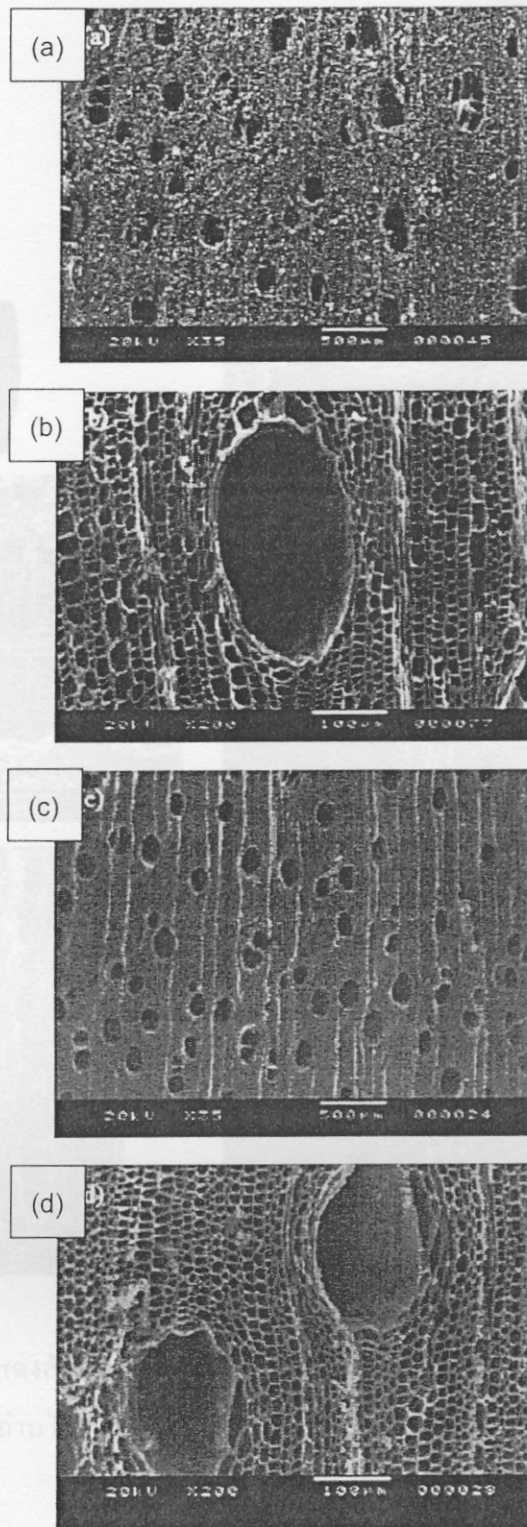
	25-70 °C (°C/min)	70-500 °C (°C/min)	500-800 °C (°C/min)	ผลการทดลอง
1	1	1	1	ไม่เกิดรอยปริแตก ถ่านไม้พrunไม่เปลี่ยนแปลงรูปร่าง
2	3	3	3	ไม่เกิดรอยปริแตก ถ่านไม้พrunไม่เปลี่ยนแปลงรูปร่าง
3	5	5	5	ไม่เกิดรอยปริแตก ถ่านไม้พrunเปลี่ยนแปลงรูปร่าง
4	3	3	5	ไม่เกิดรอยปริแตก ถ่านไม้พrunไม่เปลี่ยนแปลงรูปร่าง
5	3	3	10	ไม่เกิดรอยปริแตก ถ่านไม้พrunเปลี่ยนแปลงรูปร่าง
6	10	3	5	ไม่เกิดรอยปริแตก ถ่านไม้พrunไม่เปลี่ยนแปลงรูปร่าง

จากผลการทดลองพบว่า อัตราการเพิ่มของอุณหภูมิ 1 และ 3 °C ต่อนาที จากอุณหภูมิ 25-800 °C ถ่านไม้พrunที่สังเคราะห์ได้ ไม่เกิดรอยปริแตก และไม่เปลี่ยนแปลงรูปร่าง แต่เมื่ออัตราการเพิ่มของอุณหภูมิ 5 °C ต่อนาที ถ่านไม้พrunเกิดการเปลี่ยนแปลงรูปร่าง ดังนั้นอัตราการเพิ่มของอุณหภูมิ 1 °C ต่อนาที สามารถสังเคราะห์ถ่านไม้พrunที่มีคุณภาพดีที่สุด แต่เนื่องจากระยะเวลาในการสังเคราะห์เป็นเวลานาน ซึ่ง มีต้นทุนในการผลิตสูง ด้วยเหตุนี้อัตราการเพิ่มของอุณหภูมิ 3 °C ต่อนาที จึงเป็นอัตราที่เหมาะสมในการ สังเคราะห์ถ่านไม้พrun ซึ่งมีความเหมาะสมในเชิงของต้นทุนและระยะเวลาในการผลิต จากรูปแบบการ ทดลองที่ 4 และ 5 ควบคุมอัตราการเพิ่มอุณหภูมิ 3 °C ต่อนาที ในช่วงอุณหภูมิ 25-500 °C โดยศึกษาอัตรา การเพิ่มของอุณหภูมิ จากช่วงอุณหภูมิ 500-800 °C พบว่า เมื่ออัตราการเพิ่มอุณหภูมิ 10 °C ต่อนาที ถ่าน ไม้พrunที่สังเคราะห์ได้เกิดการเปลี่ยนแปลงรูปร่าง ดังนั้นอัตราการเพิ่มของอุณหภูมิ 5 °C ต่อนาที ในช่วง อุณหภูมิ 500-800 °C เป็นอัตราที่เหมาะสมในการสังเคราะห์ถ่านไม้พrunที่ไม่เกิดรอยปริแตกและไม่ เปลี่ยนแปลงรูปร่าง

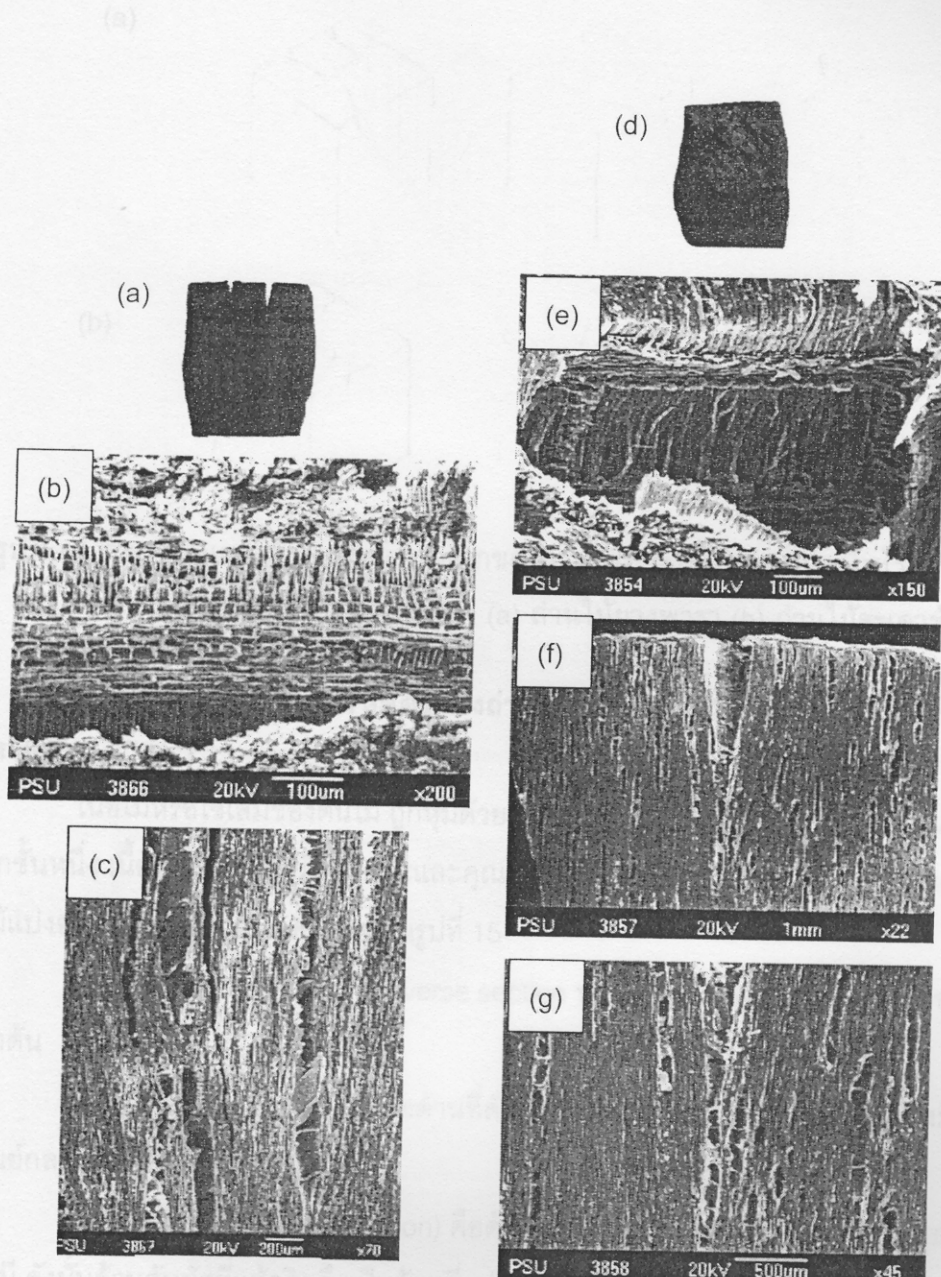
จากการวิเคราะห์ผลการทดลองดังกล่าวสามารถสรุปได้ว่า อัตราการเพิ่มอุณหภูมิในการเผาอย่าง ข้าๆทำให้สามารถผลิตถ่านไม้พrunที่มีคุณภาพดีกว่าอัตราการเพิ่มอุณหภูมิอย่างรวดเร็ว ซึ่งถ่านไม้พrunที่ เผาด้วยอัตราการเพิ่มอุณหภูมิอย่างรวดเร็ว ทำให้เกิดการแตกหักและเสียรูปร่างของถ่านไม้พrun อัตราการ เพิ่มอุณหภูมิที่เหมาะสมในกระบวนการไฟโรไลชิส เพื่อสังเคราะห์ถ่านไม้พrunที่มีคุณภาพดีและเหมาะสมใน การเป็นวัสดุเริมต้นในการสังเคราะห์ใบโอมอร์ฟิก SiC/C คืออัตราการเพิ่มของอุณหภูมิ 3 °C ต่อนาที ในช่วง อุณหภูมิ 25-500 °C และอัตราการเพิ่มของอุณหภูมิ 5 °C ต่อนาที ในช่วงอุณหภูมิ 500-800 °C แต่ เนื่องจากไม่ดีบได้ผ่านกระบวนการอบไอล์ฟาร์มชันที่อุณหภูมิ 70 °C ด้วยอัตราการเพิ่มของอุณหภูมิ 10 °C ต่อนาที ด้วยเหตุนี้ กระบวนการไฟโรไลชิส ในช่วงอุณหภูมิ 25-70 °C จึงสามารถใช้อัตราการเพิ่มของ อุณหภูมิ 10 °C ต่อนาที ซึ่งไม่มีผลต่อการสังเคราะห์ถ่านไม้พrun



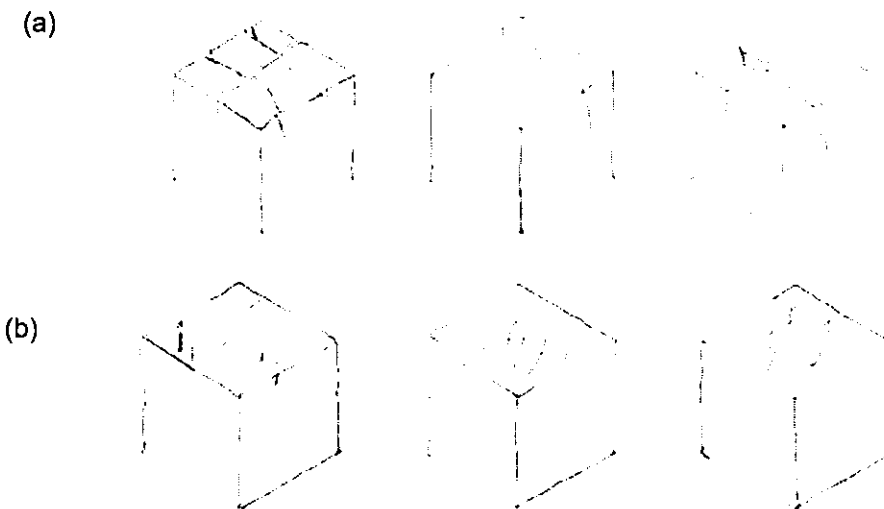
รูปที่ 11 ภาพถ่าย SEM และคงสร้างภาคตัดขวางภายในเนื้อไม้ (a) ไม้ยางพารา แนววาง (b) ไม้ยางพารา แนวยาว (c) ไม้สัสดีช้าง แนววาง (d) ไม้สัสดีช้าง แนวยาว



รูปที่ 12 ภาพถ่าย SEM แสดงโครงสร้างภายในของถ่านไม้พrun ผ่านกระบวนการไฟฟ์โรไลซิสที่อุณหภูมิ  $800^{\circ}\text{C}$  เป็นระยะเวลา 1 ชั่วโมง (a) และ (b) ถ่านไม้ย่างพารา (c) และ (d) ถ่านไม้สะเดาช้าง



รูปที่ 13 ภาพถ่าย SEM แสดงลักษณะการปริแตกของด่านไม้ที่เผาที่อุณหภูมิ  $850^{\circ}\text{C}$  ของ ((a) (b) และ(c))  
ด่านไม้ยางพารา ((d) (e) (f) และ(g)) ด่านไม้สักเคลือบ



รูปที่ 14 ภาพวาดแสดงลักษณะการปริแตกของถ่านไม้ที่ผ่านกระบวนการไฟโรไลซิสที่อุณหภูมิ  $900^{\circ}\text{C}$  เป็นระยะเวลา 1 ชั่วโมง (a) ถ่านไม้ย่างพารา (b) ถ่านไม้สะเดาข้าง

### 1.5 ผลกระทบของการหดตัวของถ่านไม้ ภายหลังจากการสังเคราะห์ด้วยกระบวนการไฟโรไลซิส

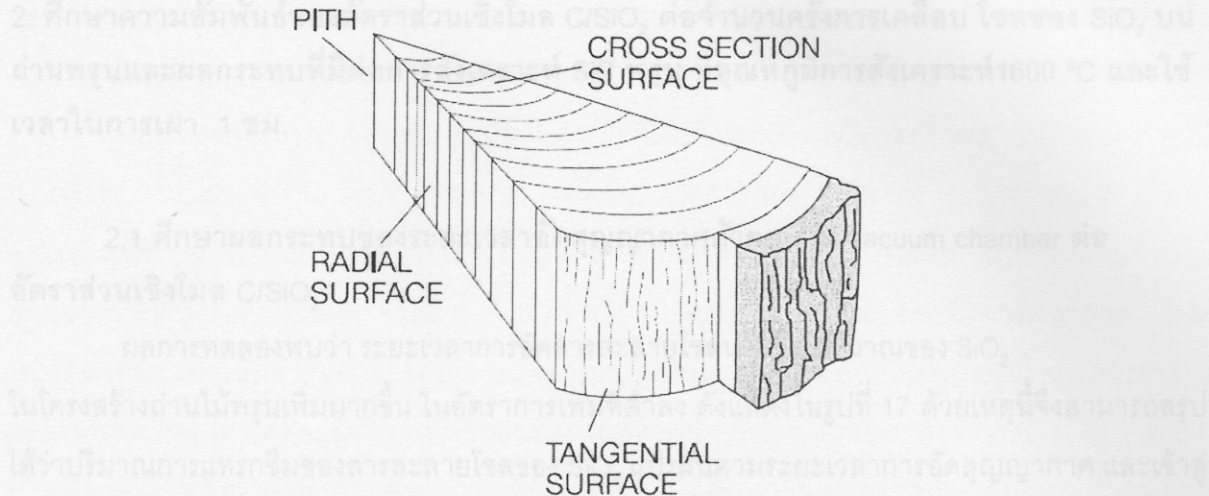
เนื้อไม้หรือไม้เลเมของถ่านไม้ ถูกหุ้มด้วยแคมเปญ แล้วหับด้วยเปลือก ซึ่งมีส่วนของไฟเบอร์อยู่ด้านใน อีกชั้นหนึ่ง เนื้อไม้เป็นวัตถุที่มีลักษณะและคุณสมบัติในด้านต่างๆ ไม่เหมือนกัน(anisotropic) ด้านของเนื้อไม้แบ่งออกได้เป็นสามด้าน ดังแสดงในรูปที่ 15

ด้านหน้าตัด (Cross or transverse section หรือ axial) คือด้านที่ตัดขวางตั้งฉากกับ ลำต้น

ด้านรัศมี (Radial section) คือด้านที่ตัดตามยาว ในแนวของແບບເຮັດຮັສມີຈິງມີຊຸດ គູນຍົກລາງອູ້ທີ່ໃຈໄມ້ (pith)

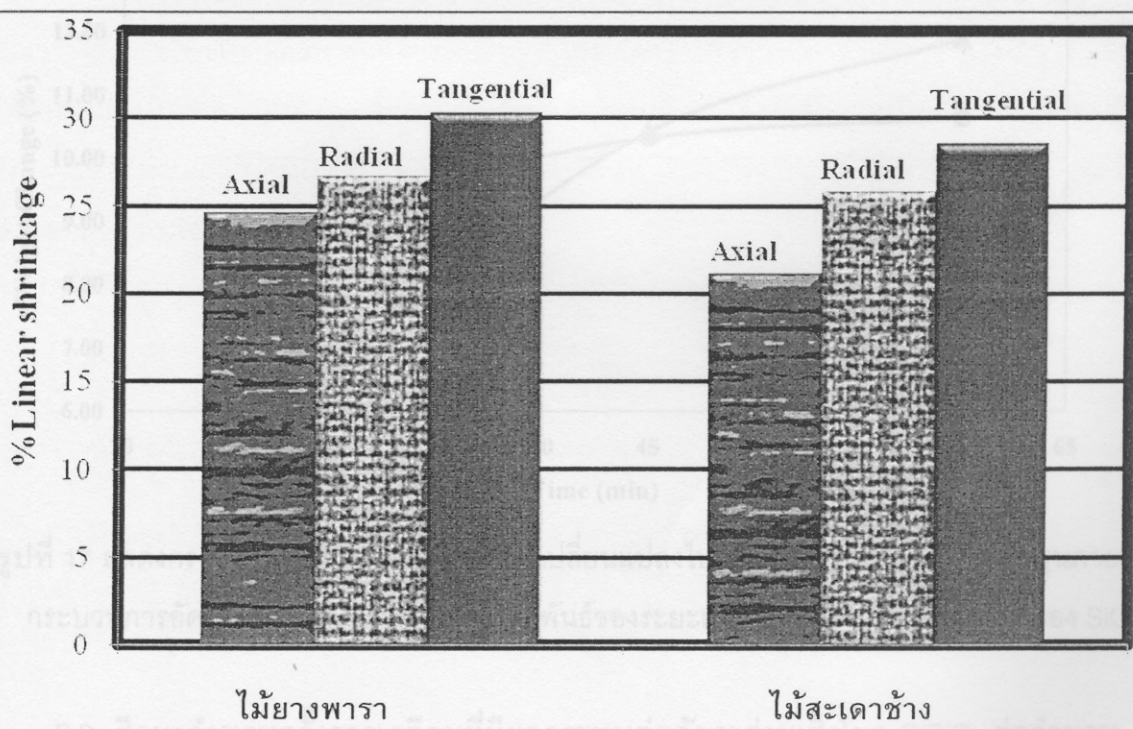
ด้านสัมผัส (Tangential section) คือด้านที่ตัดตามยาว ในแนวตั้งฉากกับແບບເຮັດຮັສມີ ดังนั้นด้านสัมผัสที่แท้จริง ຈຶ່ງເປັນດ้านທີ່ອູ້ໃນแนวสัมผัสເສັ້ນຮອບຂອງໄຣເຄມຫຼືວ່າງຮອບນີ້ ແຕ່ໃນທາງປະກົບປົດໃນกรณีອອນໄມ້ແຜ່ນທີ່ມີຫນາດຕີເປັນຽຸປື້ສີເໜີຍມຸນຈາກ ມັກຈະຄື່ອເອາດ້ານທີ່ຕັ້ງໄດ້ຈາກກັບຮັສມີທີ່ກິ່ງກລາງແຜ່ນ ທີ່ອູ້ໜ່າງຈຸດນີ້ອອກໄປກົດຈະເປີຍເປັນໄປນ້າງ

จากผลการทดลองทดสอบลักษณะของถ่านโดยด้านสัมผัสเป็นแนวตั้งฉากกับด้านຮັສມີ ຈິງຈະทำให้ໂຄງສ້າງຂອງแนวด้านสัมผัสດັ່ງກ່າວມີການหดตัวตามแนวยาวของເຮັດສີ ຈຶ່ງໃນມີຍາງພາරາແລະໃນມີສະເດາຂ້າງມີແນວໂນມເປົ່ວໂຕນີ້ເປັນດັ່ງນີ້: Tangential > Radial > Axial ดังแสดงในรูปที่ 16 โดยໃນມີສະເດາຂ້າງຈະหັດຕ້ານນີ້ຍົກວ່າໃນຍາງພາරາໃນທຸກແນວ ເນື້ອຈາກໃນມີສະເດາຂ້າງມີຄວາມສິ້ນນີ້ຍົກວ່າ ອີກທີ່ໂຄງສ້າງກາຍໃນທີ່ມີຄວາມສຳເນົາສົມອກວ່າ



รูปที่ 15 แสดงโครงสร้างตามแนวแกนของเนื้อไม้ ด้านหน้าตัด (Cross section หรือ Axial) ด้านรัศมี (Radial) และด้านลัมผัส (Tangential)

(ที่มา [www.forest.ku.ac.th/Products/text\\_doc/wood1.doc](http://www.forest.ku.ac.th/Products/text_doc/wood1.doc) ลีบคัน สิงหาคม 2551)

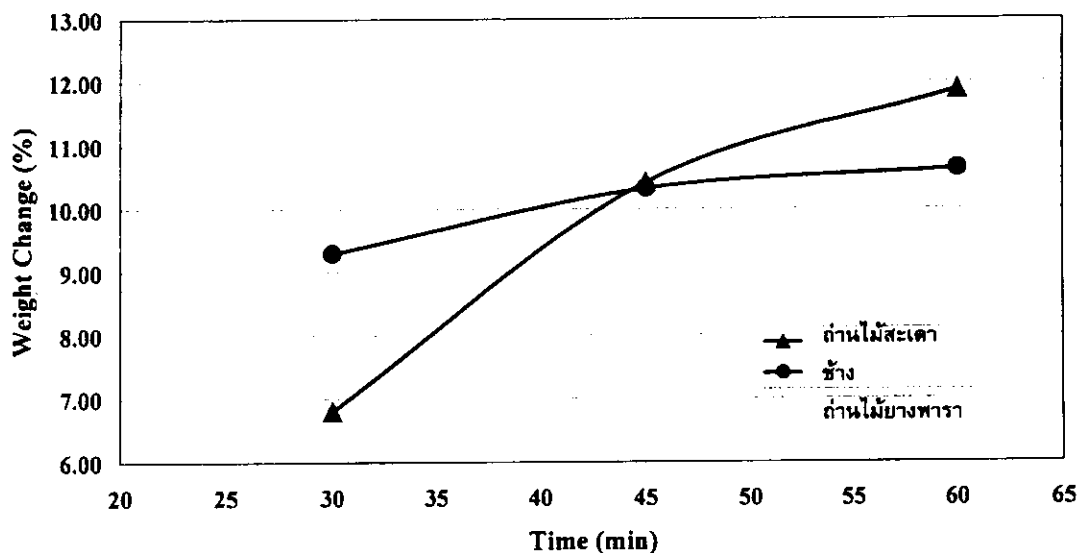


รูปที่ 16 กราฟแสดงเปอร์เซ็นต์การหดตัวของไม้ยางพาราและไม้สักเดชาช้างตามแนว Axial Radial และ Tangential

2. ศึกษาความสัมพันธ์ของอัตราส่วนเชิงโมล C/SiO<sub>2</sub> ต่อจำนวนครั้งการเคลือบ ใช้ลักษณะ SiO<sub>2</sub> บนถ่านพรุนและผลกระทบที่มีต่อการสังเคราะห์ SiC พรุน ที่อุณหภูมิการสังเคราะห์ 1600 °C และใช้เวลาในการเผา 1 ชม.

### 2.1 ศึกษาผลกระทบของระยะเวลาอัดสูญญากาศด้วยเครื่อง vacuum chamber ต่ออัตราส่วนเชิงโมล C/SiO<sub>2</sub>

ผลการทดลองพบว่า ระยะเวลาการอัดสารละลายโซลูชันขึ้น ปริมาณของ SiO<sub>2</sub> ในโครงสร้างถ่านไม้พรุนเพิ่มมากขึ้น ในอัตราการเพิ่มที่ต่ำลง ดังแสดงในรูปที่ 17 ด้วยเหตุนี้จึงสามารถสรุปได้ว่าปริมาณการแทรกซึมของสารละลายโซลูชัน SiO<sub>2</sub> แปรผันตามระยะเวลาการอัดสูญญากาศ และเข้าสู่สภาวะอิ่มตัวที่เวลาการอัดประมาณ 60 นาที ทั้งนี้อาจเนื่องมาจากการพุ่นของถ่านถูกเคลือบปิดด้วย SiO<sub>2</sub> เกือบทั้งหมด ทำให้พื้นที่ผิวที่จะทำการเคลือบลดลงเหลือเพียงผิวภายในอกเท่านั้น



รูปที่ 17 แสดงกราฟความสัมพันธ์ของน้ำหนักที่เปลี่ยนแปลงไปของ SiO<sub>2</sub> ที่บรรจุในถ่านไม้พรุนภายหลังกระบวนการอัดสูญญากาศ ซึ่งแสดงความสัมพันธ์ของระยะเวลาในการอัดสารละลายโซลูชัน SiO<sub>2</sub>

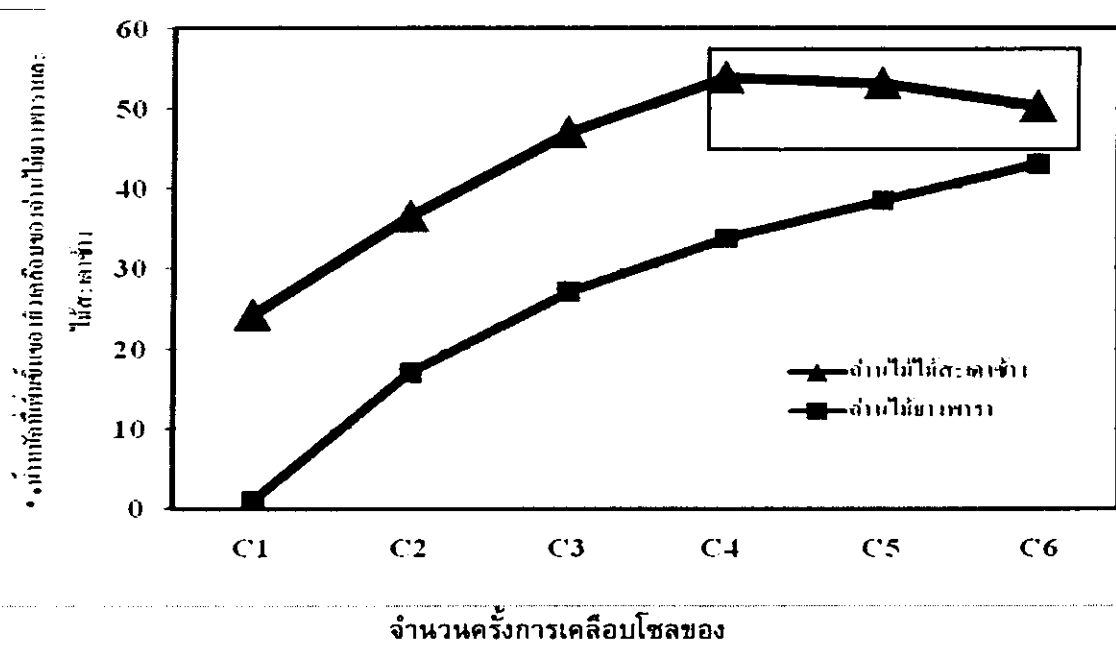
### 2.2 ศึกษาจำนวนครั้งการเคลือบที่มีผลกระทบต่ออัตราส่วนเชิงโมล C/SiO<sub>2</sub> ต่อจำนวนการเคลือบของ SiO<sub>2</sub> บนผิวถ่าน

การทดลองนี้ทำการศึกษาจำนวนครั้งการเคลือบที่มีผลกระทบต่ออัตราส่วนเชิงโมล C/SiO<sub>2</sub> ต่อจำนวนการเคลือบของ SiO<sub>2</sub> บนผิวถ่าน ด้วยกระบวนการอัดสูญญากาศ โดยอาศัยหลักการของแรงคานิลารี ในการแทรกซึมสารละลายโซลูชัน SiO<sub>2</sub> เข้าสู่โครงสร้างภายในของถ่านไม้พรุนด้วยเครื่อง Vacuum chamber ในกราฟแสดงนี้ระยะเวลาในการอัดสารละลายโซลูชัน SiO<sub>2</sub> เป็นเวลา 30 นาที นำถ่านไม้ที่ผ่านกระบวนการเคลือบ ทึ้งไว้ในอุณหภูมิห้องเป็นระยะเวลาอย่างน้อย 4 ชั่วโมง เพื่อให้เกิดปฏิกิริยาเจลเลร์

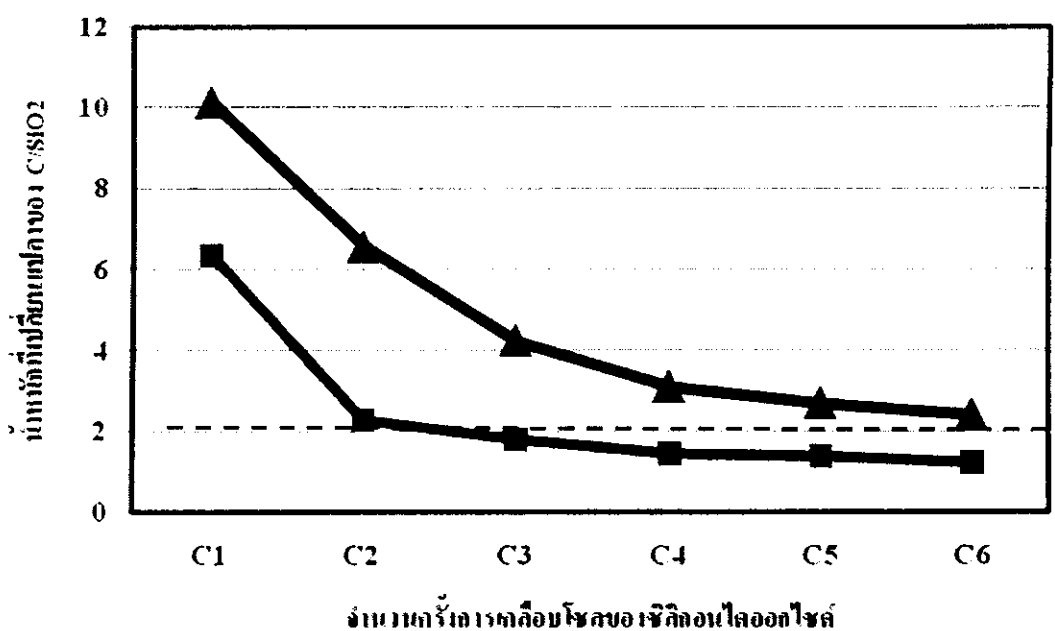
เกิดเป็น  $\text{SiO}_2$  มีลักษณะคล้ายแก้วเบ้าบริเวณผิวของถ่านไม้ หลังจากนั้นนำถ่านไม้ดังกล่าวอบให้ความร้อน และ Ethanol ที่อุณหภูมิ  $120^{\circ}\text{C}$  เป็นระยะเวลา 8 ชั่วโมง และทำการอัดสารละลายร้ากระบวนการเดิม

ผลการทดลองพบว่าความสัมพันธ์ของน้ำหนักที่เพิ่มขึ้นของผิวเคลือบของ  $\text{SiO}_2$  บนผิวของถ่านไม้ ยังพาราและไม่สะเดาซ่าง เมื่อผ่านกระบวนการเคลือบด้วยสารละลายโซลูชัน  $\text{SiO}_2$  จำนวน 6 ครั้ง ดังแสดงในรูปที่ 18 พนว่าถ่านไม้ยังพารามีน้ำหนักที่เปลี่ยนแปลง มีแนวโน้มเพิ่มขึ้น ซึ่งแบร์ผันตามจำนวนรอบของการเคลือบ ทั้งนี้เนื่องมาจากถ่านไม้ยังพารามีขนาดรูพรุนขนาดใหญ่ และมีความหลากรายของขนาดของรูพรุนทำให้มีความสามารถในการแทรกซึมของสารละลายได้ดี และในส่วนของถ่านไม้สะเดาซ่าง พบว่า น้ำหนักของผิวเคลือบมีอัตราเพิ่มขึ้นจนถึงการเคลือบทั้งครั้งที่ 4 และในการเคลือบทั้งครั้งที่ 5 และ 6 น้ำหนักของผิวเคลือบลดลง ทั้งนี้เนื่องมาจากการสร้างถ่านไม้สะเดาซ่างมีรูพรุนขนาดเล็กและสม่ำเสมอทำให้ความสามารถในการดูดซึมสารละลายน้อยกว่าในถ่านไม้ยังพารา เมื่อสารละลายโซลไม่สามารถแทรกซึมเข้าสู่โครงสร้างภายในได้ จึงเกาะตัวบริเวณผิวภายนอกและเกาะตัวกันเป็นชั้น เมื่อทั้งไก่ในอากาศจึงเกิดการร่อนหลุดออกของผิวภายนอก จึงทำให้น้ำหนักของผิวเคลือบลดลง

จากทฤษฎีอัตราส่วนเชิงโมลของ  $\text{C}/\text{SiO}_2$  ที่ทำให้ปฏิกิริยาการเกิด  $\text{SiC}$  สมบูรณ์คือ อัตราส่วนเชิงโมลของ  $\text{C}/\text{SiO}_2$  เท่ากับ 3 ผลการทดลองพบว่าถ่านไม้สะเดาซ่างที่จำนวนการเคลือบทั้งครั้งที่ 3 เป็นต้นไป มีอัตราส่วนเชิงโมลของ  $\text{C}/\text{SiO}_2$  ต่ำกว่า 2 ดังแสดงในรูปที่ 19 จึงสนนนิษฐานในเบื้องต้นว่า ในปฏิกิริยา ดังกล่าวมีปริมาณคาร์บอนไม้เพียงพอในการสังเคราะห์ใบโอมอรฟิก  $\text{SiC/C}$  น่าจะเกิด  $\text{SiO}_2$  เหลืออยู่ในโครงสร้างของใบโอมอรฟิก  $\text{SiC/C}$



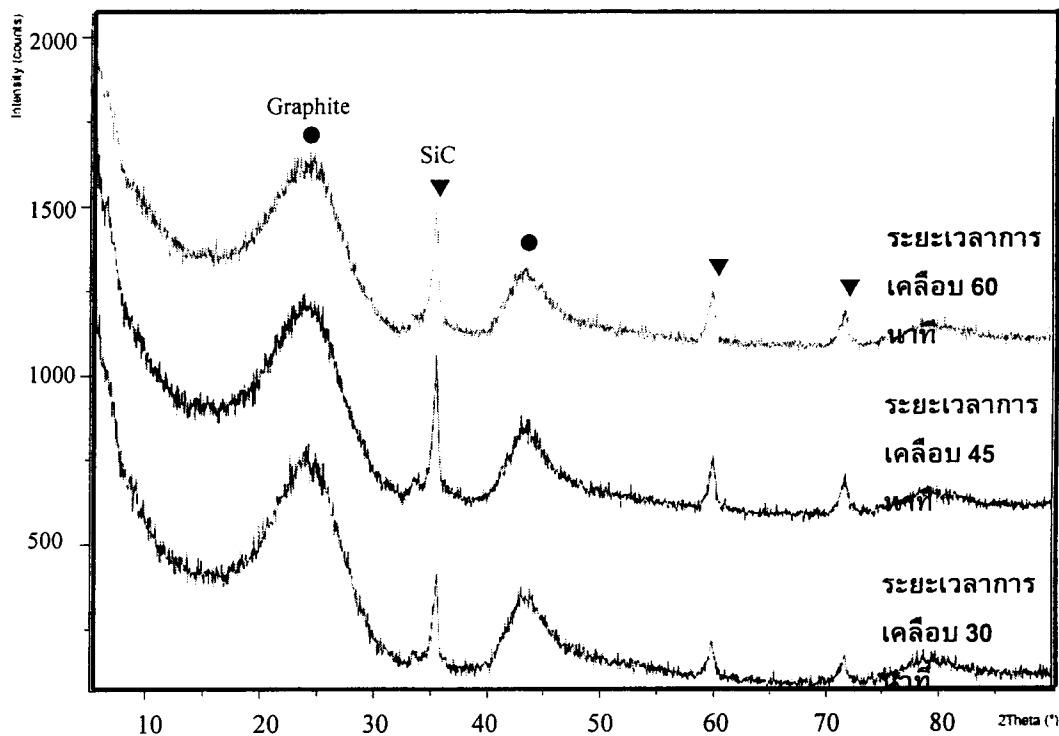
รูปที่ 18 แสดงกราฟเปรียบเทียบความสัมพันธ์ของน้ำหนักที่เปลี่ยนแปลงไปของผิวเคลือบของถ่านไม้ยางพาราและถ่านไม้สักเดาช้าง ภายหลังผ่านกระบวนการอัดสารละลายด้วยระบบอัดสูญญากาศ



รูปที่ 19 แสดงกราฟเปรียบเทียบความสัมพันธ์ของน้ำหนักที่เปลี่ยนแปลงไปของ C/SiO<sub>2</sub> ต่อจำนวนครั้งการเคลือบซ้ำของผิวเคลือบบนถ่านไม้ยางพาราและถ่านไม้สักเดาช้าง ภายหลังผ่านกระบวนการอัดสารละลายด้วยระบบสูญญากาศ

### 2.3 ผลกระทบของเวลาและจำนวนครั้งการเคลือบต่อสมบัติของไบโอมอร์ฟิก SiC/C และปริมาณการสังเคราะห์ SiC ที่ผลิตได้

ผลการวิเคราะห์ด้วยเครื่อง XRD แสดง peak ของกลุ่มอะモลพ์สของคาร์บอนและ SiC จากไบโอมอร์ฟิก SiC/C ที่ระยะเวลาการอัดสารละลายโซลของ  $\text{SiO}_2$  เป็น 30, 45 และ 60 นาที หลังจากผ่านกระบวนการไฟโรไลซิสที่อุณหภูมิ  $1600^{\circ}\text{C}$  ในบรรยากาศแก๊สออกซิเจน ดังแสดงในรูปที่ 20 พบว่า Intensity peak ของ SiC มีค่าสูงขึ้นเมื่อระยะเวลาการอัดเคลือบนานขึ้น และปริมาณของ  $\text{SiO}_2$  ในโครงสร้างถ่านไม้พrun เพิ่มมากขึ้น ด้วยเหตุนี้ปริมาณการเกิด SiC ในไบโอมอร์ฟิก SiC/C จึงแปรผันตรงกับปริมาณการแทรกซึมของ  $\text{SiO}_2$  ในกระบวนการการอัดสูญญากาศ



รูปที่ 20 XRD patterns ของไบโอมอร์ฟิก SiC/C จากถ่านไม้สะเดาช้าง หลังจากผ่านกระบวนการไฟโรไลซิสที่อุณหภูมิ  $1600^{\circ}\text{C}$  ในบรรยากาศแก๊สออกซิเจน

จากการศึกษาผลกระบวนการจำแนกคริสตัลของสารละลายโซลูชัน SiO<sub>2</sub> บนผิวของถ่านไม้พ噜น์ที่อุณหภูมิไฟโรไอลซิส 1600 °C ในบรรยายการแก๊สอาร์กอน จากการวิเคราะห์ด้วยเครื่อง XRD แสดง Patterns ของการเกิดใบโอมอร์ฟิก SiC/C พบร่วมไปโอมอร์ฟิก SiC/C ที่สังเคราะห์ได้จากถ่านไม้ย่างพาราเกิด Peak ของ กราไฟต์ α - SiC และ β-SiC ซึ่ง Intensity peak ที่ปรากฏขึ้นอยู่กับจำนวนคริสตัลเพิ่มขึ้นเป็นปริมาณการเกิด SiC มากขึ้น และปริมาณการเกิดกราไฟต์ลดลงเนื่องจากในปฏิกิริยาการเกิด SiC ให้คาร์บอนเพื่อทำปฏิกิริยาเพิ่มขึ้น เมื่อมีปริมาณ SiO<sub>2</sub> เพิ่มมากขึ้นตามจำนวนคริสตัล เนื่องจากในถ่านไม้พ噜น์มีปริมาณ SiO<sub>2</sub> แทรกซึมในปริมาณมาก ทำให้ SiO<sub>2</sub> มีมากเกินพอในการทำปฏิกิริยากับคาร์บอนในถ่านไม้พ噜น์ จึงทำให้เกิด SiO<sub>2</sub> เหลืออยู่ในโครงสร้างใบโอมอร์ฟิก SiC/C ดังแสดงในรูปที่ 21 ซึ่งสอดคล้องกับผลการทดลองหัวข้อที่ 3.2.2.2 โดยอัตราส่วนเชิงโมลของ C/SiO<sub>2</sub> ต่ำกว่า 2 ซึ่งปริมาณคาร์บอนไม่เพียงพอต่อการทำปฏิกิริยากับ SiO<sub>2</sub> ด้วยเหตุนี้จึงเหลือ SiO<sub>2</sub> อยู่ในโครงสร้างของใบโอมอร์ฟิก SiC/C ที่สังเคราะห์จากถ่านไม้ย่างพารา

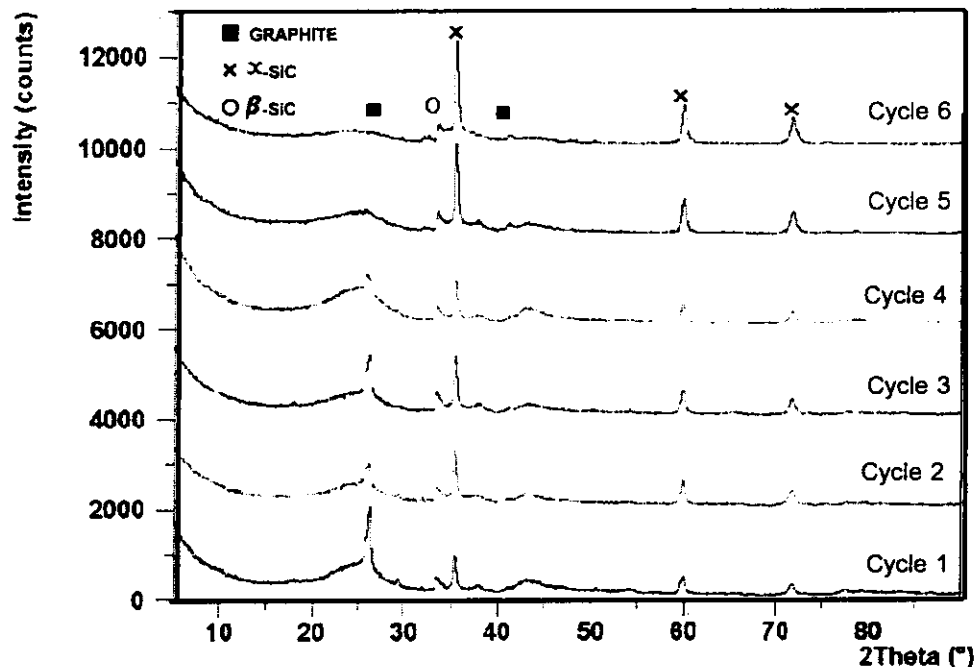
จากการวิเคราะห์ผลการทดลองหัวข้อต้น จำนวนคริสตัลที่เหมาะสมในการสังเคราะห์ใบโอมอร์ฟิก SiC/C จากถ่านไม้ย่างพาราคือ 6 คริสตัล เนื่องจาก Intensity peak ของ SiC เต้นขัดที่สุด ในส่วนของใบโอมอร์ฟิก SiC/C จากถ่านไม้ย่างพาราจำนวนคริสตัลที่เหมาะสมคือ 3 คริสตัล เนื่องจากไม่ปรากฏ SiO<sub>2</sub> ใน peak ของ XRD Pattern ซึ่งเป็นการเกิดปฏิกิริยาที่สมบูรณ์ในการสังเคราะห์ใบโอมอร์ฟิก SiC/C

โครงสร้างภายในของใบโอมอร์ฟิก SiC/C ของถ่านไม้ย่างพารา หลังกระบวนการไฟโรไอลซิสที่ อุณหภูมิ 1600 °C ที่ผ่านการเคลือบจำนวน 1 3 และ 6 คริสตัล พบร่วมเมื่อจำนวนคริสตัลเพิ่มขึ้น บริเวณผนังผิวภายในมีความหนาเพิ่มขึ้น ซึ่งสอดคล้องกับผลการวิเคราะห์ XRD Patterns ดังแสดงในรูป 21 ทั้งนี้ยังพบการเกิดเส้นใย SiC ที่มีขนาดระดับนาโนเมตรบริเวณผนังของห้องลำเลียงและบริเวณรูพูนขนาดใหญ่ ดังแสดงในรูปที่ 23

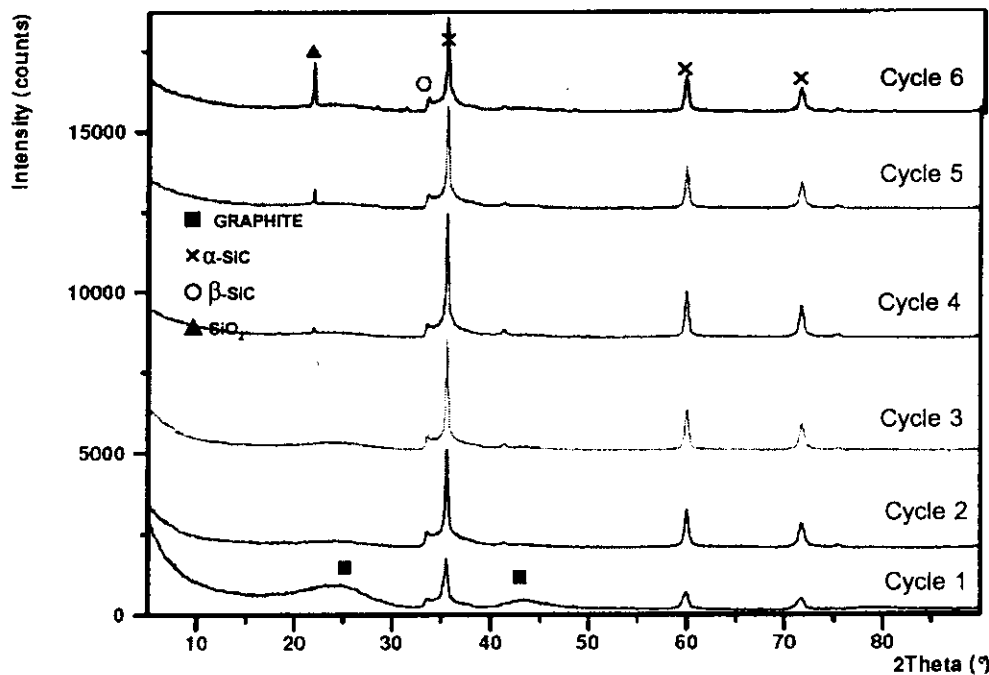
จากการศึกษางานวิจัยที่เกี่ยวข้องพบว่าปฏิกิริยาการเกิด SiC Nanowires มีกระบวนการการดังต่อไปนี้ เกิดกระบวนการ Catalyst จากสิ่งเจือปน ทำให้เกิดกระบวนการ Nucleation ขึ้น หลังจากนั้น เกิดการเจริญเติบโตของ Nanowire ด้วยกลไกของปฏิกิริยาของแข็ง ของเหลว และแก๊ส (Vapor-Liquid-Solid; VLS) ซึ่งในกระบวนการเกิด SiC Nanowire ต้องอาศัย Si หรือ Fe เป็นตัวเร่งปฏิกิริยา

โครงสร้างภายในของใบโอมอร์ฟิก SiC/C ของถ่านไม้ย่างพารา หลังกระบวนการไฟโรไอลซิสที่ อุณหภูมิ 1600 °C ที่ผ่านการเคลือบจำนวน 4 5 และ 6 คริสตัล พบร่วม ก็ได้โครงสร้าง SiC และ SiO<sub>2</sub> ลักษณะ

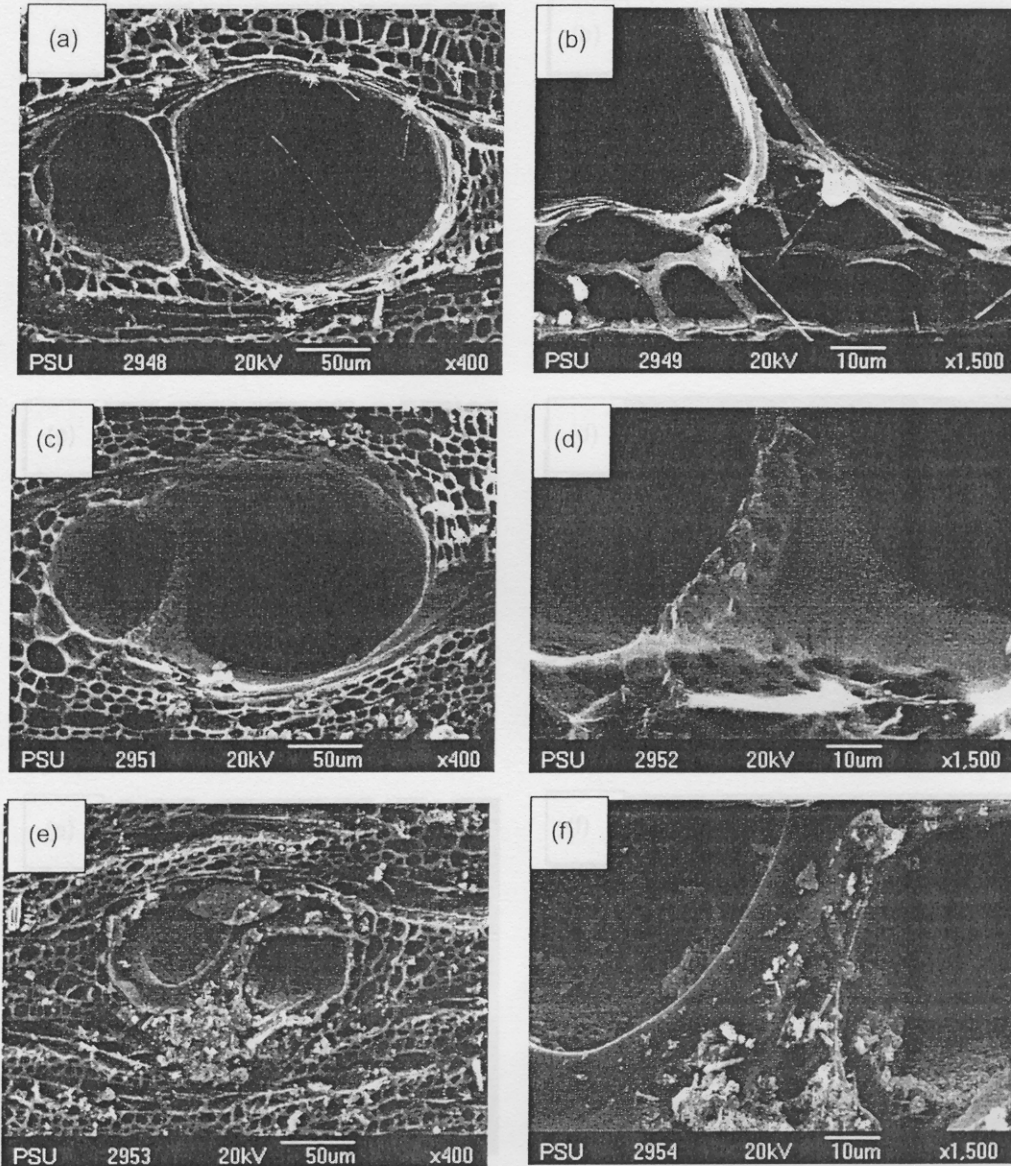
อนุภาคทรงกลมและเส้นใย SiC ซึ่งแตกต่างกับอนุภาคของ SiC ในไบโอมอร์ฟิก SiC/C ของถ่านไม้ย่างพารา ดังแสดงในรูปที่ 24



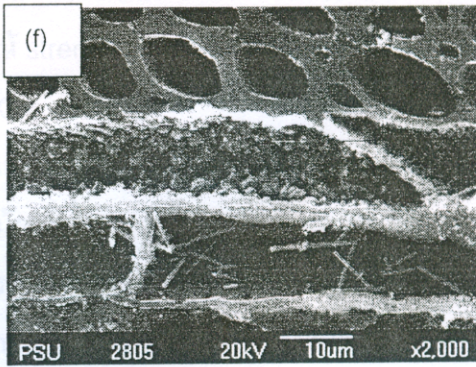
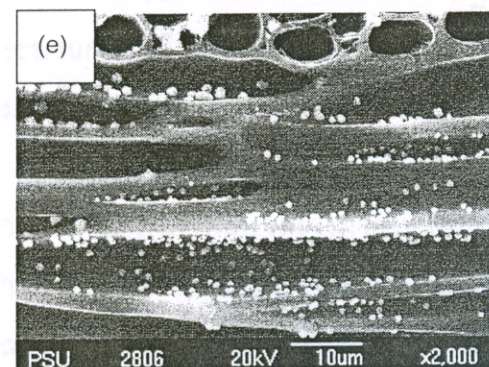
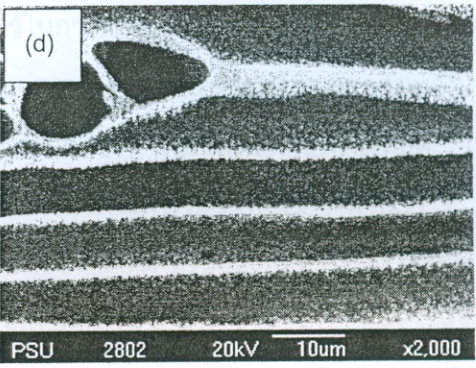
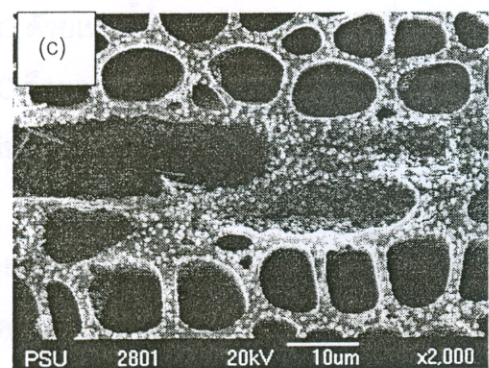
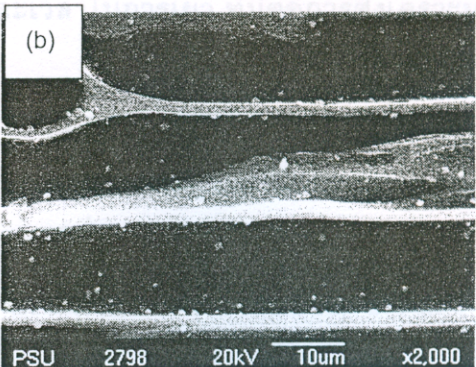
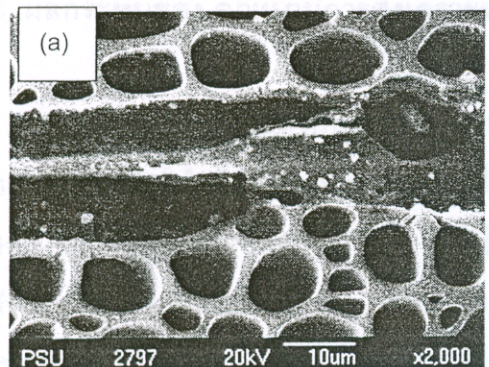
รูปที่ 21 XRD Patterns แสดงการเกิดไบโอมอร์ฟิก SiC/C ของถ่านไม้ย่างพาราตามจำนวนครั้งการเคลือบของสารละลายน้ำของ  $\text{SiO}_2$  ที่อุณหภูมิไฟโรไรสชีส  $1600\text{ }^{\circ}\text{C}$



รูปที่ 22 XRD Patterns แสดงการเกิดไบโอมอร์ฟิก SiC/C ของถ่านไม้世家ช้างตามจำนวนครั้งการเคลือบของสารละลายน้ำของ  $\text{SiO}_2$  ที่อุณหภูมิไฟโรไรสชีส  $1600\text{ }^{\circ}\text{C}$



รูปที่ 23 ภาพถ่าย SEM แสดงโครงสร้างภายในของไบโอมอร์ฟิก SiC/C ของถ่านไม้ย่างพารา หลังกระบวนการไฟโรไรซิสที่อุณหภูมิ  $1600^{\circ}\text{C}$  ที่จำนวนการเคลือบ 1 ครั้ง (a และ b) จำนวนการเคลือบ 3 ครั้ง (c และ d) จำนวนการเคลือบ 6 ครั้ง (e และ f)



**รูปที่ 24** ภาพถ่าย SEM แสดงโครงสร้างภายในของไบโอมอร์ฟิก SiC/C ของถ่านไม้สะเดาซาง หลังกระบวนการไฟโรไลซิสที่อุณหภูมิ  $1600^{\circ}\text{C}$  ที่จำนวนการเคลือบ 4 ครั้ง (a และ b) จำนวนการเคลือบ 5 ครั้ง (c และ d) จำนวนการเคลือบ 6 ครั้ง (e และ f)

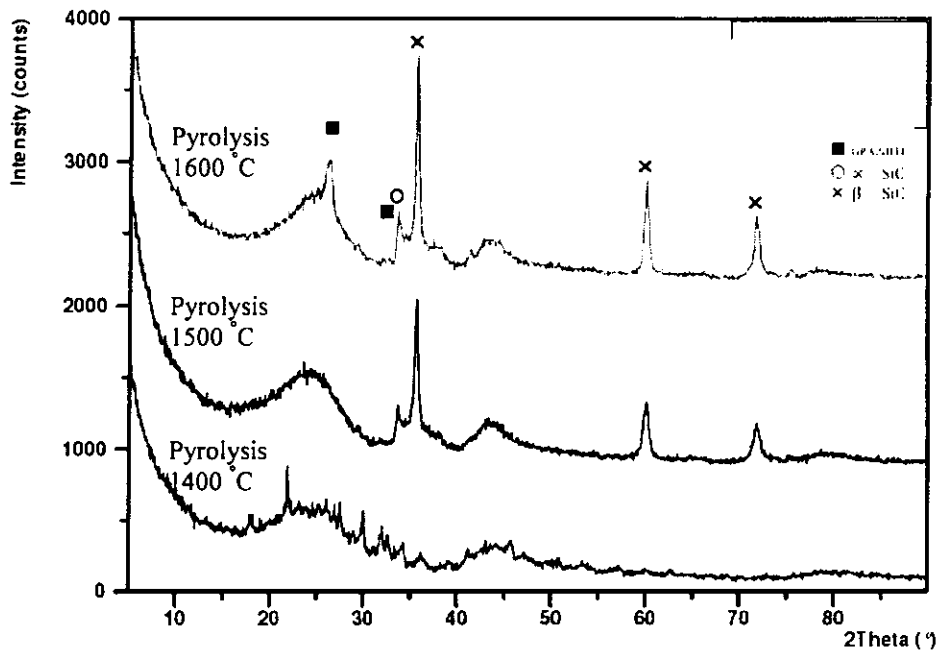
### 3. ผลการทบทวน อุณหภูมิการสังเคราะห์ และเวลาในการเผา ที่มีต่อการสังเคราะห์ SiC พรุน

จากการวิเคราะห์ใบไอมอร์ฟิก SiC/C ด้วยเครื่อง XRD พบว่าใบไอมอร์ฟิก SiC/C ที่ผ่านกระบวนการการไฟโรไอลซิสที่อุณหภูมิ  $1400^{\circ}\text{C}$  ไม่สามารถแปรผลลัพธ์ข้อมูลได้ เมื่อจากไปปะก្យ intensity peak ของ SiC จึงสรุปได้ว่าอุณหภูมิ  $1400^{\circ}\text{C}$  เป็นอุณหภูมิที่ไม่เหมาะสมในการสังเคราะห์สารดังกล่าว และในส่วนของอุณหภูมิไฟโรไอลซิส  $1500$  และ  $1600^{\circ}\text{C}$  ปะก្យ peak ของ กราไฟต์  $\alpha$ -SiC และ  $\beta$ -SiC ดังแสดงในรูปที่ 25 ซึ่งค่า intensity peak ที่อุณหภูมิไฟโรไอลซิส  $1600^{\circ}\text{C}$  มีปริมาณการเกิดมากกว่าที่อุณหภูมิ  $1500^{\circ}\text{C}$  ด้วยเหตุนี้จึงสรุปได้ว่าอุณหภูมิที่เหมาะสมที่ใช้ในการสังเคราะห์ใบไอมอร์ฟิก SiC/C คืออุณหภูมิ  $1600^{\circ}\text{C}$  ซึ่งผลการทดลองดังกล่าวเป็นไปตามการคำนวณทางอุณหพลศาสตร์ โดยอาศัยหลักการของพลังงาน กิบส์ต่ำสุด (Gibbs energy minimization) จะมีความเสถียรทางอุณหพลศาสตร์สูงที่สุด

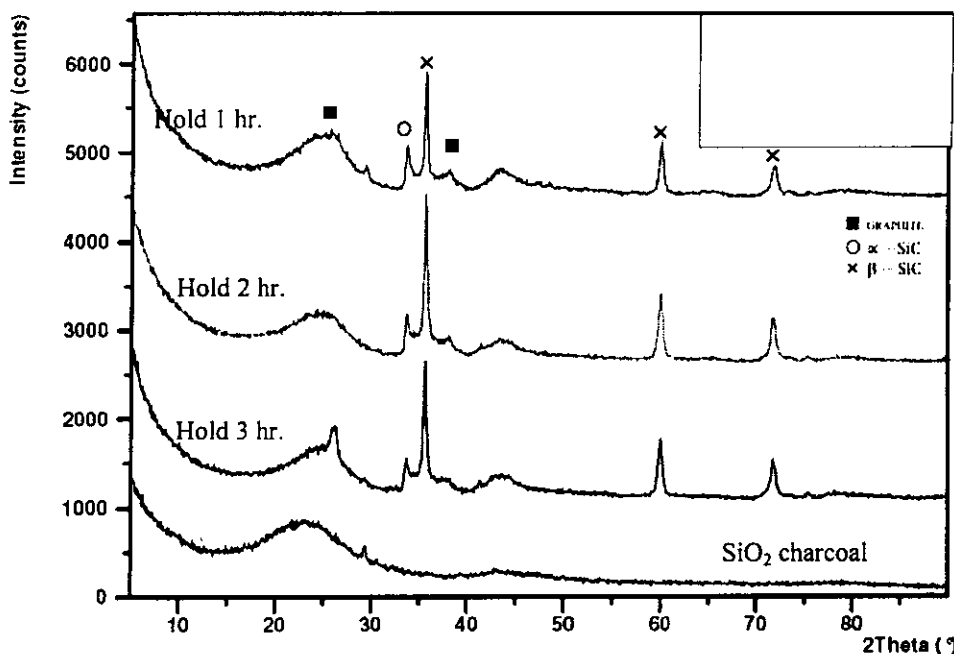
จากการศึกษาละเอียดในการบ่ม ในกระบวนการไฟโรไอลซิสที่อุณหภูมิ  $1600^{\circ}\text{C}$  ที่มีผลต่อสมบัติ ของใบไอมอร์ฟิก SiC/C ดังแสดงในรูปที่ 26 พบว่าค่า intensity ที่ระย deleاستการบ่ม 2 และ 3 ชั่วโมงปะก្យ โครงสร้างของ  $\alpha$ -SiC และ  $\beta$ -SiC เต้นชัดที่ระย deleاستการบ่ม 1 ชั่วโมง จากการวิเคราะห์ข้อมูลข้างต้น เมื่อระย deleاستการบ่มเพิ่มมากขึ้นทำให้เกิดปฏิกิริยาการเปลี่ยนโครงสร้างของ  $\alpha$ -SiC เป็น  $\beta$ -SiC ซึ่งกระบวนการเปลี่ยนเฟสของสารดังกล่าว ส่งผลให้ strength เพิ่มมากขึ้น การ sintering ดีขึ้น เป็นการเพิ่มสมบัติการทนต่อการขัดสีให้แก่ใบไอมอร์ฟิก SiC/C

ภาพถ่าย SEM แสดงลำดับขั้นตอนในกระบวนการสังเคราะห์ใบไอมอร์ฟิก SiC/C จากถ่านไม้ย่างพารา แสดงภาพโครงสร้างภายในของถ่านไม้ย่างพารา (a, b และ c) การแทรกซึมของ  $\text{SiO}_2$  ในถ่านไม้ย่างพารา (d และ e) ใบไอมอร์ฟิก SiC/C หลังกระบวนการไฟโรไอลซิสที่อุณหภูมิ  $1600^{\circ}\text{C}$  (f, g และ h) ดังแสดงในรูปที่ 27 และภาพถ่ายแสดงโครงสร้างภายในของถ่านไม้สะเดาช้าง (a, b และ c) ใบไอมอร์ฟิก SiC/C หลังกระบวนการไฟโรไอลซิสที่อุณหภูมิ  $1600^{\circ}\text{C}$  (d, e และ f) จากภาพพบว่าเกิดการจับตัวกันเป็นผังเคลือบอยู่บนผิวของตัวอย่างที่สังเคราะห์ขึ้น ดังแสดงในรูปที่ 28

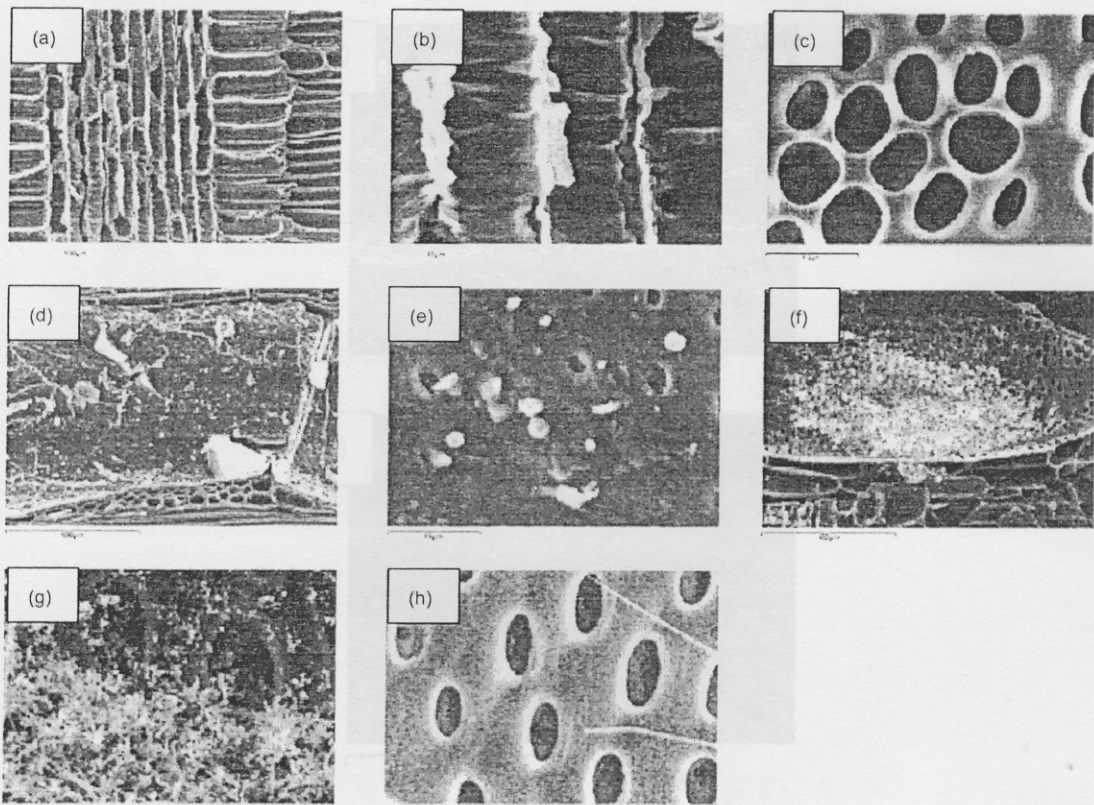
ภาพ SEM และ X-ray mapping ของใบไอมอร์ฟิก SiC/C ผลวิเคราะห์ดังกล่าวพบว่า SiC ที่สังเคราะห์ได้นั้น จะเกิดมากที่บริเวณห่อจำเลียงของเซลล์พืชชิ้งกีบบริเวณผิวของผังท่อจำเลียงที่เป็นจุดสัมผัสของผิว  $\text{SiO}_2$  และคาร์บอน โดยอาศัยแรงคายพลารีเพื่อให้สารละลายโซลูชัน  $\text{SiO}_2$  แทรกซึมผ่านทางห่อจำเลียงน้ำและอาหารของพืช ดังแสดงในรูปที่ 29 30 และ 31



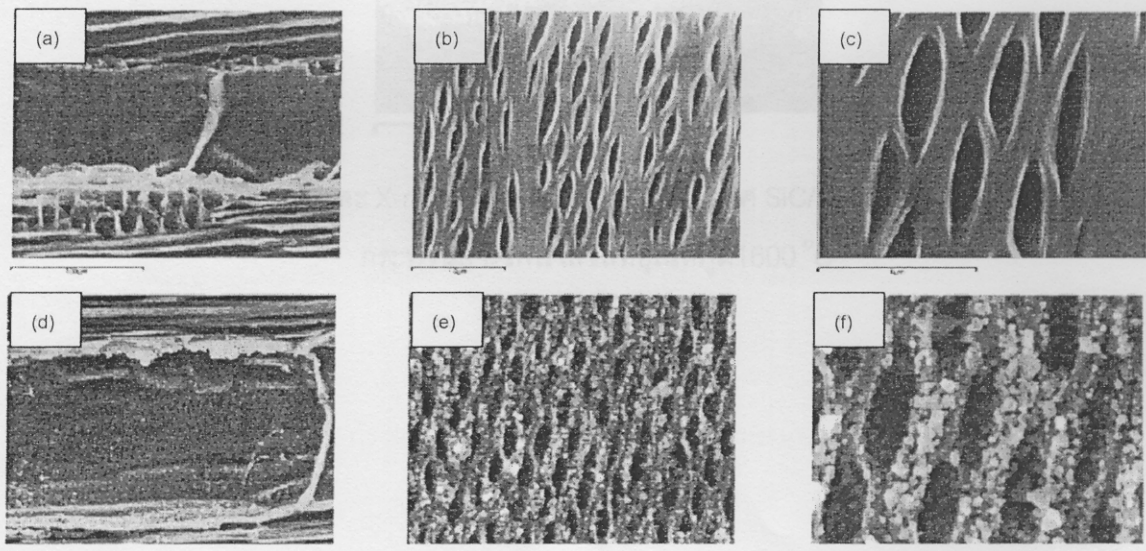
รูปที่ 25 XRD Patterns แสดงการเกิดไบโอมอร์ฟิก SiC/C ของถ่านไม้ย่างพารา จำนวนการเคลือบ 3 ครั้ง  
ที่อุณหภูมิไฟโรไลซิส 1400 1500 และ 1600 °C



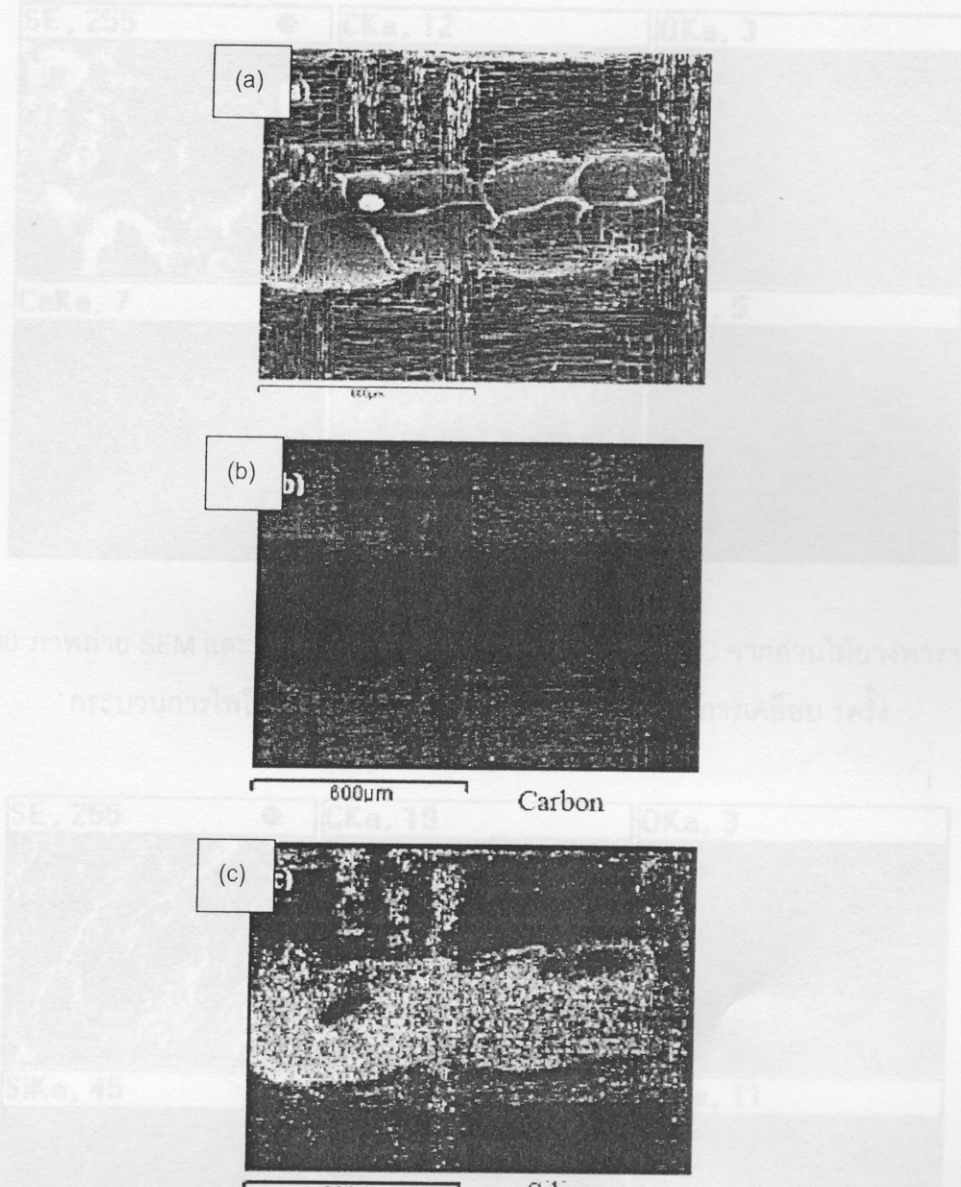
รูปที่ 26 XRD Patterns แสดงการเกิดไบโอมอร์ฟิก SiC/C ของถ่านไม้ย่างพารา จำนวนการเคลือบ 3 ครั้ง  
ที่อุณหภูมิไฟโรไลซิส 1600 °C ที่ระยะเวลาการปั่น 1 2 และ 3 ชั่วโมงตามลำดับ



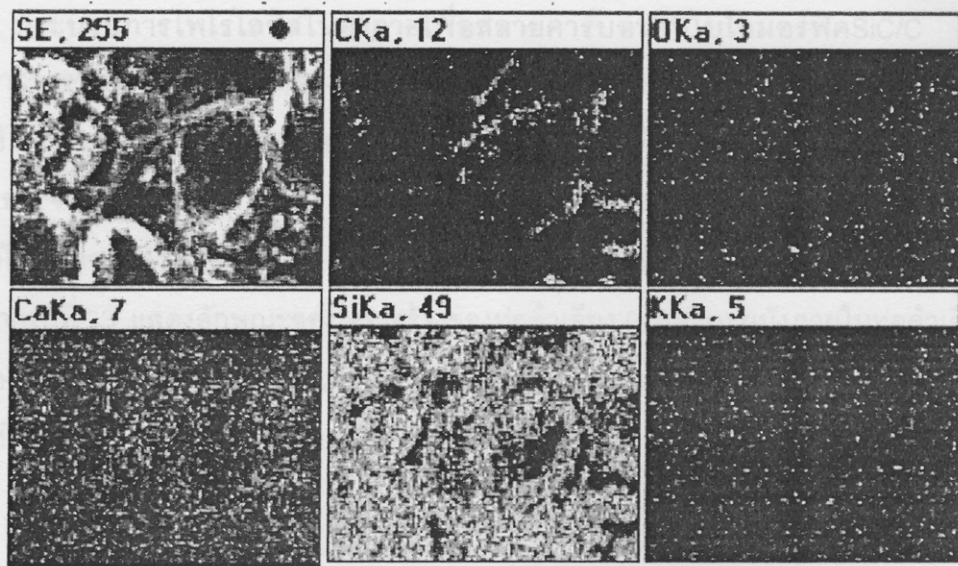
รูปที่ 27 ภาพถ่าย SEM แสดงโครงสร้างภายในของถ่านไม้ยางพารา (a, b และ c) การแทรกซึมของ  $\text{SiO}_2$  ในถ่านไม้ยางพารา (d และ e) ไปโอมอร์ฟิก SiC/C หลังกระบวนการไฟโรไอลซิสที่อุณหภูมิ  $1600\text{ }^\circ\text{C}$  (f, g และ h)



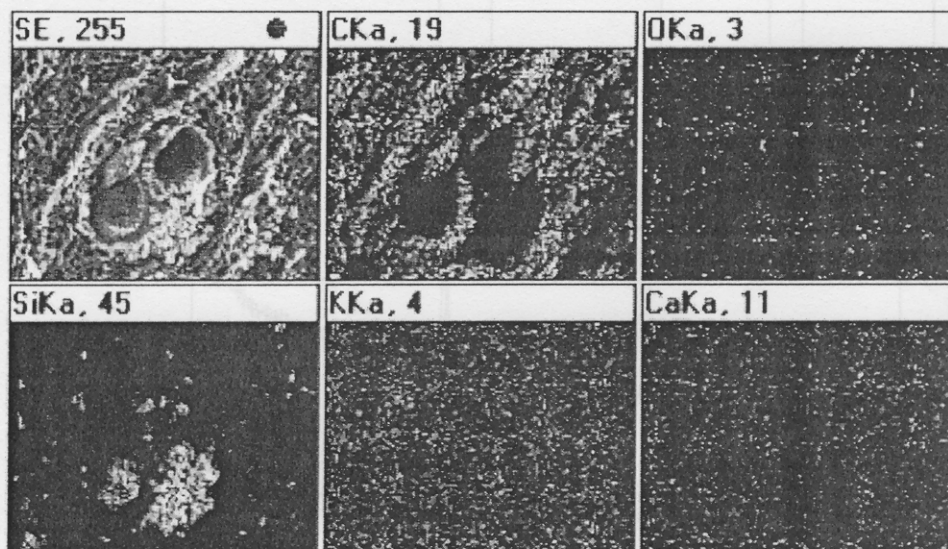
รูปที่ 28 ภาพถ่าย SEM แสดงโครงสร้างภายในของถ่านไม้世家เดช (a, b และ c) ไปโอมอร์ฟิก SiC/C หลังกระบวนการไฟโรไอลซิสที่อุณหภูมิ  $1600\text{ }^\circ\text{C}$  (d, e และ f)



รูปที่ 29 ภาพถ่าย SEM และ X-ray mapping ของไบโอมอร์ฟิก SiC/C จากถ่านไม้ย่างพารา ที่ผ่านกระบวนการไฟโรไลซิสที่อุณหภูมิ  $1600^{\circ}\text{C}$



รูปที่ 30 ภาพถ่าย SEM และ X-ray mapping ของไบโอมอร์ฟิก SiC/C จากถ่านไม้ย่างพารา ที่ผ่านกระบวนการไฟโรไลซิสที่อุณหภูมิ  $1600^{\circ}\text{C}$  ที่จำนวนรอบการเคลือบ 1 ครั้ง

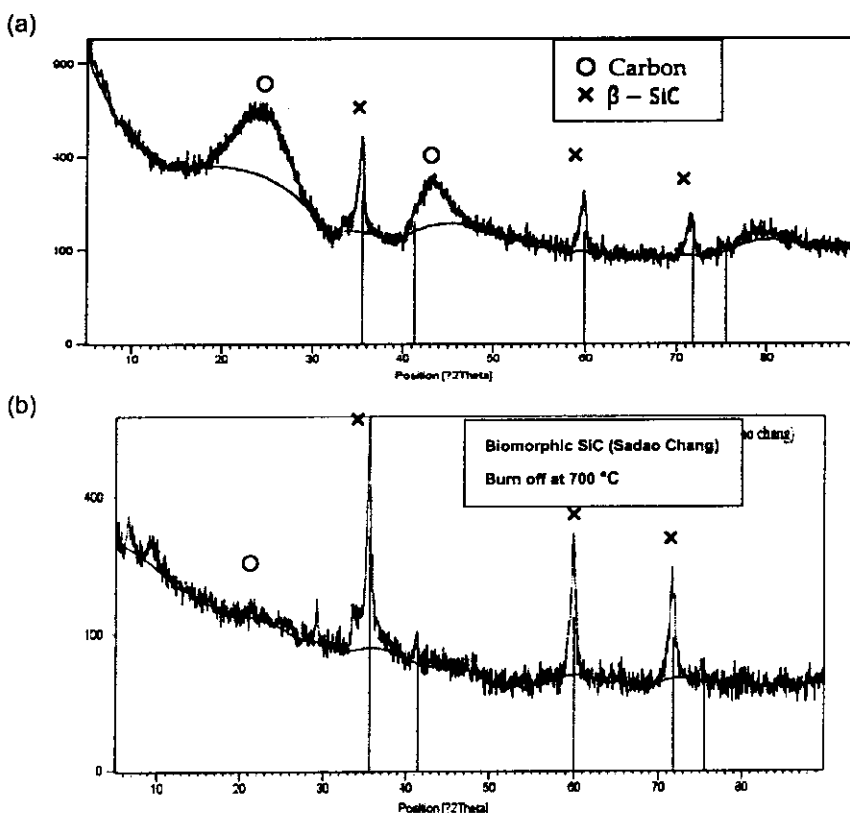


รูปที่ 31 ภาพถ่าย SEM และ X-ray mapping ของไบโอมอร์ฟิก SiC/C จากถ่านไม้ย่างพารา ที่ผ่านกระบวนการไฟโรไลซิสที่อุณหภูมิ  $1600^{\circ}\text{C}$  ที่จำนวนรอบการเคลือบ 6 ครั้ง

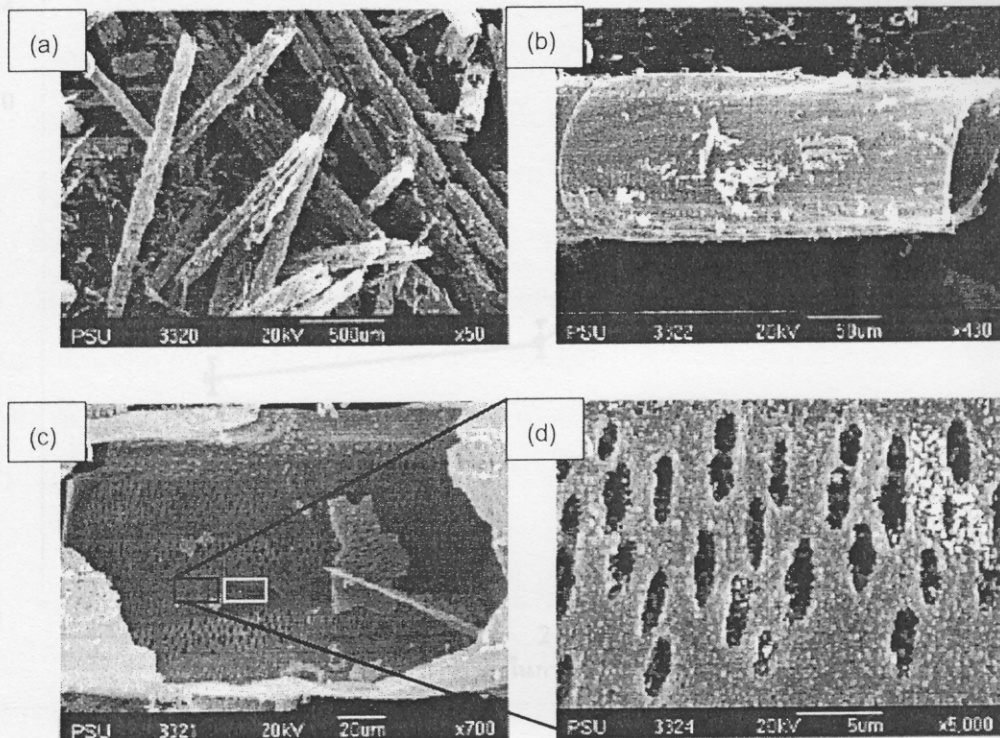
#### 4. กระบวนการไฟโรไลซ์ในอากาศเพื่อสลายคาร์บอนในไบโอมอร์ฟิก SiC/C

จากการวิเคราะห์ผลการทดลองด้วยเครื่อง XRD แสดง XRD pattern ของ ไบโอมอร์ฟิก SiC/C ของไม้สักเดาซ้างที่ผ่านกระบวนการเผาในอากาศ ที่อุณหภูมิ 700 °C ตั้งแสดงในรูปที่ 32 (b) ไม่ปรากฏ peak ของคาร์บอน จึงสรุปได้ว่าสามารถทำการไฟโรไลซ์ช้ำเพื่อสลายคาร์บอน ในไบโอมอร์ฟิก SiC/C ที่สังเคราะห์ได้ ซึ่งภายหลังจากการกำจัดคาร์บอน จะเหลือเพียง ไบโอมอร์ฟิก SiC

จากรูปที่ 33 แสดงลักษณะของโครงสร้างของห่อคำเลี้ยง (a และ b) ผนังภายในห่อคำเลี้ยงเซลล์ (c และ d) ของไบโอมอร์ฟิก SiC จากไม้สักเดาซ้างเมื่อเปรียบเทียบกับรูปที่ 25 พบว่ายังคงลักษณะของห่อคำเลี้ยงที่เป็น SiC ไว้ แต่โครงสร้างคาร์บอนถูกเผาสลายตัวไป



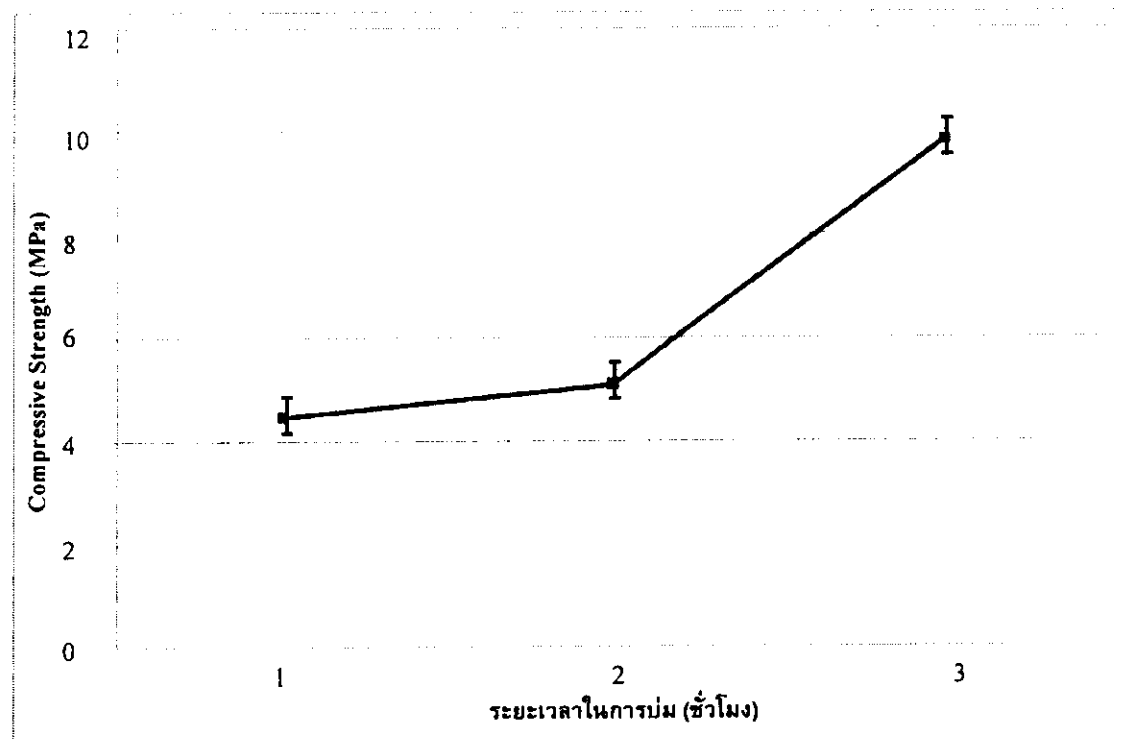
รูปที่ 32 XRD pattern ของ (a) ไบโอมอร์ฟิก SiC/C ของไม้สักเดาซ้าง (b) ไบโอมอร์ฟิก SiC ที่ผ่านกระบวนการไฟโรไลซ์ในอากาศเพื่อสลายคาร์บอน ที่อุณหภูมิ 700 °C



รูปที่ 33 ภาพถ่าย SEM โครงสร้างของท่อลำเลียง (a และ b) ผนังภายในท่อลำเลียง (c และ d) ไบโอมอร์ฟอิฟิค SiC/C จากไม้สักเดาซัง ที่ผ่านกระบวนการเผาเพื่อスタイルคาร์บอนอุณหภูมิ  $700^{\circ}\text{C}$

### 5. การทดสอบสมบัติการต้านทานแรงกด (Compressive Strength)

เพื่อเป็นการทดสอบ Compressive Strength ของตัวอย่างไบโอมอร์ฟิค SiC/C จากถ่านไม้ยานพารา ที่อุณหภูมิไฟโลไซด์  $1600^{\circ}\text{C}$  ที่ระยะเวลาการบ่ม 1, 2 และ 3 ชั่วโมง อย่างละ 5 ชิ้น ถูกนำมาทดสอบ ได้ผลดังแสดงในรูปที่ 34 โดยพบว่า Compressive Strength มีค่าเพิ่มขึ้น เมื่อระยะเวลาการบ่มเพิ่มขึ้น ซึ่งแสดงให้เห็นว่า SiC ก่อรูปมากขึ้น เมื่อเวลาการบ่มสูงขึ้น และที่เวลาการบ่ม 3 ชม.  $\alpha$ -SiC มีค่า Intensity สูงที่สุด และมีระยะเวลาในการเผาอบผนังมากที่สุด ทั้งนี้ผลการทดสอบดังกล่าวเป็นค่าเฉลี่ยของข้อมูล โดยมีข่วงของค่า Compressive Strength  $\pm 10\%$



รูปที่ 34 แสดงกราฟความสัมพันธ์ของ Compressive Strength ของไบโอมอร์ฟิก SiC/C จากถ่านไม้ยางพารา ที่อุณหภูมิไฟโรไลซิส  $1600^{\circ}\text{C}$  ที่ระยะเวลาการปั้น ต่างๆ

## สรุปผล

โครงการวิจัยนี้เป็นการศึกษาการสังเคราะห์ใบโอมอร์ฟิก SiC/C จากถ่านไม้ยางพาราและไม้สักเดาซ้าง โดยอาศัยกระบวนการกรอง-เจล ในการเตรียมสารละลายของ  $\text{SiO}_2$  เพื่อนำไปเคลือบบนผิวของถ่านไม้ซึ่งสามารถควบคุมอัตราส่วนเชิงโมลของ  $\text{C/SiO}_2$  จากจำนวนครั้งและเวลาในการเคลือบ แล้วทำการสังเคราะห์ด้วยกระบวนการไฟโรไอลซิส ด้วยเตาเผาอุณหภูมิสูง ในบรรยากาศแก๊สออกซิเจน อีกทั้งยังศึกษาสมบัติเชิงกล นั้นคือ ความแข็งแรงในการกด โดยตัวแปรที่ทำการศึกษาในงานวิจัยนี้ประกอบด้วย สภาพที่เหมาะสมในการผลิตถ่านไม้พรุน ระยะเวลาและจำนวนครั้งในการเคลือบของสารละลายโซลของ  $\text{SiO}_2$  ที่มีต่อปริมาณการแทรกซึมของ  $\text{SiO}_2$  อุณหภูมิและระยะเวลาในการสังเคราะห์ใบโอมอร์ฟิก SiC/C ในกระบวนการไฟโรไอลซิส ผลการศึกษาสรุปได้ดังนี้

1. “ไม้ยางพาราและไม้สักเดาซ้าง” สามารถสังเคราะห์ถ่านไม้พรุน ด้วยกระบวนการไฟโรไอลซิส ที่อุณหภูมิ  $800^{\circ}\text{C}$  ในบรรยากาศแก๊สออกซิเจน ทั้งนี้ในกระบวนการไฟโรไอลซิส เมื่อใช้อัตราการเพิ่มอุณหภูมิอย่างช้า จะทำให้ได้โครงสร้างถ่านไม้พรุนที่คงรูปเดิม และไม่เกิดรอยแตก

2. กระบวนการสังเคราะห์ถ่านไม้ยางพาราและไม้สักเดาซ้าง พบร่องรอยของการเพิ่มของอุณหภูมิที่เหมาะสมที่สามารถผลิตถ่านไม้ที่มีคุณภาพดี อีกทั้งยังเป็นการลดต้นการผลิต คือ อัตราการเพิ่ม  $10^{\circ}\text{C}$  ต่อนาทีจากอุณหภูมิ  $25\text{-}70^{\circ}\text{C}$  อัตราการเพิ่ม  $3^{\circ}\text{C}$  ต่อนาที จนถึงอุณหภูมิ  $500^{\circ}\text{C}$  และอัตราการเพิ่ม  $5^{\circ}\text{C}$  ต่อนาที จนถึงอุณหภูมิ  $800^{\circ}\text{C}$  หลังจากนั้นปล่อยให้เย็นตัวสู่อุณหภูมิห้อง ในบรรยากาศแก๊สออกซิเจน

3. จากกระบวนการไฟโรไอลซิส พบร่องรอยแบบการแตกหักที่แตกต่างของไม้ทั้งสองชนิด ซึ่งไม่สังเคราะห์ซึ่ง มีการปรับแตกตามแนวเซลลูลอสเนื่องมาจากลักษณะท่อลำเลียงภายในของไม้สักเดาซ้างมีขนาดใกล้เคียงกัน ทำให้ความตึงเครียดภายในระหว่างพื้นผิวภายนอกและภายในแตกต่างกันเล็กน้อย จึงทำให้การปรับแตกไม่รุนแรง แต่ในไม้ยางพารา มีการแตกหักแบบผ่าตัดตามแนวเซลลูลอส เนื่องมาจากความเครียดภายในและภายนอกมีความแตกต่างกันมาก สงผลให้เกิดการปรับแตกรุนแรงกว่าไม้สักเดาซ้าง

4. ระยะเวลาในการอัดสารละลายโซลของซิลิกอนไดออกไซด์ และจำนวนครั้งการเคลือบเป็นปัจจัยหนึ่งที่มีผลต่อปริมาณการเกิด SiC ของใบโอมอร์ฟิก SiC/C ภายหลังกระบวนการสังเคราะห์ที่อุณหภูมิ  $1600^{\circ}\text{C}$  โดยระยะเวลาที่ดีที่สุดสำหรับการอัดเคลือบสารละลาย SiC บนถ่านไม้ยางพารา และถ่านไม้สักเดาซ้างคือ 60 นาที และจำนวนครั้งที่ให้ผลการสังเคราะห์ SiC ดีที่สุด สำหรับถ่านไม้ยางพารา และถ่านไม้สักเดาซ้าง คือ จำนวน 6 และ 3 ครั้ง

5. อุณหภูมิที่เหมาะสมที่ใช้ในการสังเคราะห์ใบโอมอร์ฟิก SiC/C คืออุณหภูมิ  $1600^{\circ}\text{C}$  ซึ่งผลการทดลองดังกล่าวแสดงถึงการคำนวณทางอุณหพลศาสตร์ โดยอาศัยหลักการของพลังงานกินสัมฤทธิ์ (Gibbs energy minimization) จะมีความเสถียรทางอุณหพลศาสตร์สูงที่สุด ที่อุณหภูมิสูงกว่า  $1500^{\circ}\text{C}$

6. ที่กระบวนการไฟฟ์โอลซิสที่อุณหภูมิ  $1600^{\circ}\text{C}$  ระยะเวลาการบ่มเป็นปัจจัยสำคัญในการเกิดโครงสร้างของ  $\alpha\text{-SiC}$  และ  $\beta\text{-SiC}$  พนงว่า เมื่อระยะเวลาการบ่มเพิ่มมากขึ้นทำให้เกิดปฏิกิริยาการเปลี่ยนโครงสร้างของ  $\beta\text{-SiC}$  เป็น  $\alpha\text{-SiC}$  ซึ่งกระบวนการเปลี่ยนเฟสของสารตั้งกล่าว สงผลให้ความแข็งแรงลดเพิ่มมากขึ้น
7. ใบโอมอร์ฟิค  $\text{SiC/C}$  ที่สังเคราะห์ได้ เมื่อจำนวนรั้นการเคลือบเพิ่มขึ้นปริมาณการเกิด  $\text{SiC}$  มากขึ้น และปริมาณกราไฟต์ลดลงเนื่องจาก ในปฏิกิริยาการเกิด  $\text{SiC}$  ใช้คาร์บอนเพื่อทำปฏิกิริยาเพิ่มขึ้น เมื่อมีปริมาณ  $\text{SiO}_2$  เพิ่มมากขึ้นตามจำนวนครั้งการเคลือบ โดยจำนวนการเคลือบที่ดีที่สุด ที่สงผลให้ได้ผลลัพธ์ในการสังเคราะห์เป็นใบโอมอร์ฟิค  $\text{SiC/C}$  จากถ่านไม้ย่างพาราและถ่านไม้สะเตาซึ่ง คือ 6 และ 3 ครั้ง เมื่อจำนวนการเคลือบมากขึ้นกว่าค่าเหล่านี้จะสงผลให้มีเชิงลักษณะเหลืออยู่ในผลิตภัณฑ์

## បរចាំនាក្រម

- Andreas H., Raoul K., Ulrich V. and Thomas G. (2004) "Wood-Derived Porous SiC Ceramics by Sol Infiltration and Carbothermal Reduction", J.Am Ceram Soc., 87(5), 784-793
- Asomoza M., Dominguez M.P., Solis S., Lopez T. (1997) "Calorimetric study of the sol-gel gelation stage: Effect of gelation pH", Mat. L. 33, 153-160
- Byrne C.E. and Nagle D.C.V (1997) "Carbonization of wood for advanced materials applications", Carbon, 35(2),259-266
- Byrne C.E. and Nagle D.C. (1997) "Carbonization of wood for advanced materials applications", Carbon, 35(2), 259-266.
- Byung-Ho Y., Chee-Sung P. and Hyoun-Ee K. (2007) "In situ synthesis of porous carbide(SiC) ceramics decorated with SiC nanowires", J. Am. Ceram. Soc, 1-8
- Greil P.(1998) "Biomorphic cellular silicon carbide ceramics from wood:1", Processing and Microstructure, J. Euro.Ceram. Soc. 18 , 1961-1973
- Greil P.(1999) "Near net shape manufacturing of ceramics", Mat. Che. Phy., 61, 64-68
- Greil P. (2001) "Biomorphic Ceramics from Lignocellulosics", J. Euro. Ceram. Soc. 21 , 105-118
- Qian J., Wang J. and Jin Z. (2004) "Preparation of biomorphicSiC ceramic by carbothermal reduction of oak woodcharcoal", Mat. Sci. Eng. A, 371, 299-235
- Naggle C. and Byrne E. (1998) "Carbonized wood and Materials formed therefrom", United States Patent,Appl. No.: 09/220,868, Dec. 23
- Qian, J. Wang, J. and Jin, Z. (2004) "Preparation of biomorphic SiC ceramic by carbothermal reduction of oak wood charcoal", Mat. Sci. Eng. A. , 371, 299-235
- Qian, J. Wang, J. and Jin, Z. (2004) "Preparation of porous SiC ceramic with a woodlike microstructure by sol-gel and carbothermal reduction processing", Mat. Sci. Eng. A., 24, 3251-3259
- Qian, J. Wang, Jin H. Zhi. (2005) "Preparation and characterization of porous, biomorphic SiC ceramic with hybrid pore structure", Mat. Sci. Eng. A.
- Rambo C.R., Rusina J.Cao, O., Sieber H. (2005) "Manufacturing of biomorphic (Si,Ti,Zr)-carbideceramics by sol-gel processing", Carbon 43, 1174-1183
- Teresa L. Y., Cheung and Dicko H. L. (2007) "Conversation of bamboo to Biomorphic Composites containing Silica and Silicon Carbide Nanowires", J. Am. Ceram. Soc, 90(2), 559-564

- Toshitaka O., Minoru T., Toshiyuki H., Masakuni O., Suguru S. and Yasuo Hikichi. (1995) Biomimetic Process for Producing SiC "wood", J. Am. Ceram. Soc, 78, (12), 3409-3411
- Vogli E., Mukerji J., Hoffman C., Kladny R., Sieber H. and Greil P. (2001) "Conversation of Oak to Cellular Silicon Carbide Ceramic by Gas-Phase Reaction with Silicon Monoxide", J. Am. Ceram. Soc, 84(6), 1236-1240
- Vix-Guterl C., Ehrburger P. (1997) "Effect of the properties of a carbon substrate on its reaction with silica for silicon carbide formation", Carbon Vol. 35, 10-11, 1587-1592

## ภาคผนวก

### เอกสารแนบ 1

R. Chewawutipong, N. Memongkol , J. Wannasin, and S. Niyomwas, "Synthesis and Characterization of Porous Carbon from Natural Woods", Proc. of Inter. Conf. on Mining, Materials, and Petroleum Engineering: The Frontiers of Technology (ICFT-2007), Phuket, Thailand, May 10-12, 2007, pp. 164-168.

### เอกสารแนบ 2

R. Chewawutipong, N. Memongkol , J. Wannasin, and S. Niyomwas, "Synthesis of Biomorphic SiC/C Ceramics from Natural Woods", Proc. of The 5<sup>th</sup> Eco-Energy and Materials Science and Engineering Symposium (5<sup>th</sup> EMSES), Pataya, Thailand, Nov. 21-24, 2007, pp. 104-109

## Synthesis and Characterization Of Porous Carbon from Natural Woods

Ruthawan Chewawutipong<sup>1</sup>, Napisorn Memongkol<sup>2</sup>, Jessada Wannasin<sup>3</sup>, Sutham Niyomwas<sup>4\*</sup>

<sup>1,2</sup>Department of Mining and Materials Engineering, Faculty of Engineering, Prince of Songkla University, Hat Yai, 90112

<sup>2</sup>Department of Industrial Engineering, Faculty of Engineering, Prince of Songkla University, Hat Yai, 90112

<sup>3</sup>Department of Mechanical Engineering, Faculty of Engineering, Prince of Songkla University, Hat Yai, 90112

E-mail: suthum.n@psu.ac.th

### Abstract

The purpose of this study was to develop method of carbonizing woods for producing porous carbon. The para-rubber wood and sadao-chang wood were used as precursors. The charcoal was heat-treated at heating rate of  $10^{\circ}\text{C min}^{-1}$  from room temperature to  $70^{\circ}\text{C}$ ,  $3^{\circ}\text{C min}^{-1}$  applied up to  $500^{\circ}\text{C}$ ,  $5^{\circ}\text{C min}^{-1}$  applied up to  $800^{\circ}\text{C}$  and cooling down to room temperature with flowing argon gas. The effects of temperature and heating rate on carbonization of wood were discussed. The result products were characterized by SEM and TGA. The carbonized porous carbon has morphology mimicking natural woods and retained their precursor shape. The cracking mechanisms of porous carbon from carbonizing process were proposed.

### 1. Introduction

Wood is naturally grown composite material of complex hierarchical cellular structure, and comprised of elongated tubular cells aligned with axis of the tree trunk and growth ring structures. The tubular cell of wood uses various infiltration techniques to transform internal structure. Materials synthesis form biological structures belong to the group of good properties such as good stiffness, excellent strength and high energy absorption under impact. The properties strongly depend on loading direction with respect to the cell orientation. (e.g. axial, radial and tangential). Wood had been used to prepare advanced ceramic materials such as wood ceramics, porous carbide, metal ceramic composite and biomorphic ( $\text{SiC}$ ,  $\text{TiC}$ ,  $\text{ZrC}$ ). [1-8]

The plant can be treated under controlled atmosphere and temperature to yield a porous monolithic carbon. The porous carbon from wood may be used in applications where synthetic carbon foams are currently being employed such as high temperature filters, corrosion resistant structural materials or catalyst supports. Additional, the porous carbon may be impregnated with a polymer to form a carbon-polymer composite. A high char yielding polymer may be used with a second carbonization step to yield a carbon-carbon composite. Infiltration and reaction with molten metals can produce a near net shape carbide ceramic or metal matrix composite. [9]

The most common for preparing porous carbon from wood is using controlled conditions of thermal processing. Mechanisms involved in conversion cellulose to carbon are: (a) desorption of adsorbed water up to  $150^{\circ}\text{C}$ , (b) splitting of cellulose structure water between  $150$  and  $240^{\circ}\text{C}$ , (c) chain scissions, or depolymerization, and breaking of  $\text{C}=\text{O}$  and  $\text{C}=\text{C}$  bonds within ring units evolving water,  $\text{CO}$  and  $\text{CO}_2$  between  $240$  and  $400^{\circ}\text{C}$  and (d) aromatization forming graphitic layers above  $400^{\circ}\text{C}$ . It occurs in a step-wise manner with hemi-cellulose breaking down first at  $200$ - $260^{\circ}\text{C}$ , cellulose next at

$240$ - $350^{\circ}\text{C}$  and lignin at  $280$ - $500^{\circ}\text{C}$ . In general, slower heating rate result in excellent charcoal. [10]

In this present study, the attempt were made to demonstrate the fabrication of porous carbon from para-rubber wood, sadao-chang wood and investigate the carbonization of charcoal in argon atmosphere.

### 2. Experimental

Para-rubber wood and sadao-chang wood were selected as precursors. Specimens of  $25\text{ mm.} \times 25\text{ mm.} \times 25\text{ mm.}$  were dried ( $70^{\circ}\text{C}$ , 24 hr.) and pyrolyzed in flowing argon gas (3 LPM) in tube furnace. A slow heating rate of 1, 3 and  $5^{\circ}\text{C min}^{-1}$  were applied up to  $500^{\circ}\text{C}$  where the polyaromatic hydrocarbon polymers (cellulose, hemicellulose, lignin) have been completely decomposed to carbon followed by a higher rate of 3, 5 and  $10^{\circ}\text{C min}^{-1}$  up to the peak temperature of  $800$ - $900^{\circ}\text{C}$  and holding for 1 hr.

Dimensions in 3D were measured before and after carbonization to obtain shrinkage data and bulk density with micrometer. Thermal analysis was performed on PerkinElmer, TGA7) furnace rate of  $10^{\circ}\text{C min}^{-1}$  and  $\text{N}_2$  atmosphere. Photograph of carbonized was perform Scanning electron microscopy (JSM-5800LV, JEOL).

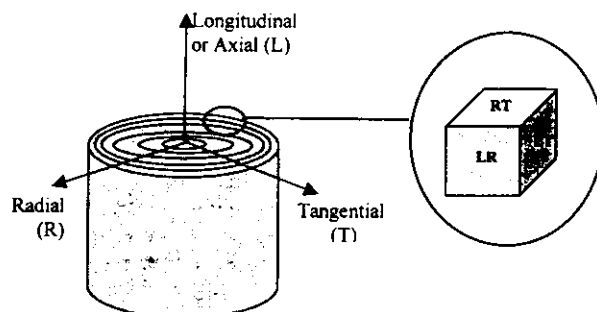


Figure 1: Principle directions used for describing physical and mechanical of wood.

### 3. Results and Discussion

Wood can be converted by controlled thermal decomposition in to porous carbon that retains the anatomical featured of wood. In order to study the decomposition behavior of wood were heating in thermal analyzer in  $\text{N}_2$  atmosphere. Figure 2 shows the TGA curves of para-rubber wood and sadao-chang wood. Respectively, regions correspond to 1) adsorptions of adsorbed water; 2) polymer decomposition begins with hemi-cellulose component; 3) hemi-cellulose has decomposed, cellulose and lignin begin to

decomposed; 4) fastest rate of decomposition owing to the amount of cellulose and lignin and 5) lignin continues to decompose above 400 °C. [10]

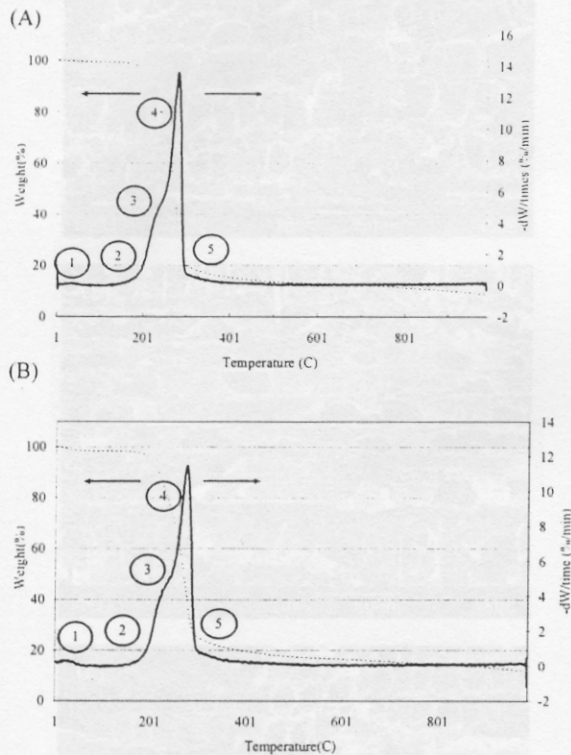


Figure 2: Thermogravimetric analysis (TGA) of hardwood (A) Para-rubber wood, (B) Sadao chang wood.

Moisture content within wood precursors were measured by periodically weighted the samples at 70°C in furnace. Figure 3 shows the weight loss percentage curves of dried wood. Weight loss of the both woods quickly decrease at the first 10 hr. of drying and slowly decrease after longer drying duration. They approach weight constant at about 18 hr. of drying. These mean that only little of moisture content still left in the dried woods. The results of step 1 shown in figure 2, match well with this suggest. Thus, drying duration of wood precursors at 70°C would economically be at 18 hr.

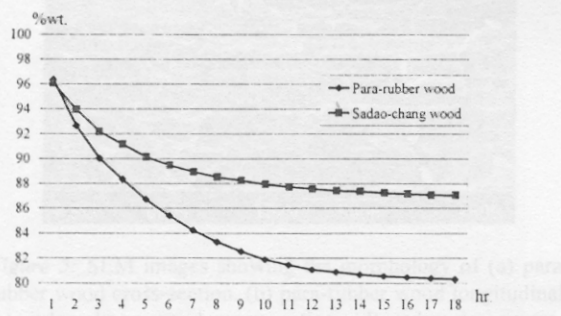


Figure 3: Weight loss percentage of dried wood at 70°C between 1-18 hour.

Shrinkage data can be measured before and after carbonization with micrometer. Figure 4 shows percent linear shrinkage of charcoal which pyrolyzed by pattern number 6 of Table 2. The results of both woods were shown a similar trend of with highest in tangential direction and lowest in the axial direction.

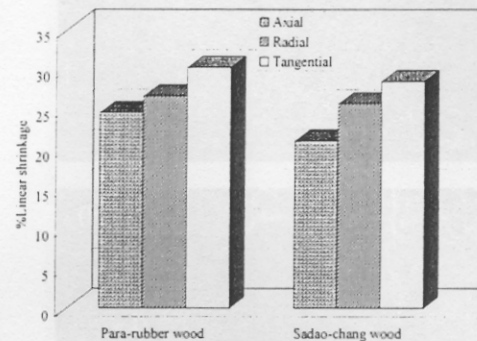


Figure 4: Percent linear shrinkage of the charcoal was heat-treated at  $10^{\circ}\text{C min}^{-1}$  from room temperature to  $70^{\circ}\text{C}$ ,  $3^{\circ}\text{C min}^{-1}$  applied up to  $500^{\circ}\text{C}$ ,  $5^{\circ}\text{C min}^{-1}$  applied up to  $800^{\circ}\text{C}$  and cooling down to room temperature with flowing argon gas

Scanning electron microscopy used to assess the integrity of the charcoal morphology feature is shown in Figure 5. The pore channels of para-rubber and sadao-chang charcoal preforms have honeycomb structures but para-rubber wood have bigger pore than sadao-chang wood. The specimens were pyrolyzed at  $800^{\circ}\text{C}$  are shown in Figure 6. Pores size and structure of porous carbon from sadao-chang wood have more uniform than that from para-rubber wood.

Para-rubber and sadao-chang woods which pyrolyzed in argon atmosphere with the heating rate of  $10^{\circ}\text{C min}^{-1}$  at  $850^{\circ}\text{C}$  and  $900^{\circ}\text{C}$  were cracked and the cracking pattern were difference in each wood-type. Cracking pattern of para-rubber wood was a separation of inter-cells that located from the edge to the middle of sample. On the contrary, the cracking pattern of sadao-chang wood was a separation of cells along the growth ring that located at the middle of the sample as shown in Figure 7. The cracking of pyrolyzed carbon may be due to shrinkage stress developed from the surface of materials decomposing faster than its interior. A lot of different pore sizes have internal residual stress more than surface.

In order to get rid of cracking problems, the series of pyrolyzed pattern with different heating rate have been performed (as shown in Table 2). All of pyrolyzed patterns develop no crack and retain their original shape except for pattern number 3 and 4 that have deformed shape. Thus, for economical reason the pyrolyzed pattern number 6 would be the best choice.

Figure 5: SEM images showing the morphology of charcoal pyrolysis at  $800^{\circ}\text{C}$ : (a) para-rubber wood; (b) sadao-chang wood.

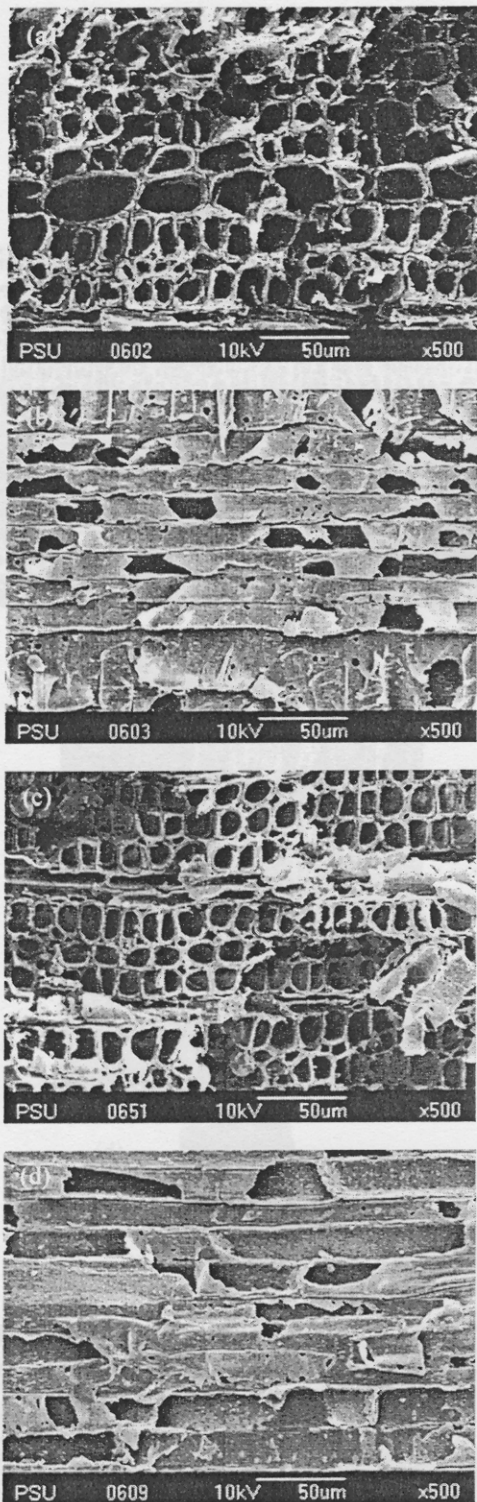


Figure 5: SEM images showing the morphology of (a) para-rubber wood cross-section. (b) para-rubber wood longitudinal. (c) sadao-chang wood cross-section. (d) sadao-chang wood longitudinal.

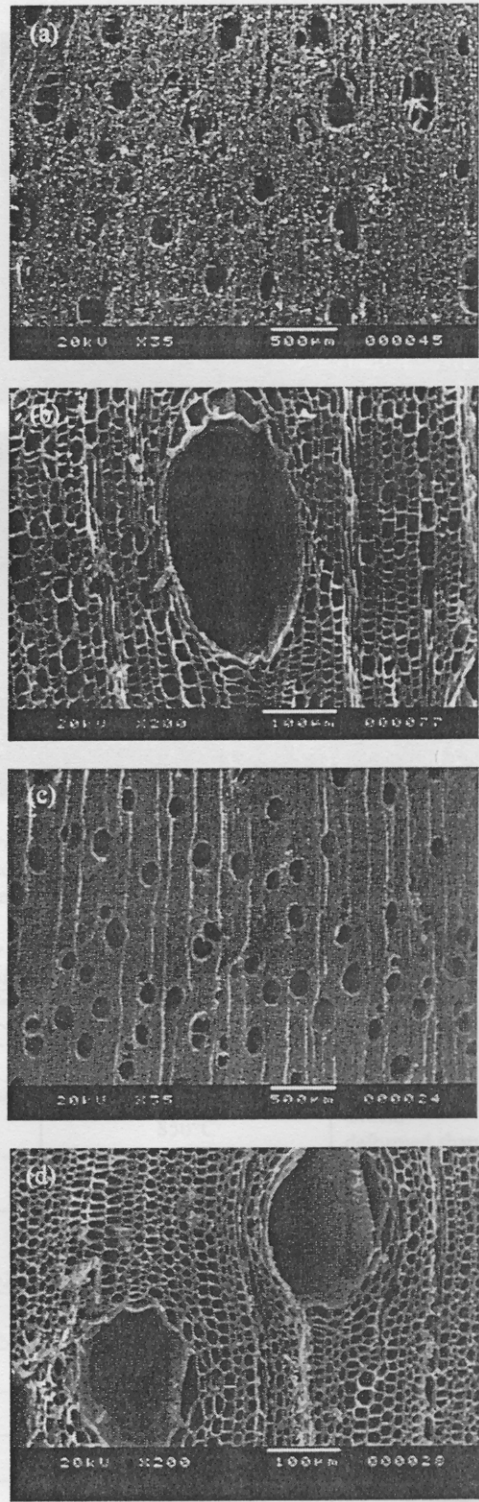


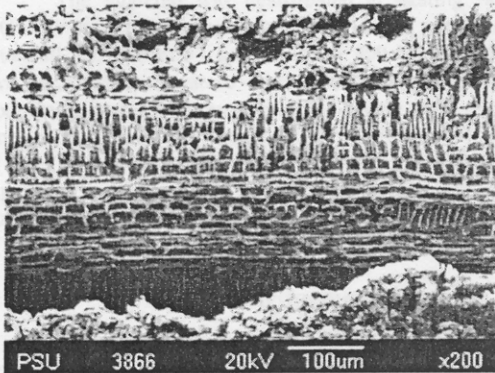
Figure 6: SEM images showing the morphology of charcoal pyrolysis at 800 °C (a), (b) para-rubber wood. (c), (d) sadao-chang wood.

#### 4. Conclusions

(a)



pyrolyzed temperature was increased to get porous carbon. The pyrolyzed temperature was used to get the final porous carbon.



(c)



(d)

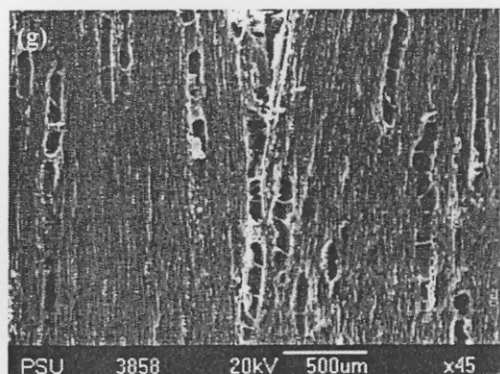
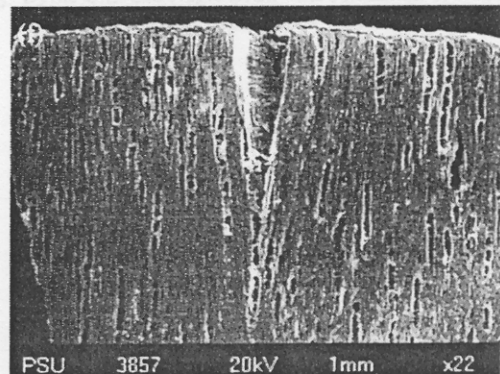
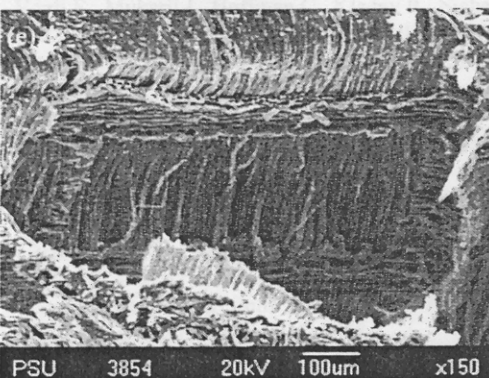


Figure 7: SEM images showing characteristic of cracking charcoal pyrolysis at 850 °C (a), (b), (c) para-rubber wood. (d), (e), (f), (g) sadao-chang wood.

Table 1: Effect of pyrolyzed temperature for pyrolyzed porous carbon at heating rate of 10 °C min<sup>-1</sup>.

Temp Pattern	Pyrolyzed Temperature	Result
1	800°C	Crack (small)
2	850°C	Crack, deformed shape
3	900°C	Crack, deformed shape

Table 2: Effect of heating rate for pyrolyzed porous carbon.

Temp Pattern	25°C-70°C	70°C-500°C	500°C-800°C	Result
1	1	1	1	a, b
2	3	3	3	a, b
3	5	5	5	a, d
4	3	3	10	a, d
5	3	5	5	a, b
6	10	3	5	a, b

a: no crack, b: retain original shape, c: crack, d: deformed shape

#### 4. Conclusions

Natural para-rubber and sadao-chang woods were pyrolyzed in argon atmosphere at 800 °C to get porous carbon. The slow heating rate was performed to get the final porous carbon with no crack. The carbonized porous carbon has morphology mimicking and retained their precursor shape.

The charcoal was heat-treated at heating rate of 10°C min<sup>-1</sup> from room temperature to 70°C, 3°C min<sup>-1</sup> applied up to 500 °C, 5°C min<sup>-1</sup> applied up to 800 °C and cooling down to room temperature with flowing argon gas. This carbonized process is an economic and giving good result of porous carbon from both woods.

Woods pyrolyzed in argon atmosphere at temperature more than 800 °C were developed cracks. The cracking patterns were difference in each wood-type.

#### 5. Acknowledgements

The authors are pleased to acknowledge the financial support for this research by The National Research Council of Thailand (NRCT) and Prince of Songkla University annual budget year 2006 (Project No. ENG 50049)

#### 6. References

- [1] Qian J., Wang J. and Jin Z., "Preparation of biomorphic SiC ceramic by carbothermal reduction of oak wood charcoal". *Mat. Sci. Eng. A*, 371, 2004, pp. 299-235.
- [2] Niyomwas S. and Karnchanalerkchai A., "Synthesis of Biomorphic TiC/C Ceramics from Natural Woods". *Proceeding symposium on materials and Processing 2006 (ASMP 2006)*, Bangkok, Nov. 9-10, 2006, pp. 6.
- [3] Niyomwas S. " Synthesis of Biomorphic TiC Fibers using Cotton as Bio-templates". *EPD Congress 2007, The 2007 annual Meeting of the Minerals, Metals and Materials society(TMS)*, Orlando, Fl, USA, Feb.25-Mar1, 2007, pp. 243-251.
- [4] Byrne C.E. and Nagle D.C., "Carbonization of wood for advanced materials applications", *Carbon*, 35(2), 1997, pp.259-266.
- [5] Rambo C.R., Rusina J.Cao,O., Sieber H., "Manufacturing of biomorphic (Si,Ti,Zr)-carbide ceramics by sol-gel processing", *Carbon* 43, 2005, pp.1174-1183.
- [6] Vogli E., Mukerji J., Hoffman C., Kladny R., Sieber H. and Greil P., "Conversation of Oak to Cellular Silicon Carbide Ceramic by Gas-Phase Reaction with Silicon Monoxide". *J. Am. Ceram. Soc*, 84(6), 2001, pp.1236-1240.
- [7] Greil P., "Biomorphic Ceramics from Lignocellulosics". *J. Euro. Ceram. Soc*. 21 , 2001, pp.105-118.
- [8] Greil P., "Biomorphic cellular silicon carbide ceramics from wood:1". *Processing and Microstructure, J. Euro. Ceram. Soc*. 18 , 1998, pp.1961-1973.
- [9] Naggle C. and Byrne E., "Carbonized wood and Materials formed therefrom", *United States Patent, Appl. No.: 09/220,868, Dec. 23, 1998.*

- [10] Byrne C.E. and Nagle D.C.. "Carbonization of wood for advanced materials applications". *Carbon*, 35(2), 1997, pp.259-266.

## Synthesis of Biomorphic SiC/C Ceramics from Natural Woods

Ruthawan Chewawutipong<sup>1</sup>, Napisorn Memongkol<sup>2</sup>, Jessada Wannasin<sup>1</sup>, Sutham Niyomwas<sup>3\*</sup>

<sup>1</sup>Department of Mining and Materials Engineering, Faculty of Engineering, Prince of Songkla University, Hat Yai, 90112,

<sup>2</sup>Department of Industrial Engineering, Faculty of Engineering, Prince of Songkla University, Hat Yai, 90112

<sup>3</sup>Department of Mechanical Engineering, Faculty of Engineering, Prince of Songkla University, Hat Yai, 90112

E-mail: suthum.n@psu.ac.th

**Abstract:** Biomorphic SiC/C ceramics were produced by vacuum-infiltrating carbon preforms with SiO<sub>2</sub> sol and subsequently synthesized by carbothermal reduction process. Carbon preforms were pyrolyzed from para-rubber wood and sadao-chang wood. The effect on holding infiltrated time of SiO<sub>2</sub> sol to the SiC/C products was analyzed. By observing the resulted products by SEM, EDX and XRD found that SiC/C was formed with retaining morphology of the original template structure.

**Keywords:** Biomorphic SiC, Carbothermal Reduction, Infiltration

### 1. INTRODUCTION

Wood is naturally grown composite material of complex hierarchical cellular structure, and comprised of elongated tubular cells aligned with axis of the tree trunk and growth ring structures. Materials synthesis form biological structures belong to the group of good properties such as good stiffness, excellent strength and high energy absorption under impact. The properties strongly depend on loading direction with respect to the cell orientation. (e.g. axial, radial and tangential). Wood had been used to prepare advanced ceramic materials such as porous carbide, metal ceramic composite (SiC/S, SiC/C and TiC/C) and biomorphic carbide (SiC,TiC, ZrC).

Silicon carbide belong to the group of high melting refractory carbides that are characterized by a high hardness and wear resistance, low thermal expansion, high thermal and electrical conductivity. Their applications include from cutting tool, grinding wheels and abrasives for components in industries. Cellular carbide offer unique properties such as good specific stiffness and strength and high energy absorption under impact and the open cell materials can be useful in applications requiring interconnected porosity (high temperature filters, catalyst carriers, heat insulation structure, etc.)

Previous work converting wood into various SiC-based ceramic materials focused on the infiltration of the pyrolysed biocarbon template with gaseous or liquid silicon bearing precursors such as silicon melt, silicon, and silicon monoxide vapors and organosilicon compounds at high temperatures, and silica sol from tetraethylorthosilicate (Si(OC<sub>2</sub>H<sub>5</sub>)<sub>4</sub>, TEOS) at low temperatures followed by pyrolysis in inert atmosphere. In terms of economy and efficiency, sol-gel method is the best choice.

Sol-gel technology has been utilized to prepare ceramic materials using reactive replica techniques, owing to low cost, simple procedure, and lower processing temperatures. Recently, some advanced SiC materials such as nanowires, nanorods, and nanometer-sized powders or whiskers, have been prepared by sol-gel methods. For example, fine SiC tubes were prepared by sintering and gasifying carbon fibres covered with a silica layer produced by a sol-gel method.

In this present study, the attempt were made to demonstrate the fabrication of biomorphic cellular structure SiC/C from infiltrated para-rubber wood and sadao-chang wood and to investigate the carbothermal reduction of carbon-silicon oxide composites into SiC/C by heat treatment in argon atmosphere.[1-10]

### 2. EXPERIMENTAL

The local woods of Southern Thailand (para-rubber wood and sadao-chang wood) were selected as raw materials. Specimens of 25 mm. x 25 mm. x 25 mm. were dried (70°C, 24 hr.) and pyrolyzed in flowing argon gas (3 LPM) in tube furnace. The charcoal was heat-treated at heating rate of 10°C min<sup>-1</sup> from room temperature to 70°C, a slow heating rate of 3°C min<sup>-1</sup> applied up to 500 °C, where the polyaromatic hydrocarbon polymers (cellulose, hemicellulose and lignin) have been completely decomposed to carbon followed by a higher rate of 5°C min<sup>-1</sup> applied up to 800°C, holding for 1 hr and cooling down to room temperature with flowing argon gas. The resulted products were porous bio-carbon preforms.

SiO<sub>2</sub>-sol was prepared from ethanol solution of TEOS, distilled water and hydrochloric acid at suitable molar ratio of TEOS: ethanol: H<sub>2</sub>O by a sol-gel process. In the present work, the molar ratio was TEOS: ethanol: H<sub>2</sub>O = 1: 1: 3.

The carbon preform was subjected to infiltration of SiO<sub>2</sub>-sol under vacuum for 30 minute for both wood-carbon and increased holding time to 45 and 60 min for those of para-rubber wood-carbon. The SiO<sub>2</sub>-sol infiltrated carbon specimens were dried in air for 48 h. After the infiltration and gel formation process, the samples were synthesized by carbothermal reduction method at 1600°C with the heating rate of 10°C/min under flowing of argon gas (3 LPM) for 1 h. The generic processing route to produce biomorphic SiC fibers is summarized in Fig. 1.

The experimental setup for vacuum-assisted infiltration was shown in the Fig. 2. The in-house fabricated vacuum chamber with vacuum pressure gauge and control valve on the lid was used in this study. The vacuum chamber connected to vacuum pump through the control valve to produce vacuum atmosphere in the chamber.

In the Fig. 3, the schematic of experimental setup for carbothermal reduction was shown. A tube furnace (Carbolite, CTF 18/75/600) with maximum working temperature of 1800°C was used in the experiments. The in-situ reaction was performed in a graphite crucible, located in a furnace tube with one end connected to Ar gas supply system and another end partially open. Before heating, the furnace tube was evacuated and flushed with pure Ar gas for 2-3 times to remove O<sub>2</sub> and moisture. Then, pure Ar gas introduced at a constant rate (3 LPM) to the furnace throughout the experimental process to maintain an inert atmosphere. An opening in the furnace end cover serves as the exit for gas. However, the gas in the environment cannot enter the system due to the small pressure difference maintained by the flowing Ar gas.

The phase composition and microstructure of the product biomorphic SiC/C ceramics were analysed by X-ray diffractometry (XRD, PHILIPS with Cu K radiation) and scanning electron microscopy (SEM, JEOL, JSM-5800 LV).

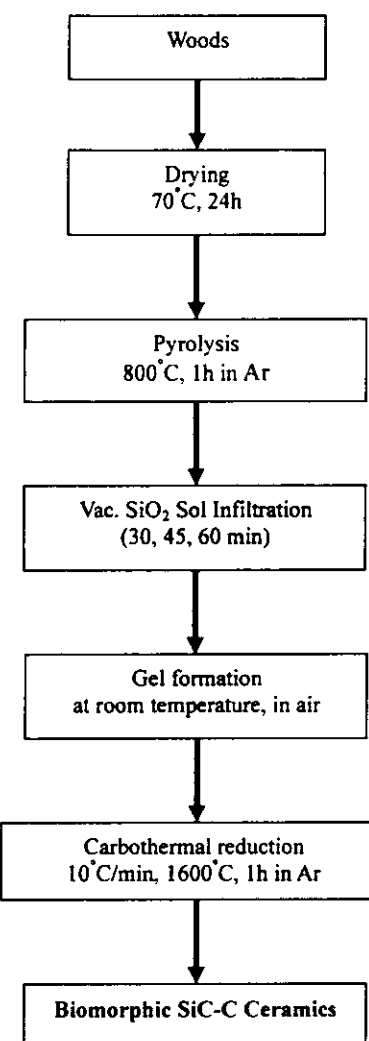


Fig. 1 Flow chart of the fabrication process.

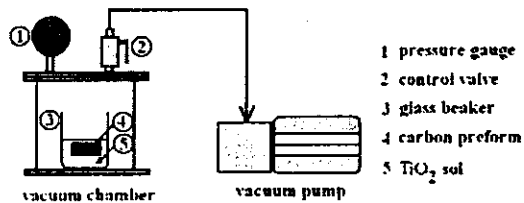


Fig. 2 The schematic of experimental setup for vacuum-assisted infiltration. [5-6]

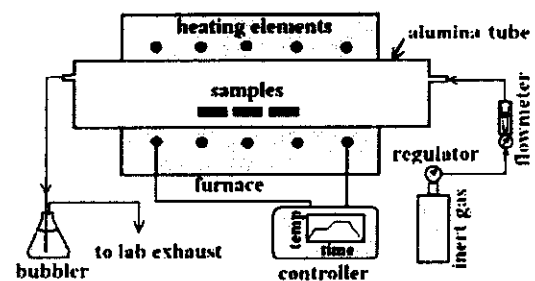


Fig. 3 The schematic of experimental setup for carbothermal reduction.

### 3. THERMODYNAMIC ANALYSIS

In this study carbon perform coated with SiO<sub>2</sub>-sol were used precursors for the carbothermal reaction. The overall chemical reaction can be express as:



Thermodynamic equilibrium calculations were performed using a computer program based on Gibbs energy minimization method to determine the most stable compositions of the materials as a function of temperature.

The equilibrium composition of SiO<sub>2</sub> - C system at different temperatures was calculated using Gibbs energy minimization method and the results are shown in Fig. 4.

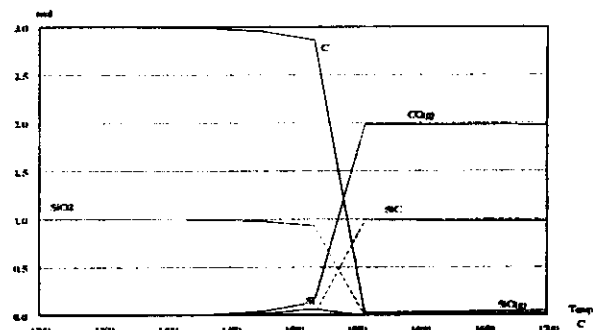


Fig. 4 Equilibrium composition of SiO<sub>2</sub>-C system in Ar-gas atmosphere.

Fig. 4 shows that it is thermodynamically feasible to fabricate SiC ceramic fiber by using carbothermal reduction process. When increases temperature to about 1530°C, SiO<sub>2</sub> is reduced by carbon and produces SiC. The reaction will continue as the temperature increases until complete reaction at about 1570°C. The phase result can be maintained as titanium carbide ceramic after cooling down process under Ar gas atmosphere.[5-6]

## 4. RESULTS AND DISCUSSION

### 4.1 XRD Analysis

The XRD patterns of SiC/C ceramics obtained under different conditions are shown in Fig. 5. Peak due to SiC phases are observed together with the broad peak of amorphous carbon, indicating that the formation of SiC has taken place and that residual free carbon still exists. The intensity of peaks due to SiC phases in the XRD patterns increases with SiO<sub>2</sub> sol infiltrating time increases. This is due to higher SiO<sub>2</sub> coated on carbon preform at higher holding infiltrating time as shown in Fig. 6.

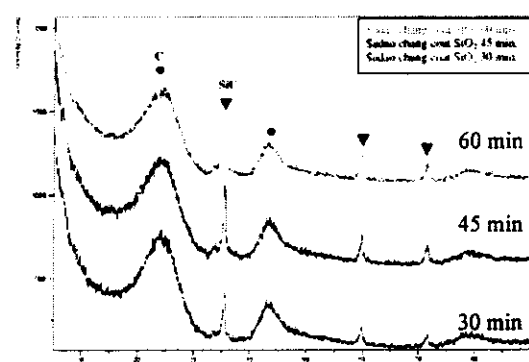


Fig. 5 XRD patterns of biomorphic SiC/C ceramics after pyrolyzed at 1600°C in Ar gas atmosphere.

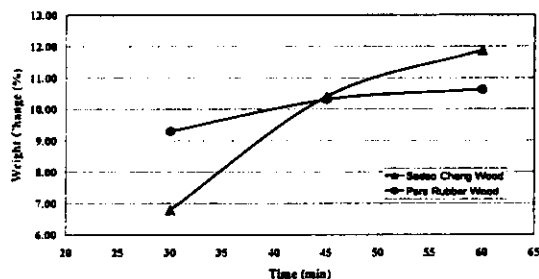


Fig. 6 Weight change of SiO<sub>2</sub> contained in charcoal, relative to the increasing infiltrating time

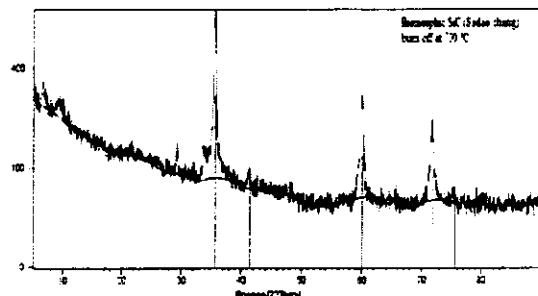


Fig. 7 XRD patterns of Biomorphic SiC burn off at 700°C

### 4.2 SEM Analysis

Fig. 8 and 9 shows the cellular microstructures of woods, carbon preforms and SiC/C from para-rubber wood and sadao-chang wood. As seen in Fig. 8 and 9 (a, b and c), the microstructure of the as-pyrolyzed carbon preforms shows hollow channels of various diameters that originate from tracheid cells that are parallel to the axis of tree. The carbon preform was subjected to infiltration of SiO<sub>2</sub>-sol under vacuum. The SiO<sub>2</sub>-sol infiltrated carbon specimens were shown in Fig. 8 (d and e).

The result biomorphic SiC are shown in Fig. 8 (f, g and h) and Fig 9 (d, e and f). It can be seen that the resulting of SiC material is of a microstructure pseudomorphous to carbon biocarbon template derive from para-rubber wood and sadao-chang wood. The local formation of SiC whisker could be observed within the SiC tube (Fig. 8 (f and g))

Fig. 10 (a and b) shows the SiC tube from biomorphic SiC/C after the residual carbon was burned off in air at 700°C. The X-ray powder diffraction pattern (Fig. 7) revealed only the SiC peaks. The SiC tube was attributed from the interface reaction of Carbon perform and coated SiO<sub>2</sub>. The higher magnification images shown in Fig. 10 (c and d) revealed micro-porous nature of SiC tube's wall. At the higher magnification.

SEM images (Fig 11 (a)) and X-ray mapping (Fig 11 (b and c)) show complex microstructure of the SiC/C composite. It is clearly seen in Figure 11 (c) that SiC shown as Si concentration located on the main tubular and also interconnected cross-tube throughout the sample.

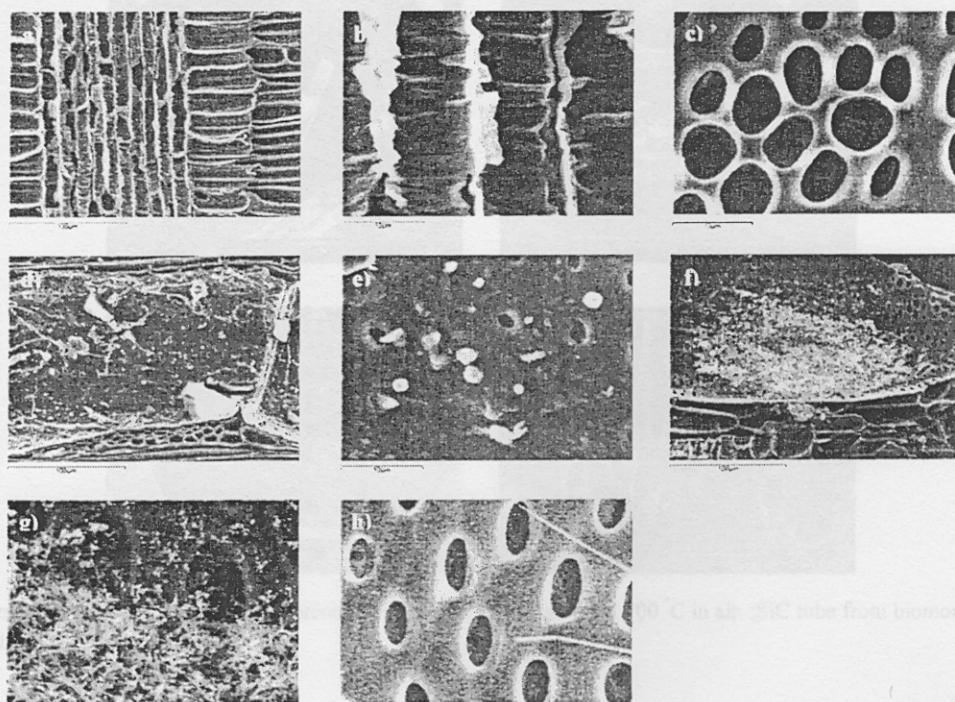


Fig. 10 SEM images of para-rubber wood-charcoal (a, b and c), infiltration  $\text{SiO}_2$ -sol to para-rubber wood-charcoal (d and e) and biomorphic SiC/C in air, SiC tube from biomorphic (f and g).

Fig. 8 SEM images of para-rubber wood- charcoal (a, b and c), infiltration  $\text{SiO}_2$ -sol to para-rubber wood-charcoal (d and e) and biomorphic SiC/C after pyrolyzed at 1600°C (f, g and h)

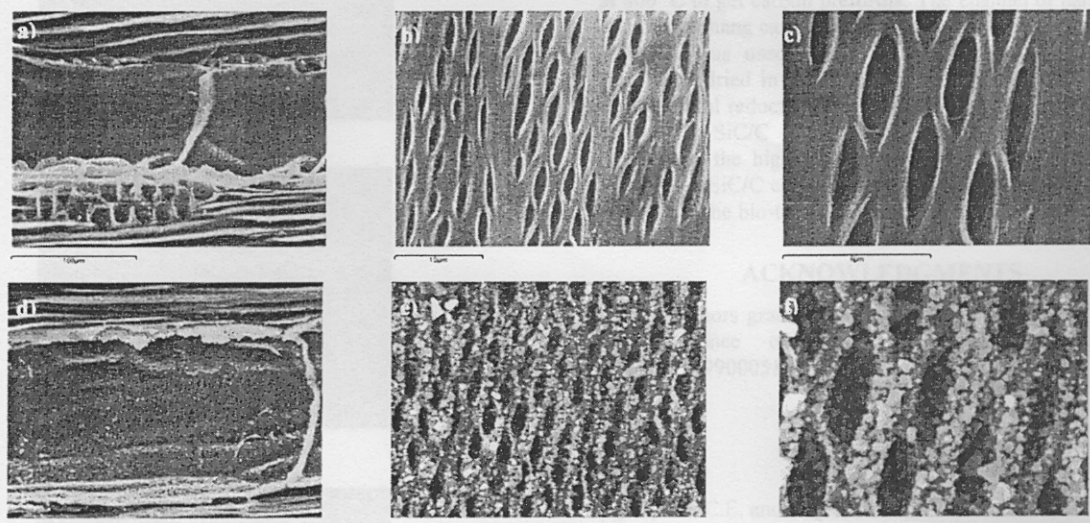


Fig. 9 SEM images of sadao-chang wood charcoal (a, b, and c), and biomorphic SiC/C after pyrolyzed at 1600°C (d, e and, f)

columns from wood: I. cross  
Journal of the European C  
1961-1973

[3] Greil, P. (2001). Biom  
Lignocellulosics, Journal of  
Society, 21, pp. 103-118

[4] Nagle, C. and Byrne, L. (19  
Materials formed therefrom

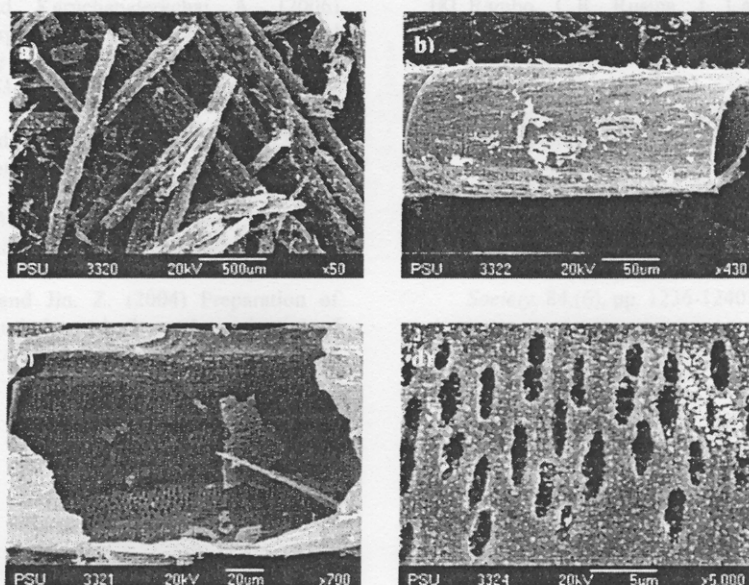


Fig. 10 SEM images of sadao-chang wood- charcoal burned off residual carbon at 700 °C in air. ;SiC tube from biomorphic (a and b), SiC tube's wall (c and d).

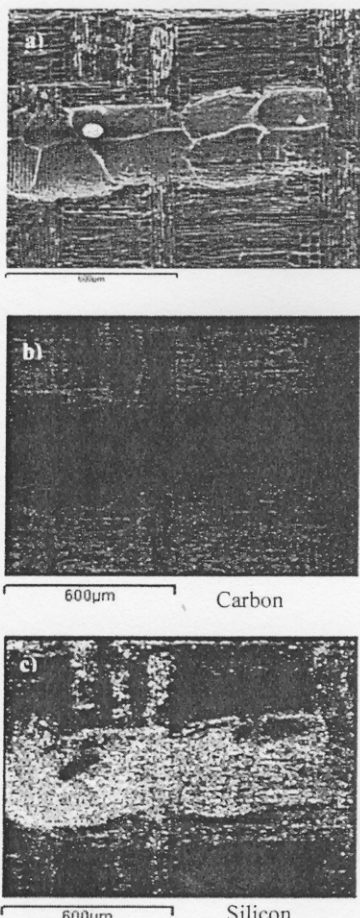


Fig. 11 SEM images and X -ray mapping of biomorphic SiC/C from para-rubber charcoal

## 5. CONCLUSION

Para-rubber wood and sadao-chang wood can be used as structural preforms for processing of biomorphic SiC/C ceramics. The woods were first pyrolyzed in Ar atmosphere at 800 °C to get carbon preforms. The channel of para-rubber and sadao-chang carbon performs have honeycomb structures. SiO<sub>2</sub>-Sol was used for infiltrating carbon performs. The specimens dried in air. The precursors were synthesized by carbothermal reduction method at 1600 °C and got the result product of SiC/C ceramics. The longer time of SiO<sub>2</sub> sol infiltrating, the higher conversion of SiC can be obtained. The results SiC/C ceramics have the biomorphic morphology mimicking the bio-template of natural woods.

## ACKNOWLEDGMENTS

The authors gratefully acknowledge the financial support from Prince of Songkla University (Grant No. ENG50109900051M).

## REFERENCES

- [1] Byrne, C.E. and Nagle, D.C. (1997) Carbonization of wood for advanced materials applications, *Carbon*, 35, (2), pp. 259-266.
- [2] Greil, P. (1998) Biomorphic cellular silicon carbide ceramics from wood: 1, Processing and Microstructure, *Journal of the European Ceramic Society*, 18, pp. 1961-1973.
- [3] Greil, P. (2001) Biomorphic Ceramics from Lignocellulosics, *Journal of the European Ceramic Society*, 21, pp. 105-118.
- [4] Nagle, C. and Byrne, E. (1998) Carbonized wood and Materials formed therefrom, *United States Patent*, Appl. No. : 09/220,868, Dec. 23.

- [5] Niyomwas. S. and Karnchanalerkchai. A. (2006) Synthesis of Biomorphic TiC/C Ceramics from Natural Woods. *Proceeding symposium on materials and Processing 2006 (ASMP 2006)*. Bangkok. Thailand. Nov. 9-10, 2006. 6.
- [6] Niyomwas. S. and Karnchanalerkchai A., (2007). Synthesis of Biomorphic TiC Fibers using Cotton as Bio-templates. *EPD Congress 2007, The 2007 annual Meeting of the Minerals, Metals and Materials society(TMS)*. Orlando. Fl. USA, Feb.25-Mar1, 2007, pp.243-251.
- [7] Qian. J. Wang, J. and Jin. Z. (2004) Preparation of biomorphic SiC ceramic by carbothermal reduction of oak wood charcoal. *Materials Science and Engineering A*, 371, pp. 299-235.
- [8] Rambo. C.R. Rusina. J. Cao, O. Sieber. H. (2005) Manufacturing of biomorphic (Si,Ti,Zr)-carbide ceramics by sol-gel processing. *Carbon*, 43, pp.1174-1180.
- [9] Toshitaka O., Minoru T., Toshiyuki H., Masakuni O., Suguru S. and Yasuo Hikichi (1995) Biomimetic Process for Producing SiC "wood". *Journal of the American Ceramic Society*, 78, (12), pp 3409-3411.
- [10]Vogli E., Mukerji J., Hoffman C., Kladny R., Sieber H. and Greil P., Y.2001. Conversation of Oak to Cellular Silicon Carbide Ceramic by Gas-Phase Reaction with Silicon Monoxide, *Journal of the American Ceramic Society*, 84,(6), pp. 1236-1240.